



HILTI HVU2 ADHESIVE CAPSULE

ETA-16/0515 (13.11.2019)



| | |
|-----------------|--------|
| <u>English</u> | 2-28 |
| <u>Deutsch</u> | 30-56 |
| <u>Français</u> | 58-84 |
| <u>Polski</u> | 86-114 |

Approval body for construction products
and types of construction

Bautechnisches Prüfamt

An institution established by the Federal and
Laender Governments



European Technical Assessment

ETA-16/0515
of 13 November 2019

English translation prepared by DIBt - Original version in German language

General Part

Technical Assessment Body issuing the
European Technical Assessment:

Deutsches Institut für Bautechnik

Trade name of the construction product

HVU2

Product family
to which the construction product belongs

Bonded Fastener for use in concrete

Manufacturer

Hilti AG Liechtenstein
Feldkircherstraße 100
9494 Schaan
FÜRSTENTUM LIECHTENSTEIN

Manufacturing plant

Hilti Corporation

This European Technical Assessment
contains

27 pages including 3 annexes which form an integral part
of this assessment

This European Technical Assessment is
issued in accordance with Regulation (EU)
No 305/2011, on the basis of

EAD 330499-01-0601

This version replaces

ETA-16/0515 issued on 17 June 2019

The European Technical Assessment is issued by the Technical Assessment Body in its official language. Translations of this European Technical Assessment in other languages shall fully correspond to the original issued document and shall be identified as such.

Communication of this European Technical Assessment, including transmission by electronic means, shall be in full. However, partial reproduction may only be made with the written consent of the issuing Technical Assessment Body. Any partial reproduction shall be identified as such.

This European Technical Assessment may be withdrawn by the issuing Technical Assessment Body, in particular pursuant to information by the Commission in accordance with Article 25(3) of Regulation (EU) No 305/2011.

Specific Part

1 Technical description of the product

The HVU2 is a bonded anchor consisting of a mortar capsule Hilti HVU2 and a steel element. The steel element consist of

- an anchor rod Hilti HAS-U or Hilti HAS-(E) with washer and hexagon nut of sizes M8 to M30 or
- an internally threaded sleeve HIS-(R)N of sizes M8 to M20.

The mortar capsule is placed in the hole and the steel element is driven by machine as specified in Annex B9.

The anchor rod is anchored via the bond between steel element, chemical mortar and concrete. The product description is given in Annex A.

2 Specification of the intended use in accordance with the applicable European Assessment Document

The performances given in Section 3 are only valid if the anchor is used in compliance with the specifications and conditions given in Annex B.

The verifications and assessment methods on which this European Technical Assessment is based lead to the assumption of a working life of the anchor of at least 50 years. The indications given on the working life cannot be interpreted as a guarantee given by the producer, but are to be regarded only as a means for choosing the right products in relation to the expected economically reasonable working life of the works.

3 Performance of the product and references to the methods used for its assessment

3.1 Mechanical resistance and stability (BWR 1)

| Essential characteristic | Performance |
|--|-----------------------|
| Characteristic resistance for static and quasi-static tension load | See Annex C1 to C5 |
| Characteristic resistance for static and quasi-static shear load | See Annex C6 to C8 |
| Displacements for static and quasi-static loads | See Annex C9 |
| Characteristic resistance and displacements for seismic performance categories C1 and C2 | See Annex C10 and C11 |
| Durability | See Annex B2 |

3.2 Hygiene, health and the environment (BWR 3)

| Essential characteristic | Performance |
|--|-------------------------|
| Content, emission and/or release of dangerous substances | No performance assessed |

English translation prepared by DIBt

4 Assessment and verification of constancy of performance (AVCP) system applied, with reference to its legal base

In accordance with EAD 330499-01-0601 the applicable European legal act is: [96/582/EC].

The system to be applied is: 1

5 Technical details necessary for the implementation of the AVCP system, as provided for in the applicable European Assessment Document

Technical details necessary for the implementation of the AVCP system are laid down in the control plan deposited at Deutsches Institut für Bautechnik.

Issued in Berlin on 13 November 2019 by Deutsches Institut für Bautechnik

BD Dipl.-Ing. Andreas Kummerow
Head of Department

beglaubigt:
G. Lange

Installed condition

Figure A1:
HAS-U... and HAS-(E)...

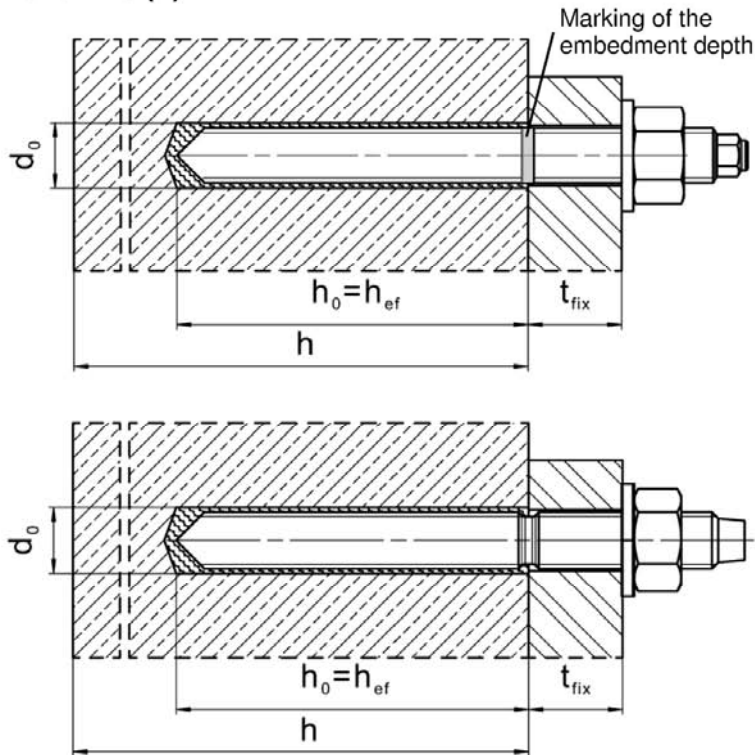
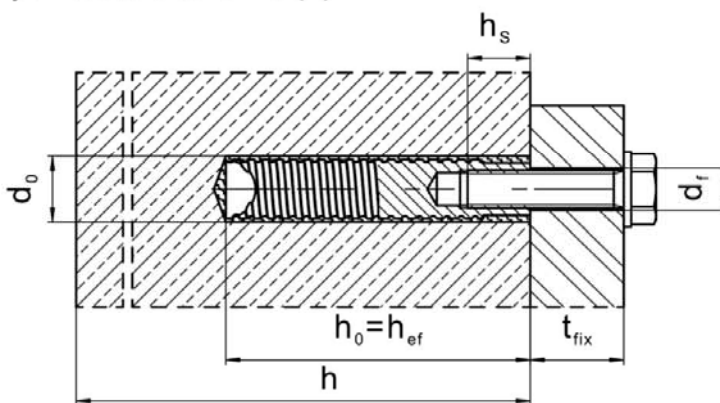


Figure A2:
Internally threaded sleeve HIS-(R)N



HVU2

Product description
Installed condition

Annex A1

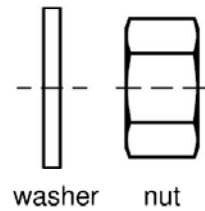
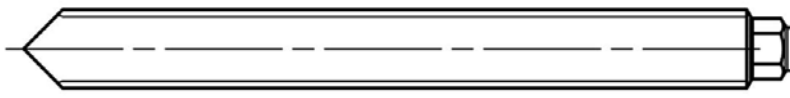
Product description: Mortar capsule and steel elements

Adhesive anchor capsule HVU2 M8 to M30: resin and hardener with aggregate

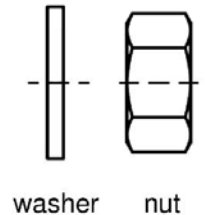
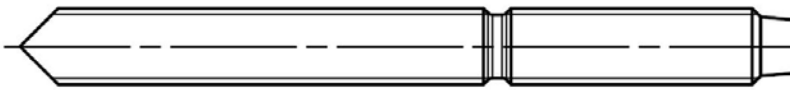
Marking:
HVU2 M ...
Expiry date mm/yyyy



Steel elements



HAS-U...: M8 to M30



HAS-(E)...: M8 to M30



Internally threaded sleeve HIS-(R)N: M8 to M20

Dimensions according to Annex B4.

HVU2

Product description
Adhesive anchor capsule / Steel elements

Annex A2

Table A1: Materials

| Designation | Material |
|--|---|
| Metal parts made of zinc coated steel | |
| HAS-(E)-(F) | M8 to M16: Strength class 5.8, $f_{uk} = 570 \text{ N/mm}^2$, $f_{yk} = 456 \text{ N/mm}^2$. M20 and M24: Strength class 5.8, $f_{uk} = 500 \text{ N/mm}^2$, $f_{yk} = 400 \text{ N/mm}^2$. Elongation at fracture ($l_0=5d$) > 8% ductile. M8 to M30: Strength class 8.8, $f_{uk} = 800 \text{ N/mm}^2$, $f_{yk} = 640 \text{ N/mm}^2$. Elongation at fracture ($l_0=5d$) > 12% ductile . Electroplated zinc coated $\geq 5 \mu\text{m}$, (F) hot dip galvanized $\geq 45 \mu\text{m}$. |
| HAS-U (HDG) | M8 to M24: Strength class 5.8, $f_{uk} = 500 \text{ N/mm}^2$, $f_{yk} = 400 \text{ N/mm}^2$. Elongation at fracture ($l_0=5d$) > 8% ductile. M8 to M30: Strength class 8.8, $f_{uk} = 800 \text{ N/mm}^2$, $f_{yk} = 640 \text{ N/mm}^2$. Elongation at fracture ($l_0=5d$) > 12% ductile. Electroplated zinc coated $\geq 5 \mu\text{m}$, (HDG) hot dip galvanized $\geq 45 \mu\text{m}$. |
| Internally threaded sleeve HIS-N | Electroplated zinc coated $\geq 5 \mu\text{m}$. |
| Washer | Electroplated zinc coated $\geq 5 \mu\text{m}$, hot dip galvanized $\geq 45 \mu\text{m}$. |
| Nut | Strength class of nut adapted to strength class of threaded rod. Electroplated zinc coated $\geq 5 \mu\text{m}$, hot dip galvanized $\geq 45 \mu\text{m}$. |
| Metal parts made of stainless steel corrosion resistance classes III according EN 1993-1-4:2006+A1:2015-06 | |
| HAS-(E)-R | M8 to M16: Strength class 70, $f_{uk} = 700 \text{ N/mm}^2$, $f_{yk} = 500 \text{ N/mm}^2$. M20 and M24: Strength class 70, $f_{uk} = 700 \text{ N/mm}^2$, $f_{yk} = 450 \text{ N/mm}^2$. M27 and M30: Strength class 50, $f_{uk} = 500 \text{ N/mm}^2$, $f_{yk} = 210 \text{ N/mm}^2$. Elongation at fracture ($l_0=5d$) > 8% ductile. |
| HAS-U A4 | M8 to M24: Strength class 70, $f_{uk} = 700 \text{ N/mm}^2$, $f_{yk} = 450 \text{ N/mm}^2$. M27 and M30: Strength class 50, $f_{uk} = 500 \text{ N/mm}^2$, $f_{yk} = 210 \text{ N/mm}^2$. Elongation at fracture ($l_0=5d$) > 8% ductile. |
| Internally threaded sleeve HIS-RN | Stainless steel 1.4401, 1.4571 EN 10088-1:2014. |
| Washer | Stainless steel 1.4401, 1.4404, 1.4578, 1.4571, 1.4439, 1.4362 EN 10088-1:2014 |
| Nut | M8 to M24: Strength class 70, $f_{uk} = 700 \text{ N/mm}^2$, $f_{yk} = 450 \text{ N/mm}^2$. M27 and M30: Strength class 50, $f_{uk} = 500 \text{ N/mm}^2$, $f_{yk} = 210 \text{ N/mm}^2$. Stainless steel 1.4401, 1.4404, 1.4578, 1.4571, 1.4439, 1.4362 EN 10088-1:2014 |
| Metal parts made of high corrosion resistant steel corrosion resistance classes V according EN 1993-1-4:2006+A1:2015-06 | |
| HAS-(E)-HCR HAS-U HCR | M8 to M20: $f_{uk} = 800 \text{ N/mm}^2$, $f_{yk} = 640 \text{ N/mm}^2$. M24: $f_{uk} = 700 \text{ N/mm}^2$, $f_{yk} = 400 \text{ N/mm}^2$. Elongation at fracture ($l_0=5d$) > 8% ductile. |
| Washer | High corrosion resistant steel 1.4529, 1.4565 EN 10088-1:2014 |
| Nut | M8 to M20: $f_{uk} = 800 \text{ N/mm}^2$, $f_{yk} = 640 \text{ N/mm}^2$, M24: $f_{uk} = 700 \text{ N/mm}^2$, $f_{yk} = 400 \text{ N/mm}^2$, High corrosion resistant steel 1.4529, 1.4565 EN 10088-1:2014 |

HVU2

Product description
Materials

Annex A3

Specifications of intended use

Anchorage subject to:

- Static and quasi static loading.
- Seismic performance category C1: HAS-U... and HAS-(E)... size M10 to M30.
- Seismic performance category C2: HAS-U... and HAS-(E)... size M16 and M20.

Base material:

- Compacted reinforced or unreinforced normal weight concrete without fibres according to EN 206:2013 + A1:2016.
- Strength classes C20/25 to C50/60 according to EN 206:2013 + A1:2016.
- Cracked and uncracked concrete.

Temperature in the base material:

- **At installation**
-10 °C to +40 °C
For the standard variation of temperature and rapid variation of temperature after installation.
- **In-service**
Temperature range I: -40 °C to +40 °C
(max. long term temperature +24 °C and max. short term temperature +40 °C)
Temperature range II: -40 °C to +80 °C
(max. long term temperature +50 °C and max. short term temperature +80 °C)
Temperature range III: -40 °C to +120 °C
(max. long term temperature +72 °C and max. short term temperature +120 °C)

Table B1: Specifications of intended use

| Elements | Foil capsule HVU2 with ... | |
|---|---|---|
| | HAS-U..., HAS-(E)...  | HIS-(R)N  |
| Hammer drilling with hollow drill bit TE-CD or TE-YD  | M10 to M30 | M8 to M20 |
| Hammer drilling  | M8 to M30 | M8 to M20 |
| Diamond coring  | M10 to M30 | M8 to M20 |

HVU2

Intended Use
Specifications

Annex B1

Use conditions (Environmental conditions):

- Structures subject to dry internal conditions (all materials).
- For all other conditions according to EN 1993-1-4:2006+A1:2015-06 corresponding to corrosion resistance classes Table A1 Annex A4 (stainless steels).

Design:

- Anchorages are designed under the responsibility of an engineer experienced in anchorages and concrete work.
- Verifiable calculation notes and drawings are prepared taking account of the loads to be anchored. The position of the anchor is indicated on the design drawings (e. g. position of the anchor relative to reinforcement or to supports, etc.).
- The anchorages are designed in accordance with:
EN 1992-4:2018 and EOTA Technical Report TR 055.

Installation:

- Use category: dry or wet concrete (not in flooded holes) for all drilling techniques.
- Drilling technique:
 - Hammer drilling
 - Hammer drilling with hollow drill bit TE-CD, TE-YD
 - Diamond coring (e.g. Hilti DD 30-W or other Hilti DD machines).
- Installation direction:
D2: downward and horizontal installation for HVU2 M8 to M30.
D3: downward and horizontal and upward (e.g. overhead) installation for HVU2 M8 to M24.
- Anchor installation carried out by appropriately qualified personnel and under the supervision of the person responsible for technical matters of the site.

| | |
|------------------------------------|-----------------|
| HVU2 | Annex B2 |
| Intended Use Specifications | |

Table B2: Installation parameters of HAS-U... and HAS-(E)...

| HAS-U... and HAS-(E)... | | M8 | M10 | M12 | M16 | M20 | M24 | M27 | M30 |
|---|--------------------------|------|--------|--------|--------|--------|--------|--------|--------|
| Foil capsule HVU2 M... | h_{ef1} [mm] | 8x80 | 10x90 | 12x110 | 16x125 | 20x170 | 24x210 | 27x240 | 30x270 |
| | h_{ef2} [mm] | - | 10x135 | 12x165 | 16x190 | - | - | - | - |
| Diameter of fastener | $d = d_{nom}$ [mm] | 8 | 10 | 12 | 16 | 20 | 24 | 27 | 30 |
| Nominal diameter of drill bit | d_0 [mm] | 10 | 12 | 14 | 18 | 22 | 28 | 30 | 35 |
| Effective embedment depth and drill hole depth | $h_{ef1} = h_{0,1}$ [mm] | 80 | 90 | 110 | 125 | 170 | 210 | 240 | 270 |
| | $h_{ef2} = h_{0,2}$ [mm] | - | 135 | 165 | 190 | - | - | - | - |
| Maximum diameter of clearance hole in the fixture | d_f [mm] | 9 | 12 | 14 | 18 | 22 | 26 | 30 | 33 |
| Minimum thickness of concrete member | h_{min1} [mm] | 110 | 120 | 140 | 160 | 220 | 270 | 300 | 340 |
| | h_{min2} [mm] | - | 165 | 195 | 230 | - | - | - | - |
| Maximum torque moment | T_{max} [Nm] | 10 | 20 | 40 | 80 | 150 | 200 | 270 | 300 |
| Minimum spacing | s_{min} [mm] | 40 | 50 | 60 | 75 | 90 | 115 | 120 | 140 |
| Minimum edge distance | c_{min} [mm] | 40 | 45 | 45 | 50 | 55 | 60 | 75 | 80 |

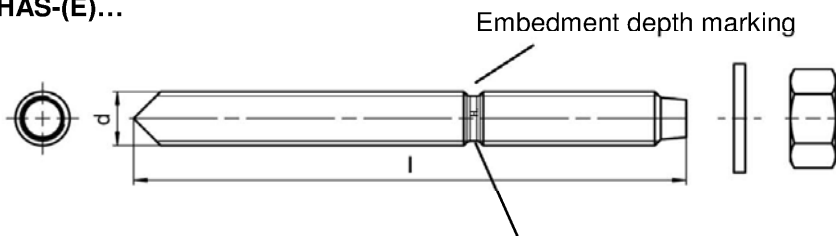
HAS-U...



Marking:

Steel grade number and length identification letter: e.g. 8L

HAS-(E)...



Marking:

identifying mark - H, embossing "1" HAS-(E)
 identifying mark - H, embossing "=" HAS-(E)R
 identifying mark - H, embossing "CR" HAS-(E)HCR

HVU2

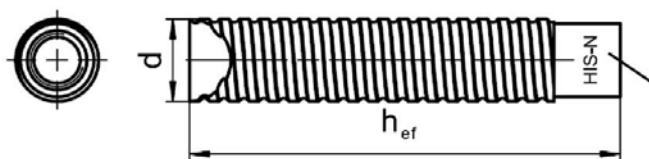
Intended Use
Installation parameters

Annex B3

Table B3: Installation parameters of internally threaded sleeve HIS-(R)N

| Internally threaded sleeve HIS-(R)N | | | M8 | M10 | M12 | M16 | M20 |
|---|----------------|------|-------|--------|--------|--------|--------|
| Foil capsule HVU2 M... | | | 10x90 | 12x110 | 16x125 | 20x170 | 24x210 |
| Outer diameter of sleeve | $d = d_{nom}$ | [mm] | 12,5 | 16,5 | 20,5 | 25,4 | 27,8 |
| Nominal diameter of drill bit | d_0 | [mm] | 14 | 18 | 22 | 28 | 32 |
| Effective embedment depth and drill hole depth | $h_{ef} = h_0$ | [mm] | 90 | 110 | 125 | 170 | 205 |
| Maximum diameter of clearance hole in the fixture | d_f | [mm] | 9 | 12 | 14 | 18 | 22 |
| Minimum thickness of concrete member | h_{min} | [mm] | 120 | 150 | 170 | 230 | 270 |
| Maximum torque moment | T_{max} | [Nm] | 10 | 20 | 40 | 80 | 150 |
| Thread engagement length min-max | h_s | [mm] | 8-20 | 10-25 | 12-30 | 16-40 | 20-50 |
| Minimum spacing | s_{min} | [mm] | 60 | 75 | 90 | 115 | 130 |
| Minimum edge distance | c_{min} | [mm] | 40 | 45 | 55 | 65 | 90 |

Internally threaded sleeve HIS-(R)N...



Marking:
Identifying mark - HILTI and
embossing "HIS-N" (for zinc coated steel)
embossing "HIS-RN" (for stainless steel)

Table B4: Minimum curing time

| Temperature in the base material T | Minimum curing time t_{cure} |
|------------------------------------|--------------------------------|
| -10 °C to -6 °C | 5 hours |
| -5 °C to -1 °C | 3 hours |
| 0 °C to 4 °C | 40 min |
| 5 °C to 9 °C | 20 min |
| 10 °C to 19 °C | 10 min |
| 20 °C to 40 °C | 5 min |

HVU2

Intended Use
Installation parameters
Minimum curing time

Annex B4

Table B5: Parameters of drilling and cleaning tools

| Elements | | Drill and clean | | | |
|---|---|---|---|---|---|
| HAS-U... HAS-(E)... | HIS-(R)N | Hammer drilling | | Diamond coring | Brush |
| | | | Hollow drill bit TE-CD, TE-YD | | |
|  |  |  |  |  |  |
| Size | Name | d ₀ [mm] | d ₀ [mm] | d ₀ [mm] | HIT-RB |
| M8 | - | 10 | - | - | - |
| M10 | - | 12 | 12 | 12 | 12 |
| M12 | M8 | 14 | 14 | 14 | 14 |
| M16 | M10 | 18 | 18 | 18 | 18 |
| M20 | M12 | 22 | 22 | 22 | 22 |
| M24 | M16 | 28 | 28 | 28 | 28 |
| M27 | - | 30 | - | 30 | 30 |
| - | M20 | 32 | 32 | 32 | 32 |
| M30 | - | 35 | 35 | 35 | 35 |

Cleaning alternatives

Manual Cleaning (MC):

Hilti hand pump for blowing out drill holes with diameters $d_0 \leq 18$ mm and drill hole depths $h_0 \leq 10$ d.



Compressed Air Cleaning (CAC):

Air nozzle with an orifice opening of minimum 3,5 mm in diameter.



Automatic Cleaning (AC):

Cleaning is performed during drilling with Hilti TE-CD and TE-YD drilling system including vacuum cleaner.



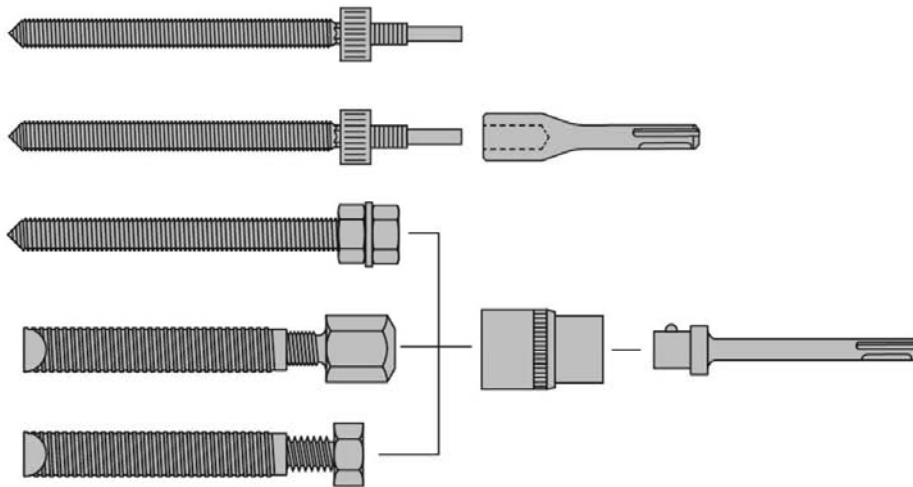
HVU2

Intended Use
Cleaning tools

Annex B5

Table B6: Parameters of setting tools HAS-U..., HAS-(E)... and HIS-(R)N

| HAS | HIS-N | HVU2 | TE(A) | SID 4-A22 | SIW 22T-A | SF(H) | RPM |
|---|---|---|---|---|--|---|-------------|
|  |  |  |  |  |  |  | |
| M8 | - | M8x80 | 1...7 | + | + | 2, 6, 8, 10, 14, 22 | 450... 1300 |
| M10 | M8 | M10x90 | 1...7 | + | + | 6, 8, 10, 14, 22 | 450... 1300 |
| M10 | - | M10x135 | 1...40 | - | - | 6, 8, 10, 14, 22 | 450... 1300 |
| M12 | M10 | M12x110 | 1...40 | + | + | 6, 8, 10, 14, 22 | 450... 1300 |
| M12 | - | M12x165 | 1...40 | - | - | 6, 8, 10, 14, 22 | 450... 1300 |
| M16 | M12 | M16x125 | 1...40 | + | - | 6, 8, 10, 14, 22 | 450... 1300 |
| M16 | - | M16x190 | 50...80 | - | - | - | - |
| M20 | - | M20x170 | 50...60 | - | - | - | - |
| - | M16 | M20x170 | 40...80 | - | - | - | - |
| M24 | - | M24x210 | 50...80 | - | - | - | - |
| - | M20 | M24x210 | 40...80 | - | - | - | - |
| M27 | - | M27x240 | 60...80 | - | - | - | - |
| M30 | - | M30x270 | 60...80 | - | - | - | - |



| Setting tool | | Article number | TE (A) 1...40 | TE 50...80 | SF (H) | SID 4-A22 | HIS-S  |
|-------------------|---|----------------|------------------|------------|--------|-----------|--|
| - |  | - | - | - | + | - | - |
| TE-C HVU2 |  | # 2181356 | + | - | - | - | - |
| TE-Y HVU2 |  | # 2230162...5 | - | + | - | - | - |
| TE-C 1/2" |  | # 32220 | + | - | - | - | + |
| TE-Y 3/4" |  | # 32221 | - | + | - | - | + |
| SI-SA 1/4" - 1/2" |  | # 2077174 | - | - | + | + | + |
| SI-SA 7/16" | | # 2134075 | - | - | + | - | + |

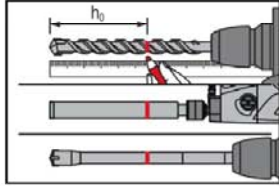
HVU2

Intended Use
Setting tools

Annex B6

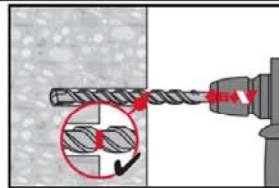
Installation instruction

Hole drilling



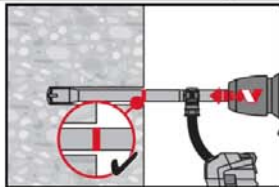
Mark required drilling depth h_0 on drill bit or core bit

a) Hammer drilling: For dry or wet concrete.



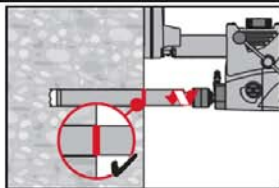
Drill hole to the required embedment depth with a hammer drill set in rotation-hammer mode using an appropriately sized carbide drill bit.

b) Hammer drilling with Hilti hollow drill bit: For dry or wet concrete.



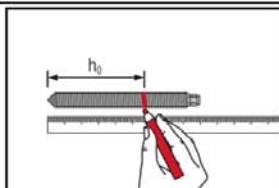
Drill hole to the required embedment depth with an appropriately sized Hilti TE-CD or TE-YD hollow drill bit attached to Hilti vacuum cleaner. This drilling system removes the dust and cleans the drill hole during drilling when used in accordance with the user's manual. After drilling is completed, proceed to the "setting the element" step in the installation instruction.

c) Diamond coring: For dry or wet concrete.

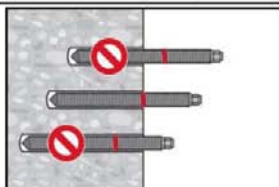


Diamond coring is permissible when suitable diamond core drilling machines and the corresponding core bits are used.

Check setting depth



Mark required setting depth on fastener (see table B2).

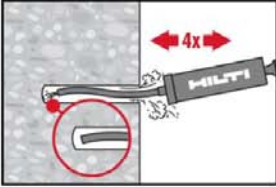
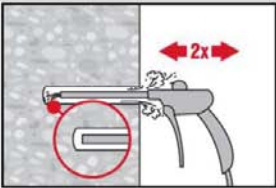
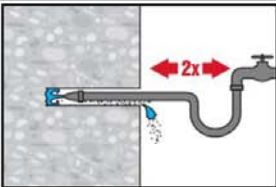
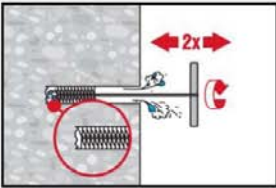
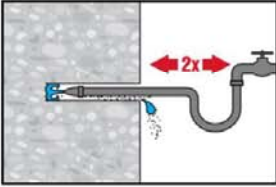
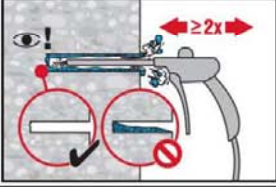
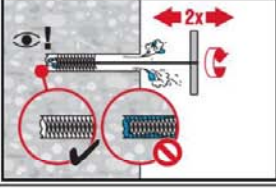


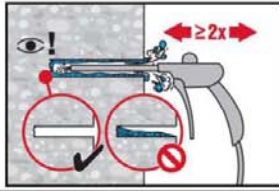
Check the setting depth with the marked element.
The element has to fit in the hole until the required embedment depth, not deeper.
If it is not possible to insert the element to the required embedment depth, drill deeper.

HVU2

Intended Use
Installation instructions

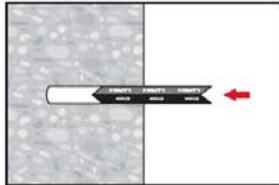
Annex B7

| | |
|---|---|
| <p>Drill hole cleaning: Just before setting an anchor, the drill hole must be free of dust and debris. Inadequate hole cleaning = poor load values.</p> | |
| <p>Manual Cleaning (MC): For drill hole diameters $d_0 \leq 18$ mm and drill hole depths $h_0 \leq 10$ d.</p> | |
|  | <p>The Hilti hand pump may be used for blowing out drill holes. Blow out at least 4 times from the back of the drill hole until return air stream is free of noticeable dust.</p> |
| <p>Compressed Air Cleaning (CAC): For all drill hole diameters d_0 and all drill hole depths h_0.</p> | |
|  | <p>Blow 2 times from the back of the hole (if needed with nozzle extension) over the whole length with oil-free compressed air (min. 6 bar at 6 m³/h) until return air stream is free of noticeable dust.</p> |
| <p>Cleaning of hammer drilled flooded holes and diamond cored holes: For all drill hole diameters d_0 and all drill hole depths h_0.</p> | |
|  | <p>Flush 2 times by inserting a water hose (water-line pressure) to the back of the hole until water runs clear.</p> |
|  | <p>Brush 2 times with the specified brush (see table B5) by inserting the steel brush Hilti HIT-RB to the back of the hole (if needed with extension) in a twisting motion and removing it. The brush must produce natural resistance as it enters the drill hole (brush $\varnothing \geq$ drill hole \varnothing) - if not, the brush is too small and must be replaced with the proper brush diameter.</p> |
|  | <p>Flush 2 times by inserting a water hose (water-line pressure) to the back of the hole until water runs clear.</p> |
|  | <p>Blow 2 times from the back of the hole (if needed with nozzle extension) over the whole length with oil-free compressed air (min. 6 bar at 6 m³/h) until return air stream is free of noticeable dust and water.</p> |
|  | <p>Brush 2 times with the specified brush (see Table B5) by inserting the steel brush Hilti HIT-RB to the back of the hole (if needed with extension) in a twisting motion and removing it. The brush must produce natural resistance as it enters the drill hole (brush $\varnothing \geq$ drill hole \varnothing) - if not, the brush is too small and must be replaced with the proper brush diameter.</p> |
| <p>HVU2</p> | <p>Annex B8</p> |
| <p>Intended Use Installation instructions</p> | |

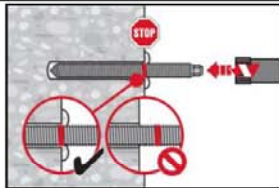


Blow again with compressed air 2 times until return air stream is free of noticeable dust and water.

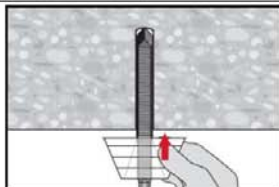
Setting the element



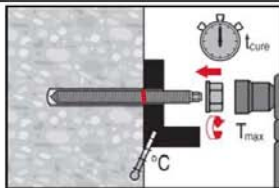
Insert the foil capsule with the peak ahead to the back of the hole.



Drive the anchor rod with the plugged tool into the hole, applying moderate pressure. Rotary hammer tool in rotation hammer mode (450 RPM to maximum 1300 RPM). Setting tool see Annexes B6. After reaching the embedment depth switch off setting machine immediately.



Overhead installation for HVU2 M8 to M24.
For overhead installation use the overhead dripping cup HIT-OHC.



Loading the anchor: After required curing time t_{cure} (see Table B4) the anchor can be loaded. The applied installation torque shall not exceed the values T_{max} given in Table B2 and B3.

HVU2

Intended Use
Installation instructions

Annex B9

Table C1: Essential characteristics for HAS-U... and HAS-(E) under tension load in concrete

| HAS-U... and HAS-(E)... | M8 | M10 | M12 | M16 | M20 | M24 | M27 | M30 | |
|---|----------------------|------|--------------------|------|------|-------|-------|-------|-------|
| Installation safety factor | | | | | | | | | |
| Hammer drilling and Hilti hollow drill bit TE-CD or TE-YD | γ_{inst} | [-] | | | | | | | 1,0 |
| Diamond coring | γ_{inst} | [-] | | | | | | | - |
| Steel failure HAS-(E)... | | | | | | | | | |
| Characteristic resistance HAS-(E) 5.8 | $N_{Rk,s}$ | [kN] | 18,9 | 30,1 | 43,4 | 82,2 | 112,2 | 160,2 | - |
| Partial factor | $\gamma_{Ms,N}^{1)}$ | [-] | | | | | | | 1,50 |
| Characteristic resistance HAS-(E) 8.8 | $N_{Rk,s}$ | [kN] | 26,5 | 42,2 | 61,0 | 115,4 | 179,5 | 256,4 | 347 |
| Partial factor | $\gamma_{Ms,N}^{1)}$ | [-] | | | | | | | 1,50 |
| Characteristic resistance HAS-R | $N_{Rk,s}$ | [kN] | 23,2 | 37,0 | 53,3 | 100,9 | 157,0 | 224,3 | 216,9 |
| Partial factor | $\gamma_{Ms,N}^{1)}$ | [-] | | | | | | | 1,68 |
| Characteristic resistance HAS-HCR | $N_{Rk,s}$ | [kN] | 26,5 | 42,2 | 61,0 | 115,4 | 179,5 | 224,3 | - |
| Partial factor | $\gamma_{Ms,N}^{1)}$ | [-] | | | | | | | 1,50 |
| Steel failure HAS-U... | | | | | | | | | |
| Characteristic resistance HAS-U... | $N_{Rk,s}$ | [kN] | $A_s \cdot f_{uk}$ | | | | | | |
| Partial factor HAS-U 5.8 | $\gamma_{Ms,N}^{1)}$ | [-] | | | | | | | 1,50 |
| Partial factor HAS-U 8.8 | $\gamma_{Ms,N}^{1)}$ | [-] | | | | | | | 1,50 |
| Partial factor HAS-U A4 | $\gamma_{Ms,N}^{1)}$ | [-] | | | | | | | 1,87 |
| Partial factor HAS-U HCR | $\gamma_{Ms,N}^{1)}$ | [-] | | | | | | | 1,50 |

HVU2

Performances
Essential characteristics under tension loads in concrete

Annex C1

Table C1: continued

| HAS-U... and HAS-(E)... | | M8 | M10 | M12 | M16 | M20 | M24 | M27 | M30 |
|---|--------------------------------------|------|------|-----|-----|-----|-----|-----|-----|
| Combined pullout and concrete cone failure | | | | | | | | | |
| Effective embedment depth | h_{ef1} [mm] | 80 | 90 | 110 | 125 | 170 | 210 | 240 | 270 |
| | h_{ef2} [mm] | - | 135 | 165 | 190 | - | - | - | - |
| Characteristic bond resistance in uncracked concrete C20/25 in hammer drilled holes | | | | | | | | | |
| Temperature range I: 24 °C / 40 °C | $\tau_{Rk,ucr}$ [N/mm ²] | 12,0 | 16,0 | | | | | | |
| Temperature range II: 50 °C / 80 °C | $\tau_{Rk,ucr}$ [N/mm ²] | 9,5 | 13,0 | | | | | | |
| Temperature range III: 72 °C / 120 °C | $\tau_{Rk,ucr}$ [N/mm ²] | 6,0 | 7,5 | | | | | | |
| Characteristic bond resistance in uncracked concrete C20/25 in hammer drilled holes with hollow drill bit TE-CD or TE-YD | | | | | | | | | |
| Temperature range I: 24 °C / 40 °C | $\tau_{Rk,ucr}$ [N/mm ²] | - | 16,0 | | | | | | |
| Temperature range II: 50 °C / 80 °C | $\tau_{Rk,ucr}$ [N/mm ²] | - | 13,0 | | | | | | |
| Temperature range III: 72 °C / 120 °C | $\tau_{Rk,ucr}$ [N/mm ²] | - | 7,5 | | | | | | |
| Characteristic bond resistance in uncracked concrete C20/25 in diamond cored holes | | | | | | | | | |
| Temperature range I: 24 °C / 40 °C | $\tau_{Rk,ucr}$ [N/mm ²] | - | 14,0 | | | | | | |
| Temperature range II: 50 °C / 80 °C | $\tau_{Rk,ucr}$ [N/mm ²] | - | 12,0 | | | | | | |
| Temperature range III: 72 °C / 120 °C | $\tau_{Rk,ucr}$ [N/mm ²] | - | 6,5 | | | | | | |
| Characteristic bond resistance in cracked concrete C20/25 in hammer drilled holes | | | | | | | | | |
| Temperature range I: 24 °C / 40 °C | $\tau_{Rk,cr}$ [N/mm ²] | 5,0 | 8,5 | | | | | | |
| Temperature range II: 50 °C / 80 °C | $\tau_{Rk,cr}$ [N/mm ²] | 4,0 | 6,5 | | | | | | |
| Temperature range III: 72 °C / 120 °C | $\tau_{Rk,cr}$ [N/mm ²] | 2,5 | 4,0 | | | | | | |
| Characteristic bond resistance in cracked concrete C20/25 in hammer drilled holes with hollow drill bit TE-CD or TE-YD | | | | | | | | | |
| Temperature range I: 24 °C / 40 °C | $\tau_{Rk,cr}$ [N/mm ²] | - | 8,5 | | | | | | |
| Temperature range II: 50 °C / 80 °C | $\tau_{Rk,cr}$ [N/mm ²] | - | 6,5 | | | | | | |
| Temperature range III: 72 °C / 120 °C | $\tau_{Rk,cr}$ [N/mm ²] | - | 4,0 | | | | | | |
| Characteristic bond resistance in cracked concrete C20/25 in diamond cored holes | | | | | | | | | |
| Temperature range I: 24 °C / 40 °C | $\tau_{Rk,cr}$ [N/mm ²] | - | 7,0 | | | | | | |
| Temperature range II: 50 °C / 80 °C | $\tau_{Rk,cr}$ [N/mm ²] | - | 6,0 | | | | | | |
| Temperature range III: 72 °C / 120 °C | $\tau_{Rk,cr}$ [N/mm ²] | - | 3,5 | | | | | | |

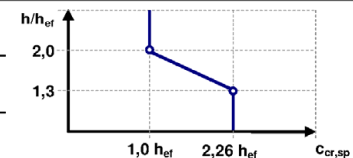
HVU2

Performances
Essential characteristics under tension loads in concrete

Annex C2

Table C1: continued

| HAS-U... and HAS-(E)... | | | M8 | M10 | M12 | M16 | M20 | M24 | M27 | M30 |
|---|--------------------------|----------------|----------------------|-----|-----|-----|-----|-----|-----|-----|
| Influence factors ψ on bond resistance τ_{Rk} | | | | | | | | | | |
| Hammer drilled holes and hammer drilled holes with hollow drill bit TE-CD or TE-YD | | | | | | | | | | |
| Uncracked concrete: Factor for concrete strength | ψ_c | C30/37 | 1,08 | | | | | | | |
| | | C40/50 | 1,15 | | | | | | | |
| | | C50/60 | 1,20 | | | | | | | |
| Cracked concrete: Factor for concrete strength | ψ_c | C30/37 | 1,04 | | | | | | | |
| | | C40/50 | 1,07 | | | | | | | |
| | | C50/60 | 1,10 | | | | | | | |
| Cracked and uncracked concrete: Sustained load factor | ψ_{sus}^0 | 24 °C / 40 °C | 1,00 | | | | | | | |
| | | 50 °C / 80 °C | 0,73 | | | | | | | |
| | | 72 °C / 120 °C | 0,73 | | | | | | | |
| Diamond cored holes | | | | | | | | | | |
| Uncracked concrete: Factor for concrete strength | ψ_c | C30/37 | 1,08 | | | | | | | |
| | | C40/50 | 1,15 | | | | | | | |
| | | C50/60 | 1,20 | | | | | | | |
| Cracked concrete: Factor for concrete strength | ψ_c | C50/60 | 1,00 | | | | | | | |
| Cracked and uncracked concrete: Sustained load factor | ψ_{sus}^0 | 24 °C / 40 °C | 0,78 | | | | | | | |
| | | 50 °C / 80 °C | 0,71 | | | | | | | |
| | | 72 °C / 120 °C | 0,78 | | | | | | | |
| Concrete cone failure | | | | | | | | | | |
| Factor for uncracked concrete | $k_{ucr,N}$ | [-] | 11,0 | | | | | | | |
| Factor for cracked concrete | $k_{cr,N}$ | [-] | 7,7 | | | | | | | |
| Edge distance | $c_{cr,N}$ | [mm] | $1,5 \cdot h_{ef}$ | | | | | | | |
| Spacing | $s_{cr,N}$ | [mm] | $3,0 \cdot h_{ef}$ | | | | | | | |
| Splitting failure | | | | | | | | | | |
| Edge distance $c_{cr,sp}$ [mm] for | $h / h_{ef} \geq 2,0$ | | $1,0 \cdot h_{ef}$ | | | | | | | |
| | $2,0 > h / h_{ef} > 1,3$ | | $4,6 h_{ef} - 1,8 h$ | | | | | | | |
| | $h / h_{ef} \leq 1,3$ | | $2,26 h_{ef}$ | | | | | | | |
| Spacing | $s_{cr,sp}$ | [mm] | $2 \cdot c_{cr,sp}$ | | | | | | | |



¹⁾ In absence of national regulations.

HVU2

Performances
Essential characteristics under tension loads in concrete

Annex C3

Table C2: Essential characteristics for internally threaded sleeve HIS-(R)N under tension load in concrete

| HIS-(R)N | | | M8 | M10 | M12 | M16 | M20 |
|--|----------------------|----------------------|------|------|------|------|------|
| Installation safety factor | | | | | | | |
| Hammer drilling and Hilti hollow drill bit TE-CD or TE-YD | γ_{inst} | [-] | 1,0 | | | | |
| Diamond coring | γ_{inst} | [-] | 1,0 | | | | |
| Steel failure | | | | | | | |
| Characteristic resistance HIS-N with screw or threaded rod grade 8.8 | $N_{Rk,s}$ | [kN] | 25 | 46 | 67 | 125 | 116 |
| Partial factor | $\gamma_{Ms,N}^{1)}$ | [-] | 1,50 | | | | |
| Characteristic resistance HIS-RN with screw or threaded rod grade 70 | $N_{Rk,s}$ | [kN] | 26 | 41 | 59 | 110 | 166 |
| Partial factor | $\gamma_{Ms,N}^{1)}$ | [-] | 1,87 | | | | |
| Combined pullout and concrete cone failure | | | | | | | |
| Effective embedment depth | h_{ef} | [mm] | 90 | 110 | 125 | 170 | 205 |
| Effective diameter of fastener | d | [mm] | 12,5 | 16,5 | 20,5 | 25,4 | 27,6 |
| Characteristic bond resistance in uncracked concrete C20/25 in hammer drilled holes and hammer drilled holes with hollow drill bit TE-CD or TE-YD | | | | | | | |
| Temperature range I: 24 °C / 40 °C | $\tau_{Rk,ucr}$ | [N/mm ²] | 11,0 | | | | |
| Temperature range II: 50 °C / 80 °C | $\tau_{Rk,ucr}$ | [N/mm ²] | 9,0 | | | | |
| Temperature range III: 72 °C / 120 °C | $\tau_{Rk,ucr}$ | [N/mm ²] | 5,5 | | | | |
| Characteristic bond resistance in uncracked concrete C20/25 in diamond cored holes | | | | | | | |
| Temperature range I: 24 °C / 40 °C | $\tau_{Rk,ucr}$ | [N/mm ²] | 11,0 | | | | |
| Temperature range II: 50 °C / 80 °C | $\tau_{Rk,ucr}$ | [N/mm ²] | 9,0 | | | | |
| Temperature range III: 72 °C / 120 °C | $\tau_{Rk,ucr}$ | [N/mm ²] | 5,5 | | | | |
| Characteristic bond resistance in cracked concrete C20/25 in hammer drilled holes and hammer drilled holes with hollow drill bit TE-CD or TE-YD | | | | | | | |
| Temperature range I: 24 °C / 40 °C | $\tau_{Rk,cr}$ | [N/mm ²] | 6,5 | | | | |
| Temperature range II: 50 °C / 80 °C | $\tau_{Rk,cr}$ | [N/mm ²] | 5,0 | | | | |
| Temperature range III: 72 °C / 120 °C | $\tau_{Rk,cr}$ | [N/mm ²] | 3,0 | | | | |
| Characteristic bond resistance in cracked concrete C20/25 in diamond cored holes | | | | | | | |
| Temperature range I: 24 °C / 40 °C | $\tau_{Rk,cr}$ | [N/mm ²] | 4,5 | | | | |
| Temperature range II: 50 °C / 80 °C | $\tau_{Rk,cr}$ | [N/mm ²] | 3,5 | | | | |
| Temperature range III: 72 °C / 120 °C | $\tau_{Rk,cr}$ | [N/mm ²] | 2,5 | | | | |

HVU2

Performances
Essential characteristics under tension loads in concrete

Annex C4

Table C2: Continued

| HIS-(R)N | | | M8 | M10 | M12 | M16 | M20 | |
|---|--------------------------|----------------|----------------------|-----|-----|-----|-----|-----------------|
| Influence factors ψ on bond resistance τ_{Rk} | | | | | | | | |
| Hammer drilled holes and hammer drilled holes with hollow drill bit TE-CD or TE-YD | | | | | | | | |
| Factor for concrete compressive strength | | | | | | | | |
| Uncracked concrete: Factor for concrete strength | ψ_c | C50/60 | | | | | | 1,00 |
| | | C30/37 | | | | | | 1,08 |
| Cracked concrete: Factor for concrete strength | ψ_c | C40/50 | | | | | | 1,15 |
| | | C50/60 | | | | | | 1,20 |
| Cracked and uncracked concrete: Sustained load factor | ψ_{sus}^0 | 24 °C / 40 °C | | | | | | 1,00 |
| | | 50 °C / 80 °C | | | | | | 0,73 |
| | | 72 °C / 120 °C | | | | | | 0,73 |
| Diamond cored holes | | | | | | | | |
| Uncracked concrete: Factor for concrete strength | ψ_c | C50/60 | | | | | | 1,00 |
| Cracked concrete: Factor for concrete strength | ψ_c | C50/60 | | | | | | 1,00 |
| Cracked and uncracked concrete: Sustained load factor | ψ_{sus}^0 | 24 °C / 40 °C | | | | | | 0,78 |
| | | 50 °C / 80 °C | | | | | | 0,71 |
| | | 72 °C / 120 °C | | | | | | 0,78 |
| Concrete cone failure | | | | | | | | |
| Factor for uncracked concrete | $k_{ucr,N}$ | [-] | | | | | | 11 |
| Factor for cracked concrete | $k_{cr,N}$ | [-] | | | | | | 7,7 |
| Edge distance | $c_{cr,N}$ | [mm] | | | | | | 1,5 · h_{ef} |
| Spacing | $s_{cr,N}$ | [mm] | | | | | | 3,0 · h_{ef} |
| Splitting failure | | | | | | | | |
| Edge distance $c_{cr,sp}$ [mm] for | $h / h_{ef} \geq 2,0$ | | 1,0 · h_{ef} | | | | | |
| | $2,0 > h / h_{ef} > 1,3$ | | 4,6 h_{ef} - 1,8 h | | | | | |
| | $h / h_{ef} \leq 1,3$ | | 2,26 h_{ef} | | | | | |
| Spacing | $s_{cr,sp}$ | [mm] | | | | | | 2 · $c_{cr,sp}$ |

¹⁾ In absence of national regulations.

HVU2

Performances
Essential characteristics under tension loads in concrete

Annex C5

Table C3: Essential characteristics for HAS-U... and HAS-(E) under shear load in concrete

| HAS-U... and HAS-(E)... | M8 | M10 | M12 | M16 | M20 | M24 | M27 | M30 |
|---|------------------------------|------|------|------|------|-------|-------|-------|
| Steel failure without lever arm | | | | | | | | |
| HAS-(E)... | | | | | | | | |
| Characteristic resistance HAS-(E) 5.8 $V_{Rk,s}$ [kN] | 9,5 | 15,1 | 21,7 | 41,1 | 56,1 | 80,1 | - | - |
| Partial factor $\gamma_{Ms,V}^{(1)}$ [-] | 1,25 | | | | | | - | - |
| Characteristic resistance HAS-(E) 8.8 $V_{Rk,s}$ [kN] | 13,3 | 21,1 | 30,5 | 57,7 | 89,7 | 128,2 | 173,5 | 210,7 |
| Partial factor $\gamma_{Ms,V}^{(1)}$ [-] | 1,25 | | | | | | - | - |
| Characteristic resistance HAS-R $V_{Rk,s}$ [kN] | 11,6 | 18,5 | 26,7 | 50,5 | 78,5 | 112,2 | 108,4 | 131,7 |
| Partial factor $\gamma_{Ms,V}^{(1)}$ [-] | 1,40 | | | 1,56 | | | 2,38 | |
| Characteristic resistance HAS-HCR $V_{Rk,s}$ [kN] | 13,3 | 21,1 | 30,5 | 57,7 | 89,7 | 112,2 | - | - |
| Partial factor $\gamma_{Ms,V}^{(1)}$ [-] | 1,25 | | | | | 1,75 | - | - |
| Ductility factor k_7 [-] | 1,0 | | | | | | | |
| HAS-U... | | | | | | | | |
| Characteristic resistance $V_{Rk,s}$ [kN] | $0,5 \cdot A_s \cdot f_{uk}$ | | | | | | | |
| Partial factor HAS-U 5.8 $\gamma_{Ms,V}^{(1)}$ [-] | 1,25 | | | | | | - | - |
| Partial factor HAS-U 8.8 $\gamma_{Ms,V}^{(1)}$ [-] | 1,25 | | | | | | | |
| Partial factor HAS-U A4 $\gamma_{Ms,V}^{(1)}$ [-] | 1,56 | | | | | | 2,38 | |
| Partial factor HAS-U HCR $\gamma_{Ms,V}^{(1)}$ [-] | 1,25 | | | | | 1,75 | - | - |
| Ductility factor k_7 [-] | 1,0 | | | | | | | |
| Steel failure with lever arm | | | | | | | | |
| HAS-(E)... | | | | | | | | |
| Characteristic resistance HAS-(E) 5.8 $M^0_{Rk,s}$ [Nm] | 18 | 37 | 64 | 167 | 284 | 486 | - | - |
| Partial factor $\gamma_{Ms,V}^{(1)}$ [-] | 1,25 | | | | | | - | - |
| Characteristic resistance HAS-(E) 8.8 $M^0_{Rk,s}$ [Nm] | 26 | 53 | 90 | 234 | 455 | 777 | 1223 | 1638 |
| Partial factor $\gamma_{Ms,V}^{(1)}$ [-] | 1,25 | | | | | | | |
| Characteristic resistance HAS-R $M^0_{Rk,s}$ [Nm] | 23 | 45 | 79 | 205 | 398 | 680 | 765 | 1023 |
| Partial factor $\gamma_{Ms,V}^{(1)}$ [-] | 1,40 | | | 1,56 | | | 2,38 | |
| Characteristic resistance HAS-HCR $M^0_{Rk,s}$ [Nm] | 26 | 52 | 90 | 234 | 455 | 680 | - | - |
| Partial factor $\gamma_{Ms,V}^{(1)}$ [-] | 1,25 | | | | | 1,75 | - | - |
| Ductility factor k_7 [-] | 1,0 | | | | | | | |

HVU2

Performances
Essential characteristics under shear loads in concrete

Annex C6

Table C3: Continued

| HAS-U... and HAS-(E)... | | | M8 | M10 | M12 | M16 | M20 | M24 | M27 | M30 |
|-------------------------------------|--------------|------|-----------------------------------|-----|-----|-----|-----|-----|-----|-----|
| Steel failure with lever arm | | | | | | | | | | |
| HAS-U... | | | | | | | | | | |
| Bending moment | $M_{Rk,s}^0$ | [Nm] | $1,2 \cdot W_{el} \cdot f_{uk}$ | | | | | | | |
| Ductility factor | k_7 | [-] | 1,0 | | | | | | | |
| Concrete pry-out failure | | | | | | | | | | |
| Pry-out factor | k_8 | [-] | 2,0 | | | | | | | |
| Concrete edge failure | | | | | | | | | | |
| Effective length of fastener | l_f | [mm] | $\min (h_{ef}; 12 \cdot d_{nom})$ | | | | | | | |
| Outside diameter of fastener | d_{nom} | [mm] | 8 | 10 | 12 | 16 | 20 | 24 | 27 | 30 |

¹⁾ In absence of national regulations.

HVU2

Performances
Essential characteristics under shear loads in concrete

Annex C7

Table C4: Essential characteristics for internally threaded sleeve HIS-(R)N under shear loads in concrete

| HIS-(R)N | | | M8 | M10 | M12 | M16 | M20 |
|--|----------------------|------|------|------|------|------|------|
| Steel failure without lever arm | | | | | | | |
| Characteristic resistance HIS-N with screw or threaded rod grade 8.8 | $V_{Rk,s}$ | [kN] | 13 | 23 | 34 | 63 | 58 |
| Partial factor | $\gamma_{Ms,v}^{1)}$ | [-] | 1,25 | | | | |
| Characteristic resistance HIS-RN with screw or threaded rod grade 70 | $V_{Rk,s}$ | [kN] | 13 | 20 | 30 | 55 | 83 |
| Partial factor | $\gamma_{Ms,v}^{1)}$ | [-] | 1,56 | | | | 2,00 |
| Ductility factor | k_7 | [-] | 1,0 | | | | |
| Steel failure with lever arm | | | | | | | |
| Characteristic resistance HIS-N with screw or threaded rod grade 8.8 | $M^0_{Rk,s}$ | [Nm] | 30 | 60 | 105 | 266 | 519 |
| Partial factor | $\gamma_{Ms,v}^{1)}$ | [-] | 1,25 | | | | |
| Characteristic resistance HIS-RN with screw or threaded rod grade 70 | $M^0_{Rk,s}$ | [Nm] | 26 | 52 | 92 | 233 | 454 |
| Partial factor | $\gamma_{Ms,v}^{1)}$ | [-] | 1,56 | | | | |
| Ductility factor | k_7 | [-] | 1,0 | | | | |
| Concrete pry-out failure | | | | | | | |
| Pry-out factor | k_8 | [-] | 2,0 | | | | |
| Concrete edge failure | | | | | | | |
| Effective length of fastener | l_f | [mm] | 90 | 110 | 125 | 170 | 205 |
| Diameter of fastener | d_{nom} | [mm] | 12,5 | 16,5 | 20,5 | 25,4 | 27,6 |

¹⁾ In absence of national regulations.

HVU2

Performances
Essential characteristics under shear loads in concrete

Annex C8

Table C5: Displacements for HAS-U... and HAS-(E) under tension load¹⁾

| HAS-U... and HAS-(E)... | | | M8 | M10 | M12 | M16 | M20 | M24 | M27 | M30 |
|---|----------------------------|---------------------------|------|-----|-----|-----|-----|-----|------|-----|
| Uncracked concrete temperature range I to III | | | | | | | | | | |
| Displacement | δ_{N0} -factor | [mm/(N/mm ²)] | 0,06 | | | | | | 0,15 | |
| | $\delta_{N\infty}$ -factor | [mm/(N/mm ²)] | 0,10 | | | | | | 0,30 | |
| Cracked concrete temperature range I to III | | | | | | | | | | |
| Displacement | δ_{N0} -factor | [mm/(N/mm ²)] | 0,10 | | | | | | 0,15 | |
| | $\delta_{N\infty}$ -factor | [mm/(N/mm ²)] | 0,14 | | | | | | 0,30 | |

¹⁾ Calculation of the displacement

$$\delta_{N0} = \delta_{N0}\text{-factor} \cdot \tau; \quad \delta_{N\infty} = \delta_{N\infty}\text{-factor} \cdot \tau \quad (\tau: \text{bond stress due to applied tension force}).$$

Table C6: Displacements for HAS-U... and HAS-(E) under shear load¹⁾

| HAS-U... and HAS-(E)... | | | M8 | M10 | M12 | M16 | M20 | M24 | M27 | M30 |
|-------------------------|----------------------------|---------|------|------|------|------|------|------|-----|-----|
| Displacement | δ_{V0} -factor | [mm/kN] | 0,06 | 0,06 | 0,05 | 0,04 | 0,04 | 0,03 | | |
| | $\delta_{V\infty}$ -factor | [mm/kN] | 0,09 | 0,08 | 0,08 | 0,06 | 0,06 | 0,05 | | |

¹⁾ Calculation of the displacement

$$\delta_{V0} = \delta_{V0}\text{-factor} \cdot V; \quad \delta_{V\infty} = \delta_{V\infty}\text{-factor} \cdot V \quad (V: \text{applied shear force}).$$

Table C7: Displacements for internally threaded sleeves HIS-(R)N under tension load¹⁾

| HIS-(R)N | | | M8 | M10 | M12 | M16 | M20 | |
|---|----------------------------|---------------------------|------|-----|-----|-----|------|--|
| Uncracked concrete temperature range I to III | | | | | | | | |
| Displacement | δ_{N0} -factor | [mm/(N/mm ²)] | 0,05 | | | | 0,15 | |
| | $\delta_{N\infty}$ -factor | [mm/(N/mm ²)] | 0,10 | | | | 0,15 | |
| Cracked concrete temperature range I to III | | | | | | | | |
| Displacement | δ_{N0} -factor | [mm/(N/mm ²)] | 0,13 | | | | 0,20 | |
| | $\delta_{N\infty}$ -factor | [mm/(N/mm ²)] | 0,15 | | | | 0,20 | |

¹⁾ Calculation of the displacement

$$\delta_{N0} = \delta_{N0}\text{-factor} \cdot \tau; \quad \delta_{N\infty} = \delta_{N\infty}\text{-factor} \cdot \tau \quad (\tau: \text{bond stress due to applied tension force}).$$

Table C8: Displacements for internally threaded sleeves HIS-(R)N under shear load¹⁾

| HIS-(R)N | | | M8 | M10 | M12 | M16 | M20 |
|--------------|----------------------------|---------|------|------|------|------|------|
| Displacement | δ_{V0} -factor | [mm/kN] | 0,06 | 0,06 | 0,05 | 0,04 | 0,04 |
| | $\delta_{V\infty}$ -factor | [mm/kN] | 0,09 | 0,08 | 0,08 | 0,06 | 0,06 |

¹⁾ Calculation of the displacement

$$\delta_{V0} = \delta_{V0}\text{-factor} \cdot V; \quad \delta_{V\infty} = \delta_{V\infty}\text{-factor} \cdot V \quad (V: \text{applied shear force}).$$

HVU2

Performances
Displacements

Annex C9

Table C9: Essential characteristics for HAS-U... and HAS-(E) under tension loads for seismic performance category C1

| HAS-U... and HAS-(E)... | | M10 | M12 | M16 | M20 | M24 | M27 | M30 |
|--|---------------------------------------|-----|-----|-----|-----|-----|-----|-----|
| Steel failure | | | | | | | | |
| HAS-U (HDG) 5.8, HAS-(E)-(F) 5.8 | $N_{Rk,s,seis}$ [kN] | 29 | 42 | 79 | 123 | 177 | - | |
| HAS-U (HDG) 8.8, HAS-(E)-(F) 8.8 | $N_{Rk,s,seis}$ [kN] | 46 | 67 | 126 | 196 | 282 | 367 | 449 |
| HAS-U A4, HAS-R | $N_{Rk,s,seis}$ [kN] | 41 | 59 | 110 | 172 | 247 | 230 | 281 |
| HAS-U HCR, HAS-HCR | $N_{Rk,s,seis}$ [kN] | 46 | 67 | 126 | 196 | 247 | - | |
| Combined pullout and concrete cone failure in cracked concrete C20/25 | | | | | | | | |
| Hammer drilled holes | | | | | | | | |
| Temperature range I: 24 °C / 40 °C | $\tau_{Rk,seis}$ [N/mm ²] | 8,5 | 8,5 | 8,3 | 6,9 | 8,1 | 6,5 | 7,6 |
| Temperature range II: 50 °C / 80 °C | $\tau_{Rk,seis}$ [N/mm ²] | 6,5 | 6,5 | 6,4 | 5,3 | 6,2 | 5,0 | 5,8 |
| Temperature range III: 72 °C / 120 °C | $\tau_{Rk,seis}$ [N/mm ²] | 4,0 | 4,0 | 3,9 | 3,3 | 3,8 | 3,1 | 3,6 |
| Hammer drilled holes with hollow drill bit TE-CD or TE-YD | | | | | | | | |
| Temperature range I: 24 °C / 40 °C | $\tau_{Rk,seis}$ [N/mm ²] | - | 8,5 | 8,3 | 6,9 | 8,1 | 6,5 | 7,6 |
| Temperature range II: 50 °C / 80 °C | $\tau_{Rk,seis}$ [N/mm ²] | - | 6,5 | 6,4 | 5,3 | 6,2 | 5,0 | 5,8 |
| Temperature range III: 72 °C / 120 °C | $\tau_{Rk,seis}$ [N/mm ²] | - | 4,0 | 3,9 | 3,3 | 3,8 | 3,1 | 3,6 |
| Diamond cored holes | | | | | | | | |
| Temperature range I: 24 °C / 40 °C | $\tau_{Rk,seis}$ [N/mm ²] | 7,0 | 7,0 | 7,0 | 7,0 | 7,0 | 7,0 | 7,0 |
| Temperature range II: 50 °C / 80 °C | $\tau_{Rk,seis}$ [N/mm ²] | 6,5 | 6,5 | 6,5 | 6,5 | 6,5 | 6,5 | 6,5 |
| Temperature range III: 72 °C / 120 °C | $\tau_{Rk,seis}$ [N/mm ²] | 4,0 | 4,0 | 4,0 | 4,0 | 4,0 | 4,0 | 4,0 |

Table C10: Essential characteristics for HAS-U... and HAS-(E) under shear loads for seismic performance category C1

| HAS-U... and HAS-(E)... | | M10 | M12 | M16 | M20 | M24 | M27 | M30 |
|--|----------------------|-----|-----|-----|-----|-----|-----|-----|
| Steel failure without lever arm | | | | | | | | |
| HAS-U (HDG) 5.8, HAS-(E)-(F) 5.8 | $V_{Rk,s,seis}$ [kN] | 11 | 15 | 27 | 43 | 62 | - | - |
| HAS-U (HDG) 8.8, HAS-(E)-(F) 8.8 | $V_{Rk,s,seis}$ [kN] | 16 | 24 | 44 | 69 | 99 | 129 | 157 |
| HAS-U A4, HAS-R | $V_{Rk,s,seis}$ [kN] | 14 | 21 | 39 | 60 | 87 | 81 | 98 |
| HAS-U HCR, HAS-HCR | $V_{Rk,s,seis}$ [kN] | 16 | 24 | 44 | 69 | 87 | - | - |

HVU2

Performances

Essential characteristics for seismic performance category C1.

Annex C10

Table C11: Essential characteristics for HAS-U... and HAS-(E) under tension loads for seismic performance category C2

| HAS-U... and HAS-(E)... | | M16 | M20 |
|---|---------------------------------------|-----|-----|
| Steel failure | | | |
| HAS-U (HDG) 8.8, HAS-(E)-(F) 8.8 | $N_{Rk,s,seis}$ [kN] | 126 | 196 |
| Combined pullout and concrete cone failure in cracked concrete C20/25 in hammer drilled holes and with hollow drill bit TE-CD or TE-YD | | | |
| Temperature range I: 24 °C / 40 °C | $\tau_{Rk,seis}$ [N/mm ²] | 2,9 | 2,6 |
| Temperature range II: 50 °C / 80 °C | $\tau_{Rk,seis}$ [N/mm ²] | 2,3 | 2,1 |
| Temperature range III: 72 °C / 120 °C | $\tau_{Rk,seis}$ [N/mm ²] | 1,4 | 1,3 |

Table C12: Essential characteristics for HAS-U... and HAS-(E) under shear loads for seismic performance category C2

| HAS-U... and HAS-(E)... | | M16 | M20 |
|--|----------------------|-----|-----|
| Steel failure without lever arm | | | |
| HAS-U 8.8, HAS-(E) 8.8 | $V_{Rk,s,seis}$ [kN] | 40 | 71 |
| HAS-U HDG 8.8, HAS-F 8.8 | $V_{Rk,s,seis}$ [kN] | 30 | 46 |

Table C13: Displacements under tension load for seismic performance category C2

| HAS-U... and HAS-(E)... | | M16 | M20 |
|-------------------------|-----------------------------|-----|-----|
| Displacement DLS | $\delta_{N,seis(DLS)}$ [mm] | 0,2 | 0,2 |
| Displacement ULS | $\delta_{N,seis(ULS)}$ [mm] | 0,4 | 0,5 |

Table C14: Displacements under shear load for seismic performance category C2

| HAS-U... and HAS-(E)... | | M16 | M20 |
|--|-----------------------------|-----|-----|
| Displacement DLS HAS-U 8.8, HAS-(E) 8.8 | $\delta_{V,seis(DLS)}$ [mm] | 3,2 | 2,5 |
| Displacement DLS HAS-U HDG 8.8, HAS-F 8.8 | $\delta_{V,seis(DLS)}$ [mm] | 2,3 | 3,8 |
| Displacement ULS HAS-U 8.8, HAS-(E) 8.8 | $\delta_{V,seis(ULS)}$ [mm] | 9,2 | 7,1 |
| Displacement ULS HAS-U HDG 8.8, HAS-F 8.8 | $\delta_{V,seis(ULS)}$ [mm] | 4,3 | 9,1 |

HVU2

Performances

Essential characteristics for seismic performance category C2 and displacements.

Annex C11

Zulassungsstelle für Bauprodukte und Bauarten

Bautechnisches Prüfamts

Eine vom Bund und den Ländern
gemeinsam getragene Anstalt des öffentlichen Rechts



Europäische Technische Bewertung

ETA-16/0515
vom 13. November 2019

Allgemeiner Teil

Technische Bewertungsstelle, die die Europäische Technische Bewertung ausstellt

Deutsches Institut für Bautechnik

Handelsname des Bauprodukts

HVU2

Produktfamilie,
zu der das Bauprodukt gehört

Verbunddübel zur Verankerung im Beton

Hersteller

Hilti AG Liechtenstein
Feldkircherstraße 100
9494 Schaan
FÜRSTENTUM LIECHTENSTEIN

Herstellungsbetrieb

Hilti Corporation

Diese Europäische Technische Bewertung enthält

27 Seiten, davon 3 Anhänge, die fester Bestandteil dieser Bewertung sind.

Diese Europäische Technische Bewertung wird ausgestellt gemäß der Verordnung (EU) Nr. 305/2011, auf der Grundlage von

EAD 330499-01-0601

Diese Fassung ersetzt

ETA-16/0515 vom 17. Juni 2019

Die Europäische Technische Bewertung wird von der Technischen Bewertungsstelle in ihrer Amtssprache ausgestellt. Übersetzungen dieser Europäischen Technischen Bewertung in andere Sprachen müssen dem Original vollständig entsprechen und müssen als solche gekennzeichnet sein.

Diese Europäische Technische Bewertung darf, auch bei elektronischer Übermittlung, nur vollständig und ungekürzt wiedergegeben werden. Nur mit schriftlicher Zustimmung der ausstellenden Technischen Bewertungsstelle kann eine teilweise Wiedergabe erfolgen. Jede teilweise Wiedergabe ist als solche zu kennzeichnen.

Die ausstellende Technische Bewertungsstelle kann diese Europäische Technische Bewertung widerrufen, insbesondere nach Unterrichtung durch die Kommission gemäß Artikel 25 Absatz 3 der Verordnung (EU) Nr. 305/2011.

Besonderer Teil

1 Technische Beschreibung des Produkts

Der HVU2 ist ein Verbunddübel, der aus einer Mörtelpatrone Hilti HVU2 und einem Stahlteil besteht. Das Stahlteil besteht aus

- einer Ankerstange Hilti HAS-U oder HAS-(E) mit Scheibe und Mutter in den Größen M8 bis M30 oder
- einer Innengewindehülse HIS-(R)N in den Größen M8 bis M20

Die Mörtelpatrone wird in das Bohrloch gesetzt und das Stahlteil mit einer Maschine, wie in Anhang B9 beschrieben, eingetrieben.

Der Dübel ist durch Verbund zwischen Stahlteil, Mörtel und Beton verankert.

Produkt und Produktbeschreibung sind in Anhang A dargestellt.

2 Spezifizierung des Verwendungszwecks gemäß dem anwendbaren Europäischen Bewertungsdokument

Von den Leistungen in Abschnitt 3 kann nur ausgegangen werden, wenn der Dübel entsprechend den Angaben und unter den Randbedingungen nach Anhang B verwendet wird.

Die Prüf- und Bewertungsmethoden, die dieser Europäischen Technischen Bewertung zu Grunde liegen, führen zur Annahme einer Nutzungsdauer des Dübels von mindestens 50 Jahren. Die Angabe der Nutzungsdauer kann nicht als Garantie des Herstellers verstanden werden, sondern ist lediglich ein Hilfsmittel zur Auswahl des richtigen Produkts in Bezug auf die angenommene wirtschaftlich angemessene Nutzungsdauer des Bauwerks.

3 Leistung des Produkts und Angaben der Methoden ihrer Bewertung

3.1 Mechanische Festigkeit und Standsicherheit (BWR 1)

| Wesentliches Merkmal | Leistung |
|---|--------------------------|
| Charakteristischer Widerstand für statische und quasi-statische Zugbeanspruchung | Siehe Anhang C1 bis C5 |
| Charakteristischer Widerstand für statische und quasi-statische Querbeanspruchung | Siehe Anhang C6 bis C8 |
| Verschiebungen für statische und quasi-statische Einwirkungen | Siehe Anhang C9 |
| Charakteristischer Widerstand und Verschiebungen für die seismische Leitungskategorie C1 und C2 | Siehe Anhang C10 und C11 |
| Dauerhaftigkeit | Siehe Anhang B2 |

3.2 Hygiene, Gesundheit und Umweltschutz (BWR 3)

| Wesentliches Merkmal | Leistung |
|--|-------------------------|
| Inhalt, Emission und/oder Freisetzung von gefährlichen Stoffen | Leistung nicht bewertet |

4 Angewandtes System zur Bewertung und Überprüfung der Leistungsbeständigkeit mit der Angabe der Rechtsgrundlage

Gemäß dem Europäischen Bewertungsdokument EAD 330499-01-0601 gilt folgende Rechtsgrundlage: [96/582/EG].

Folgendes System ist anzuwenden: 1

5 Für die Durchführung des Systems zur Bewertung und Überprüfung der Leistungsbeständigkeit erforderliche technische Einzelheiten gemäß anwendbarem Europäischen Bewertungsdokument

Technische Einzelheiten, die für die Durchführung des Systems zur Bewertung und Überprüfung der Leistungsbeständigkeit notwendig sind, sind Bestandteil des Prüfplans, der beim Deutschen Institut für Bautechnik hinterlegt ist.

Ausgestellt in Berlin am 13. November 2019 vom Deutschen Institut für Bautechnik

BD Dipl.-Ing. Andreas Kummerow
Abteilungsleiter

Beglaubigt

Einbauzustand

Bild A1:
HAS-U... und HAS-(E)...

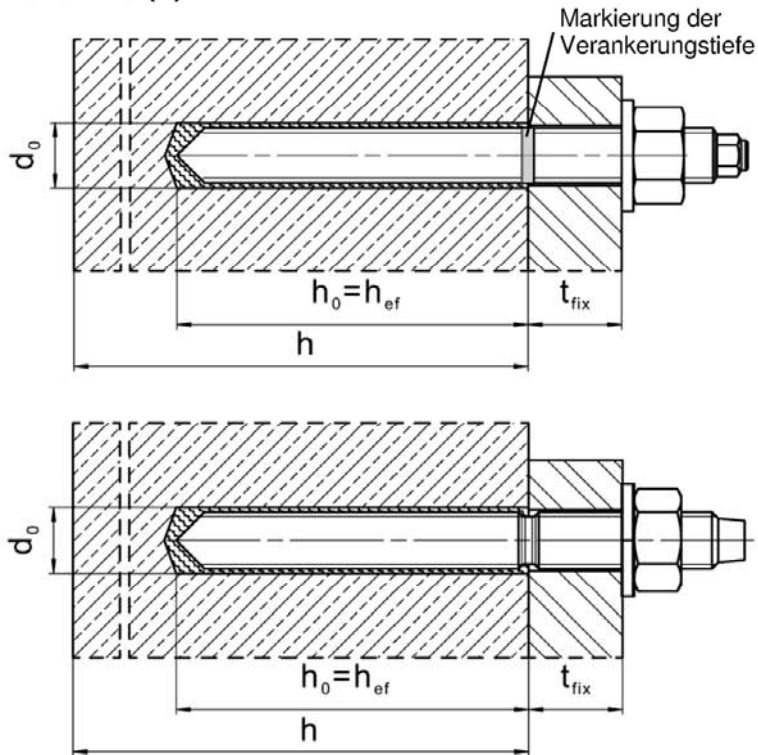
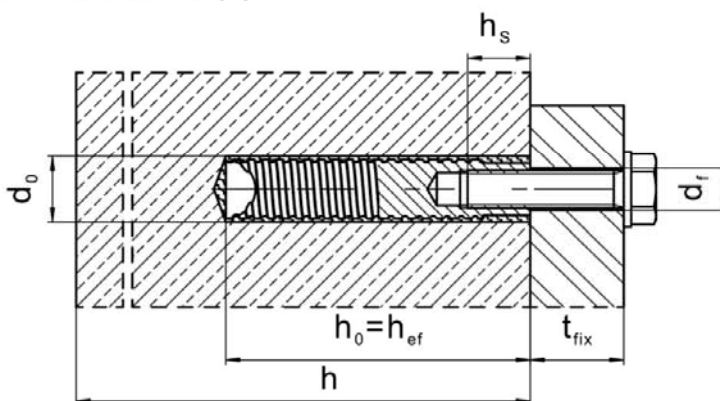


Bild A2:
Innengewindehülse HIS-(R)N



HVU2

Produktbeschreibung
Einbauzustand

Anhang A1

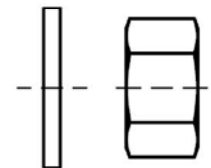
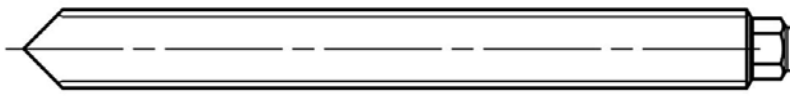
Produktbeschreibung: Mörtelpatrone und Stahlelemente

Verbundankerpatrone HVU2 M8 bis M30: Kunstharz und Härter mit Zuschlag

Kennzeichnung:
HVU2 M ...
Verfallsdatum mm/yyyy

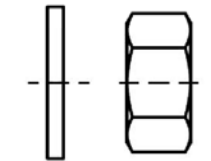
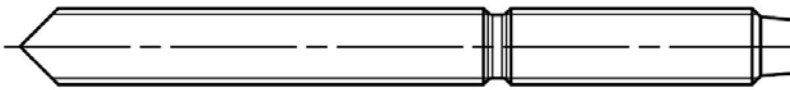


Stahlelemente



HAS-U...: M8 bis M30

Scheibe Mutter



HAS-(E)...: M8 bis M30

Scheibe Mutter



Innengewindehülse HIS-(R)N: M8 bis M20

Maße nach Anhang B4.

HVU2

Produktbeschreibung
Verbundankerpatrone / Stahlelemente

Anhang A2

Tabelle A1: Werkstoffe

| Bezeichnung | Werkstoff |
|--|--|
| Stahlteile aus verzinktem Stahl | |
| HAS-(E)-(F) | M8 bis M16: Festigkeitsklasse 5.8, $f_{uk} = 570 \text{ N/mm}^2$, $f_{yk} = 456 \text{ N/mm}^2$. M20 und M24: Festigkeitsklasse 5.8, $f_{uk} = 500 \text{ N/mm}^2$, $f_{yk} = 400 \text{ N/mm}^2$. Bruchdehnung ($l_0 = 5d$) > 8% duktil. M8 bis M30: Festigkeitsklasse 8.8, $f_{uk} = 800 \text{ N/mm}^2$, $f_{yk} = 640 \text{ N/mm}^2$. Bruchdehnung ($l_0 = 5d$) > 12% duktil. Galvanisch verzinkt $\geq 5 \mu\text{m}$, (F) feuerverzinkt $\geq 45 \mu\text{m}$. |
| HAS-U (HDG) | M8 bis M24: Festigkeitsklasse 5.8, $f_{uk} = 500 \text{ N/mm}^2$, $f_{yk} = 400 \text{ N/mm}^2$. Bruchdehnung ($l_0 = 5d$) > 8% duktil. M8 bis M30: Festigkeitsklasse 8.8, $f_{uk} = 800 \text{ N/mm}^2$, $f_{yk} = 640 \text{ N/mm}^2$. Bruchdehnung ($l_0 = 5d$) > 12% duktil. Galvanisch verzinkt $\geq 5 \mu\text{m}$, (HDG) feuerverzinkt $\geq 45 \mu\text{m}$. |
| Innengewindehülse HIS-N | Galvanisch verzinkt $\geq 5 \mu\text{m}$. |
| Scheibe | Galvanisch verzinkt $\geq 5 \mu\text{m}$, feuerverzinkt $\geq 45 \mu\text{m}$. |
| Mutter | Festigkeit der Sechskantmutter abgestimmt auf Festigkeit der Ankerstange. Galvanisch verzinkt $\geq 5 \mu\text{m}$, feuerverzinkt $\geq 45 \mu\text{m}$. |
| Stahlteile aus nichtrostendem Stahl der Korrosionsbeständigkeitsklasse III gemäß EN 1993-1-4:2006+A1:2015-06 | |
| HAS-(E)-R | M8 bis M16: Festigkeitsklasse 70, $f_{uk} = 700 \text{ N/mm}^2$, $f_{yk} = 500 \text{ N/mm}^2$. M20 und M24: Festigkeitsklasse 70, $f_{uk} = 700 \text{ N/mm}^2$, $f_{yk} = 450 \text{ N/mm}^2$. M27 und M30: Festigkeitsklasse 50, $f_{uk} = 500 \text{ N/mm}^2$, $f_{yk} = 210 \text{ N/mm}^2$. Bruchdehnung ($l_0 = 5d$) > 8% duktil. |
| HAS-U A4 | M8 bis M24: Festigkeitsklasse 70, $f_{uk} = 700 \text{ N/mm}^2$, $f_{yk} = 450 \text{ N/mm}^2$. M27 und M30: Festigkeitsklasse 50, $f_{uk} = 500 \text{ N/mm}^2$, $f_{yk} = 210 \text{ N/mm}^2$. Bruchdehnung ($l_0 = 5d$) > 8% duktil. |
| Innengewindehülse HIS-RN | Nichtrostender Stahl 1.4401, 1.4571 nach EN 10088-1:2014. |
| Scheibe | Nichtrostender Stahl 1.4401, 1.4404, 1.4578, 1.4571, 1.4439, 1.4362 nach EN 10088-1:2014. |
| Mutter | M8 to M24: Festigkeitsklasse 70, $f_{uk} = 700 \text{ N/mm}^2$, $f_{yk} = 450 \text{ N/mm}^2$. M27 und M30: Festigkeitsklasse 50, $f_{uk} = 500 \text{ N/mm}^2$, $f_{yk} = 210 \text{ N/mm}^2$. Nichtrostender Stahl 1.4401, 1.4404, 1.4578, 1.4571, 1.4439, 1.4362 nach EN 10088-1:2014. |
| Stahlteile aus hochkorrosionsbeständigem Stahl der Korrosionsbeständigkeitsklasse V gemäß EN 1993-1-4:2006+A1:2015-06 | |
| HAS-(E)-HCR HAS-U HCR | M8 bis M20: $f_{uk} = 800 \text{ N/mm}^2$, $f_{yk} = 640 \text{ N/mm}^2$. M24: $f_{uk} = 700 \text{ N/mm}^2$, $f_{yk} = 400 \text{ N/mm}^2$. Bruchdehnung ($l_0 = 5d$) > 8% duktil. |
| Scheibe | Hochkorrosionsbeständiger Stahl 1.4529, 1.4565 gemäß EN 10088-1:2014. |
| Mutter | M8 bis M20: $f_{uk} = 800 \text{ N/mm}^2$, $f_{yk} = 640 \text{ N/mm}^2$. M24: $f_{uk} = 700 \text{ N/mm}^2$, $f_{yk} = 400 \text{ N/mm}^2$. Hochkorrosionsbeständiger Stahl 1.4529, 1.4565 EN 10088-1:2014. |

HVU2

Produktbeschreibung
Werkstoffe

Anhang A3

Spezifizierung des Verwendungszwecks

Beanspruchung der Verankerung:

- Statische und quasistatische Belastung.
- Seismische Leistungskategorie C1: HAS-U... und HAS-(E)... für M10 bis M30.
- Seismische Leistungskategorie C2: HAS-U... und HAS-(E)... für M16 und M20.

Verankerungsgrund:

- Verdichteter bewehrter oder unbewehrter Normalbeton ohne Fasern nach EN 206:2013 + A1:2016.
- Festigkeitsklassen C20/25 bis C50/60 nach EN 206:2013 + A1:2016.
- Gerissener und ungerissener Beton.

Temperatur im Verankerungsgrund:

- **Beim Einbau**
- -10 °C bis +40 °C
Für die übliche Temperaturveränderung nach dem Einbau und schnelle Temperaturveränderung nach dem Einbau.
- **Im Nutzungszustand**
 - Temperaturbereich I: -40 °C bis +40 °C
(max. Langzeittemperatur +24 °C und max. Kurzzeittemperatur +40 °C)
 - Temperaturbereich II: -40 °C bis +80 °C
(max. Langzeittemperatur +50 °C und max. Kurzzeittemperatur +80 °C)
 - Temperaturbereich III: -40 °C bis +120 °C
(max. Langzeittemperatur +72 °C und max. Kurzzeittemperatur +120 °C)

Tabelle B1: Spezifizierung des Verwendungszwecks

| | | Folienpatrone HVU2 mit ... | |
|--|---|---|---|
| Elemente | | HAS-U..., HAS-(E)...  | HIS-(R)N  |
| Hammerbohren mit Hohlbohrer TE-CD oder TE-YD |  | M10 bis M30 | M8 bis M20 |
| Hammerbohren |  | M8 bis M30 | M8 bis M20 |
| Diamantbohren |  | M10 bis M30 | M8 bis M20 |

HVU2

Verwendungszweck
Spezifikationen

Anhang B1

Anwendungsbedingungen (Umweltbedingungen):

- Bauteile unter den Bedingungen trockener Innenräume (alle Stahlsorten).
- Für alle anderen Bedingungen entsprechend EN 1993-1-4:2006+A1:2015-06 Korrosionsbeständigkeitsklasse nach Tabelle A1 Anhang A3 (nichtrostende Stähle).

Bemessung:

- Die Befestigungen müssen unter der Verantwortung eines auf dem Gebiet der Verankerungen und des Betonbaus erfahrenen Ingenieurs bemessen werden.
- Unter Berücksichtigung der zu verankernden Lasten sind prüfbare Berechnungen und Konstruktionszeichnungen anzufertigen. Auf den Konstruktionszeichnungen ist die Lage des Dübels (z. B. Lage des Dübels zur Bewehrung oder zu den Auflagern usw.) anzugeben.
- Die Bemessung der Verankerung erfolgt in Übereinstimmung mit: EN 1992-4:2018 und EOTA Technical Report TR 055.

Installation:

- Nutzungskategorie: trockener oder feuchter Beton (nicht in mit Wasser gefüllten Bohrlöchern).
- Bohrverfahren:
 - Hammerbohren
 - Hammerbohren mit Hohlbohrer TE-CD, TE-YD
 - Diamantbohren (z.B. Hilti DD 30-W oder andere Hilti DD Maschinen).
- Montagerichtung:
D2: Vertikal nach unten und horizontal mit HVU2 M8 bis M30 zulässig.
D3: Vertikal nach unten und horizontal und vertikal nach oben mit HVU2 M8 bis M24 zulässig.
- Der Einbau erfolgt durch entsprechend geschultes Personal unter der Aufsicht des Bauleiters.

HVU2

Verwendungszweck
Spezifikationen

Anhang B2

Tabelle B2: Montagekennwerte des HAS-U... und HAS-(E)...

| HAS-U... und HAS-(E)... | | M8 | M10 | M12 | M16 | M20 | M24 | M27 | M30 |
|--|--------------------------|------|--------|--------|--------|--------|--------|--------|--------|
| Folienpatrone HVU2 M... | h_{ef1} [mm] | 8x80 | 10x90 | 12x110 | 16x125 | 20x170 | 24x210 | 27x240 | 30x270 |
| | h_{ef2} [mm] | - | 10x135 | 12x165 | 16x190 | - | - | - | - |
| Durchmesser des Befestigungselementes | $d = d_{nom}$ [mm] | 8 | 10 | 12 | 16 | 20 | 24 | 27 | 30 |
| Bohrerinnendurchmesser | d_0 [mm] | 10 | 12 | 14 | 18 | 22 | 28 | 30 | 35 |
| Wirksame Verankerungstiefe und Bohrlochtiefe | $h_{ef1} = h_{0,1}$ [mm] | 80 | 90 | 110 | 125 | 170 | 210 | 240 | 270 |
| | $h_{ef2} = h_{0,2}$ [mm] | - | 135 | 165 | 190 | - | - | - | - |
| Maximaler Durchmesser des Durchgangslochs im Anbauteil | d_f [mm] | 9 | 12 | 14 | 18 | 22 | 26 | 30 | 33 |
| Minimale Dicke des Betonbauteils | h_{min1} [mm] | 110 | 120 | 140 | 160 | 220 | 270 | 300 | 340 |
| | h_{min2} [mm] | - | 165 | 195 | 230 | - | - | - | - |
| Maximales Anzugsdrehmoment | T_{max} [Nm] | 10 | 20 | 40 | 80 | 150 | 200 | 270 | 300 |
| Minimaler Achsabstand | s_{min} [mm] | 40 | 50 | 60 | 75 | 90 | 115 | 120 | 140 |
| Minimaler Randabstand | c_{min} [mm] | 40 | 45 | 45 | 50 | 55 | 60 | 75 | 80 |

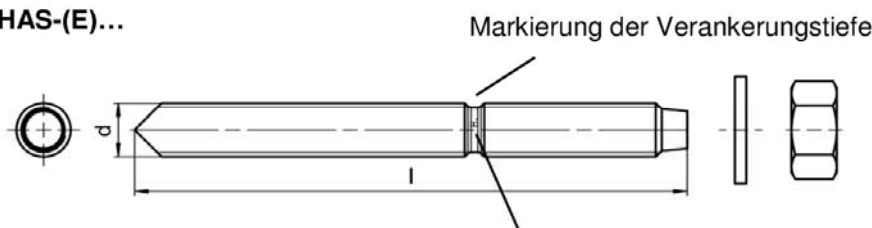
HAS-U...



Kennzeichnung:

Zahl für Festigkeitsklasse und Buchstabe zur Längenidentifikation: z.B. 8L

HAS-(E)...



Kennzeichnung:

Identifizierung - H, Prägung "1" HAS-(E)
Identifizierung - H, Prägung "=" HAS-(E)R
Identifizierung - H, Prägung "CR" HAS-(E)HCR

HVU2

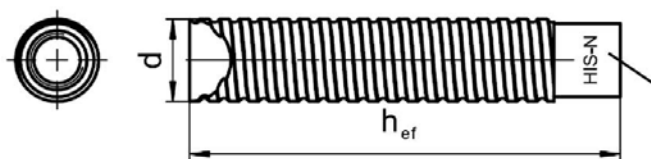
Verwendungszweck
Montagekennwerte

Anhang B3

Tabelle B3: Montagekennwerte der Innengewindehülse HIS-(R)N

| Innengewindehülse HIS-(R)N | | | M8 | M10 | M12 | M16 | M20 |
|--|----------------|------|-------|--------|--------|--------|--------|
| Folienpatrone HVU2 M... | | | 10x90 | 12x110 | 16x125 | 20x170 | 24x210 |
| Durchmesser des Befestigungselementes | $d = d_{nom}$ | [mm] | 12,5 | 16,5 | 20,5 | 25,4 | 27,8 |
| Bohrerenddurchmesser | d_0 | [mm] | 14 | 18 | 22 | 28 | 32 |
| Wirksame Verankerungstiefe und Bohrlochtiefe | $h_{ef} = h_0$ | [mm] | 90 | 110 | 125 | 170 | 205 |
| Maximaler Durchmesser des Durchgangslochs im Anbauteil | d_f | [mm] | 9 | 12 | 14 | 18 | 22 |
| Minimale Dicke des Betonbauteils | h_{min} | [mm] | 120 | 150 | 170 | 230 | 270 |
| Maximales Anzugsdrehmoment | T_{max} | [Nm] | 10 | 20 | 40 | 80 | 150 |
| Einschraubtiefe min-max | h_s | [mm] | 8-20 | 10-25 | 12-30 | 16-40 | 20-50 |
| Minimaler Achsabstand | s_{min} | [mm] | 60 | 75 | 90 | 115 | 130 |
| Minimaler Randabstand | c_{min} | [mm] | 40 | 45 | 55 | 65 | 90 |

Innengewindehülse HIS-(R)N...



Kennzeichnung:
Identifizierung - HILTI und
Prägung "HIS-N" (für C-Stahl)
Prägung "HIS-RN" (für rostfreien Stahl)

Tabelle B4: Minimale Aushärtezeit

| Temperatur im Verankerungsgrund T | Minimale Aushärtezeit t_{cure} |
|-----------------------------------|----------------------------------|
| -10 °C bis -6 °C | 5 h |
| -5 °C bis -1 °C | 3 h |
| 0 °C bis 4 °C | 40 min |
| 5 °C bis 9 °C | 20 min |
| 10 °C bis 19 °C | 10 min |
| 20 °C bis 40 °C | 5 min |

HVU2

Verwendungszweck
Montagekennwerte und Aushärtezeit

Anhang B4

Tabelle B5: Angaben zu Bohr- und Reinigungswerkzeugen

| Elemente | | Bohren und Reinigen | | | |
|---|---|---|---|---|---|
| HAS-U... HAS-(E)... | HIS-(R)N | Hammerbohren | | Diamantbohren | Bürste |
| | | | Hohlbohrer TE-CD, TE-YD | | |
|  |  |  |  |  |  |
| Size | Name | d ₀ [mm] | d ₀ [mm] | d ₀ [mm] | HIT-RB |
| M8 | - | 10 | - | - | - |
| M10 | - | 12 | 12 | 12 | 12 |
| M12 | M8 | 14 | 14 | 14 | 14 |
| M16 | M10 | 18 | 18 | 18 | 18 |
| M20 | M12 | 22 | 22 | 22 | 22 |
| M24 | M16 | 28 | 28 | 28 | 28 |
| M27 | - | 30 | - | 30 | 30 |
| - | M20 | 32 | 32 | 32 | 32 |
| M30 | - | 35 | 35 | 35 | 35 |

Reinigungsalternativen

Zum Ausblasen von Bohrlöchern bis zu einem Durchmesser von $d_0 \leq 18$ mm und einer Bohrlochtiefe von $h_0 \leq 10 d$ wird die Hilti-Handausblaspumpe empfohlen



Druckluftreinigung(CAC):

Zum Ausblasen mit Druckluft wird die Verwendung einer Ausblasdüse mit einem Durchmesser von mindestens 3,5 mm empfohlen.



Automatische Reinigung (AC):

Die Reinigung wird während dem Bohren mit dem Hilti TE-SD und TE-YD Bohrsystem inklusive Staubsauger durchgeführt.



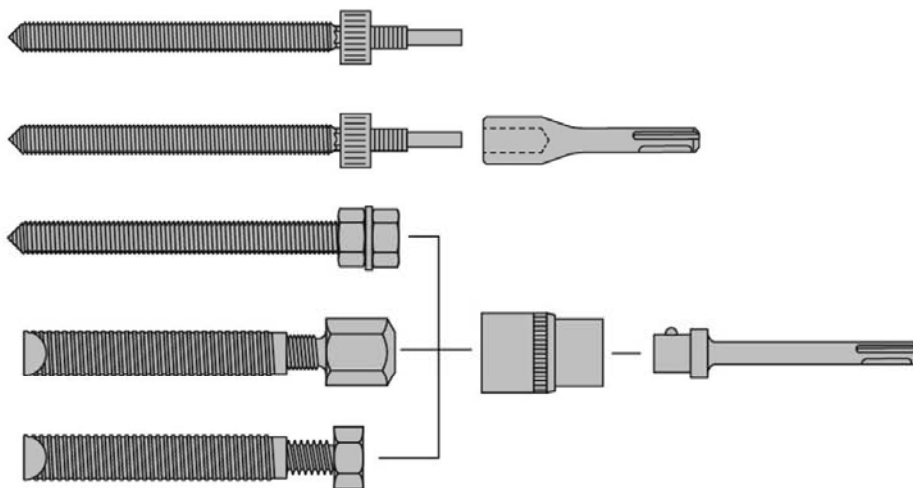
HVU2

Verwendungszweck
Reinigungswerkzeuge

Anhang B5

Tabelle B6: Angaben zu Setzwerkzeugen HAS-U..., HAS-(E)... und HIS-(R)N

| HAS | HIS-N | HVU2 | TE(A) | SID 4-A22 | SIW 22T-A | SF(H) | RPM |
|---|---|---|---|---|--|---|-------------|
|  |  |  |  |  |  |  | |
| M8 | - | M8x80 | 1...7 | + | + | 2, 6, 8, 10, 14, 22 | 450... 1300 |
| M10 | M8 | M10x90 | 1...7 | + | + | 6, 8, 10, 14, 22 | 450... 1300 |
| M10 | - | M10x135 | 1...40 | - | - | 6, 8, 10, 14, 22 | 450... 1300 |
| M12 | M10 | M12x110 | 1...40 | + | + | 6, 8, 10, 14, 22 | 450... 1300 |
| M12 | - | M12x165 | 1...40 | - | - | 6, 8, 10, 14, 22 | 450... 1300 |
| M16 | M12 | M16x125 | 1...40 | + | - | 6, 8, 10, 14, 22 | 450... 1300 |
| M16 | - | M16x190 | 50...80 | - | - | - | - |
| M20 | - | M20x170 | 50...60 | - | - | - | - |
| - | M16 | M20x170 | 40...80 | - | - | - | - |
| M24 | - | M24x210 | 50...80 | - | - | - | - |
| - | M20 | M24x210 | 40...80 | - | - | - | - |
| M27 | - | M27x240 | 60...80 | - | - | - | - |
| M30 | - | M30x270 | 60...80 | - | - | - | - |



| Setzwerkzeug | | Artikelnummer | TE (A) 1...40 | TE 50...80 | SF (H) | SID 4- A22 | HIS-S |
|-------------------|--|---------------|------------------|---------------|--------|---------------|-------|
| |  | | | | | | |
| - |  | - | - | - | + | - | - |
| TE-C HVU2 |  | # 2181356 | + | - | - | - | - |
| TE-Y HVU2 |  | # 2230162...5 | - | + | - | - | - |
| TE-C 1/2" |  | # 32220 | + | - | - | - | + |
| TE-Y 3/4" |  | # 32221 | - | + | - | - | + |
| SI-SA 1/4" - 1/2" |  | # 2077174 | - | - | + | + | + |
| SI-SA 7/16" |  | # 2134075 | - | - | + | - | + |

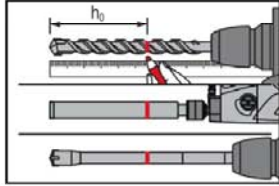
HVU2

Verwendungszweck
Setzwerkzeuge

Anhang B6

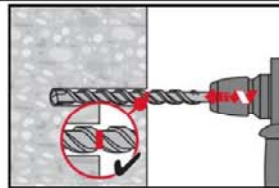
Montageanweisung

Bohrlocherstellung



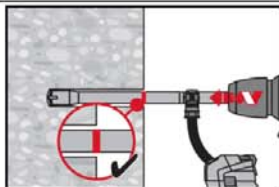
Erforderliche Bohrtiefe h_0 auf dem Bohrer oder der Bohrkronen markieren.

a) Hammerbohren: Im trockenen oder feuchten Beton.



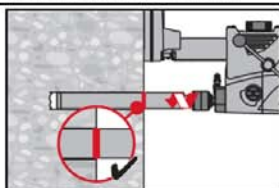
Bohrloch mit Bohrhammer dreh Schlagend, unter Verwendung des passenden Bohrerdurchmessers auf die richtige Bohrtiefe erstellen.

b) Hammerbohren mit Hilti Hohlbohrer: Im trockenen oder feuchten Beton.



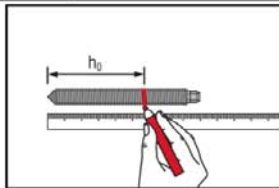
Die Bohrlocherstellung bis zur erforderlichen Setztiefe erfolgt dreh Schlagend mit einem Hilti Hohlbohrer TE-CD oder TE-YD in Kombination mit einem Hilti Staubsauger. Dieses Bohrsystem beseitigt bei Anwendung gemäß der Gebrauchsanweisung des Hohlbohrers das Bohrmehl und reinigt das Bohrloch während des Bohrvorgangs. Nach Beendigung des Bohrens kann mit dem Setzen des Befestigungselementes gemäß Montageanweisung begonnen werden.

c) Diamantbohren: Im trockenen oder feuchten Beton.

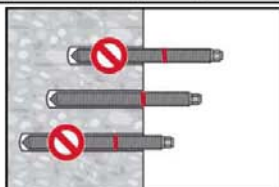


Diamantbohren ist zulässig, wenn geeignete Diamantbohrmaschinen und zugehörige Bohrkronen verwendet werden.

Überprüfen der Setztiefe



Erforderliche Setztiefe auf dem Befestigungselement markieren (siehe Tabelle B2).



Setztiefe mit markierter Ankerstange kontrollieren. Das Bohrloch darf nicht tiefer als die Setztiefe sein. Wenn es nicht möglich ist, die Ankerstange bis zur Setztiefenmarkierung in das Bohrloch einzuführen, entsprechend tiefer bohren.

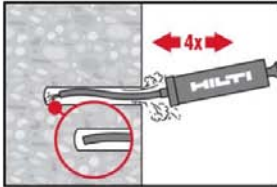
HVU2

Verwendungszweck
Montageanweisung

Anhang B7

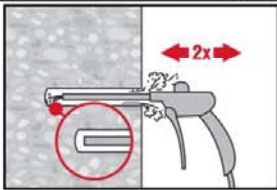
Bohrlochreinigung: Unmittelbar vor dem Setzen des Befestigungselements muss das Bohrloch frei von Bohrmehl und Verunreinigungen sein.
Schlechte Bohrlochreinigung = geringe Traglasten.

Handreinigung (MC): Für Bohrlochdurchmesser $d_0 \leq 18$ mm und Bohrlochtiefe $h_0 \leq 10$ d.



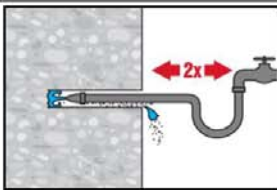
Das Bohrloch mindestens 4-mal mit der Hilti Ausblaspumpe vom Bohrlochgrund ausblasen, bis die rückströmende Luft staubfrei ist.

Druckluftreinigung(CAC): Für alle Bohrlochdurchmesser d_0 und Bohrlochtiefen h_0 .

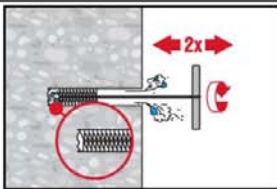


Bohrloch 2-mal vom Bohrlochgrund über die gesamte Länge mit ölfreier Druckluft (min. 6 bar bei $6 \text{ m}^3/\text{h}$; falls notwendig mit Verlängerung) ausblasen, bis die rückströmende Luft staubfrei ist.

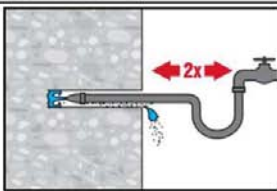
Reinigung von hammergebohrten, wassergefüllten Bohrlöchern und diamantgebohrten Bohrlöchern:
Für alle Bohrlochdurchmesser d_0 und Bohrlochtiefen h_0 .



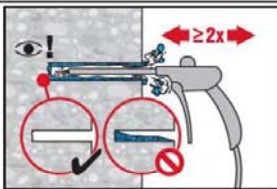
Das Bohrloch 2-mal mittels Wasser mit einem Schlauch vom Bohrlochgrund spülen, bis klares Wasser aus dem Bohrloch austritt. Normaler Wasserleitungsdruck genügt.



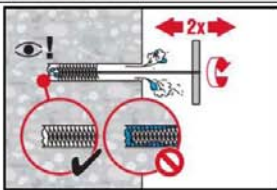
2-mal mit Stahlbürste in passender Größe (siehe Tabelle B5) bürsten. Stahlbürste Hilti HIT-RB mit einer Drehbewegung in das Bohrloch bis zum Bohrlochgrund einführen und wieder herausziehen (falls notwendig mit Verlängerung). Die Bürste muss beim Einführen einen Widerstand erzeugen (Bürsten $\text{Ø} \geq$ Bohrloch Ø). Falls nicht, ist die Bürste zu klein und muss durch eine größere Bürste ersetzt werden.



Das Bohrloch 2-mal mittels Wasser mit einem Schlauch vom Bohrlochgrund spülen, bis klares Wasser aus dem Bohrloch austritt. Normaler Wasserleitungsdruck genügt.



Bohrloch 2-mal vom Bohrlochgrund über die gesamte Länge mit ölfreier Druckluft (min. 6 bar bei $6 \text{ m}^3/\text{h}$; falls notwendig mit Verlängerung) ausblasen, bis die rückströmende Luft staubfrei und das Bohrloch trocken ist.

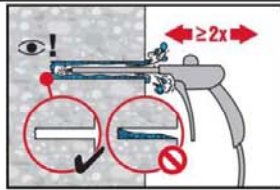


2-mal mit Stahlbürste in passender Größe (siehe Tabelle B5) bürsten. Stahlbürste Hilti HIT-RB mit einer Drehbewegung in das Bohrloch bis zum Bohrlochgrund einführen und wieder herausziehen (falls notwendig mit Verlängerung). Die Bürste muss beim Einführen einen Widerstand erzeugen (Bürsten $\text{Ø} \geq$ Bohrloch Ø). Falls nicht, ist die Bürste zu klein und muss durch eine größere Bürste ersetzt werden.

HVU2

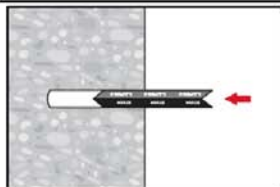
Verwendungszweck
Montageanweisung

Anhang B8

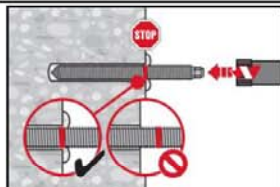


Bohrloch erneut vom Bohrlochgrund über die gesamte Länge 2-mal mit Druckluft ausblasen, bis die rückströmende Luft staubfrei und das Bohrloch trocken ist.

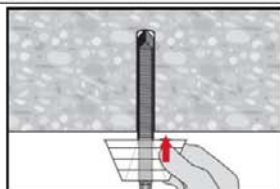
Setzen des Befestigungselementes



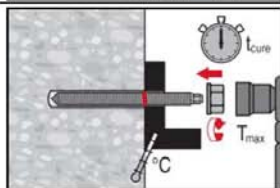
Folienpatrone mit der Spitze voraus in das Bohrloch stecken.



Die Ankerstange mit dem aufgesteckten Setzwerkzeug unter mäßigem Druck in das Bohrloch eindrehen. Bohrhammer mit Einstellung drehschlagend (450 U/min bis maximal 1300 U/min).
Setzwerkzeug siehe Anhang B6.
Nach Erreichen der Setztiefe Setzmaschine sofort ausschalten.



Überkopfmontage für HVU2 M8 bis M24.
Für Überkopfmontage die Tropfscheibe HIT-OHC verwenden.



Last bzw. Drehmoment aufbringen:
Nach Ablauf der Aushärtezeit t_{cure} (siehe Tabelle B4) kann der Anker belastet werden.
Das aufgebraute Drehmoment darf die angegebenen Werte T_{max} nach Tabelle B2 und B3 nicht überschreiten.

HVU2

Verwendungszweck
Montageanweisung

Anhang B9

Tabelle C1: Wesentliche Merkmale für HAS-U..., und HAS-(E) unter Zugbeanspruchung in Beton

| HAS-U... und HAS-(E)... | | M8 | M10 | M12 | M16 | M20 | M24 | M27 | M30 | |
|---|---------------------|------|--------------------|------|------|-------|-------|-------|-------|-------|
| Montagesicherheitsbeiwert | | | | | | | | | | |
| Hammerbohren und Bohren mit Hohlbohrer TE-CD oder TE-YD | γ_{inst} | [-] | | 1,0 | | | | | | |
| Diamantbohren | γ_{inst} | [-] | | 1,0 | | | | | | |
| Stahlversagen HAS-(E)... | | | | | | | | | | |
| Charakteristischer Stahlwiderstand HAS-(E) 5.8 | $N_{Rk,s}$ | [kN] | 18,9 | 30,1 | 43,4 | 82,2 | 112,2 | 160,2 | - | |
| Teilsicherheitsbeiwert | $\gamma_{Ms,N^{1)}$ | [-] | 1,50 | | | | | | - | |
| Charakteristischer Stahlwiderstand HAS-(E) 8.8 | $N_{Rk,s}$ | [kN] | 26,5 | 42,2 | 61,0 | 115,4 | 179,5 | 256,4 | 347 | 421,5 |
| Teilsicherheitsbeiwert | $\gamma_{Ms,N^{1)}$ | [-] | 1,50 | | | | | | - | |
| Charakteristischer Stahlwiderstand HAS-R | $N_{Rk,s}$ | [kN] | 23,2 | 37,0 | 53,3 | 100,9 | 157,0 | 224,3 | 216,9 | 263,4 |
| Teilsicherheitsbeiwert | $\gamma_{Ms,N^{1)}$ | [-] | 1,68 | | | 1,87 | | 2,86 | | |
| Charakteristischer Stahlwiderstand HAS-HCR | $N_{Rk,s}$ | [kN] | 26,5 | 42,2 | 61,0 | 115,4 | 179,5 | 224,3 | - | |
| Teilsicherheitsbeiwert | $\gamma_{Ms,N^{1)}$ | [-] | 1,50 | | | | 2,10 | | - | |
| Stahlversagen HAS-U... | | | | | | | | | | |
| Charakteristischer Stahlwiderstand HAS-U... | $N_{Rk,s}$ | [kN] | $A_s \cdot f_{uk}$ | | | | | | | |
| Teilsicherheitsbeiwert HAS-U 5.8 | $\gamma_{Ms,N^{1)}$ | [-] | 1,50 | | | | | | - | |
| Teilsicherheitsbeiwert HAS-U 8.8 | $\gamma_{Ms,N^{1)}$ | [-] | 1,50 | | | | | | - | |
| Teilsicherheitsbeiwert HAS-U A4 | $\gamma_{Ms,N^{1)}$ | [-] | 1,87 | | | | | | 2,86 | |
| Teilsicherheitsbeiwert HAS-U HCR | $\gamma_{Ms,N^{1)}$ | [-] | 1,50 | | | | 2,10 | | - | |

HVU2

Leistung
Wesentliche Merkmale unter Zugbeanspruchung in Beton

Anhang C1

Tabelle C1: Fortgesetzt

| HAS-U... und HAS-(E)... | | M8 | M10 | M12 | M16 | M20 | M24 | M27 | M30 | |
|---|--------------------------------------|------|-----|-----|-----|-----|------|-----|-----|--|
| Kombiniertes Versagen durch Herausziehen und Betonausbruch | | | | | | | | | | |
| Verankerungstiefe | h_{ef1} [mm] | 80 | 90 | 110 | 125 | 170 | 210 | 240 | 270 | |
| | h_{ef2} [mm] | - | 135 | 165 | 190 | - | - | - | - | |
| Ungerissener Beton C20/25 in hammergebohrten Bohrlöchern | | | | | | | | | | |
| Temperaturbereich I: 24 °C / 40 °C | $\tau_{Rk,ucr}$ [N/mm ²] | 12,0 | | | | | 16,0 | | | |
| Temperaturbereich II: 50 °C / 80 °C | $\tau_{Rk,ucr}$ [N/mm ²] | 9,5 | | | | | 13,0 | | | |
| Temperaturbereich III: 72 °C / 120 °C | $\tau_{Rk,ucr}$ [N/mm ²] | 6,0 | | | | | 7,5 | | | |
| Ungerissener Beton C20/25 in mit Hohlbohrer TE-CD oder TE-YD hammergebohrten Bohrlöchern | | | | | | | | | | |
| Temperaturbereich I: 24 °C / 40 °C | $\tau_{Rk,ucr}$ [N/mm ²] | - | | | | | 16,0 | | | |
| Temperaturbereich II: 50 °C / 80 °C | $\tau_{Rk,ucr}$ [N/mm ²] | - | | | | | 13,0 | | | |
| Temperaturbereich III: 72 °C / 120 °C | $\tau_{Rk,ucr}$ [N/mm ²] | - | | | | | 7,5 | | | |
| Ungerissener Beton C20/25 in diamantgebohrten Bohrlöchern | | | | | | | | | | |
| Temperaturbereich I: 24 °C / 40 °C | $\tau_{Rk,ucr}$ [N/mm ²] | - | | | | | 14,0 | | | |
| Temperaturbereich II: 50 °C / 80 °C | $\tau_{Rk,ucr}$ [N/mm ²] | - | | | | | 12,0 | | | |
| Temperaturbereich III: 72 °C / 120 °C | $\tau_{Rk,ucr}$ [N/mm ²] | - | | | | | 6,5 | | | |
| Gerissener Beton C20/25 in hammergebohrten Bohrlöchern | | | | | | | | | | |
| Temperaturbereich I: 24 °C / 40 °C | $\tau_{Rk,cr}$ [N/mm ²] | 5,0 | | | | | 8,5 | | | |
| Temperaturbereich II: 50 °C / 80 °C | $\tau_{Rk,cr}$ [N/mm ²] | 4,0 | | | | | 6,5 | | | |
| Temperaturbereich III: 72 °C / 120 °C | $\tau_{Rk,cr}$ [N/mm ²] | 2,5 | | | | | 4,0 | | | |
| Gerissener Beton C20/25 in mit Hohlbohrer TE-CD oder TE-YD hammergebohrten Bohrlöchern | | | | | | | | | | |
| Temperaturbereich I: 24 °C / 40 °C | $\tau_{Rk,cr}$ [N/mm ²] | - | | | | | 8,5 | | | |
| Temperaturbereich II: 50 °C / 80 °C | $\tau_{Rk,cr}$ [N/mm ²] | - | | | | | 6,5 | | | |
| Temperaturbereich III: 72 °C / 120 °C | $\tau_{Rk,cr}$ [N/mm ²] | - | | | | | 4,0 | | | |
| Gerissener Beton C20/25 in diamantgebohrten Bohrlöchern | | | | | | | | | | |
| Temperaturbereich I: 24 °C / 40 °C | $\tau_{Rk,cr}$ [N/mm ²] | - | | | | | 7,0 | | | |
| Temperaturbereich II: 50 °C / 80 °C | $\tau_{Rk,cr}$ [N/mm ²] | - | | | | | 6,0 | | | |
| Temperaturbereich III: 72 °C / 120 °C | $\tau_{Rk,cr}$ [N/mm ²] | - | | | | | 3,5 | | | |

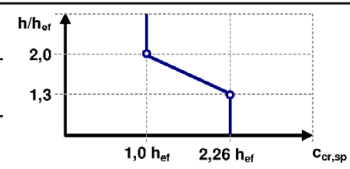
HVU2

Leistung
Wesentliche Merkmale unter Zugbeanspruchung in Beton

Anhang C2

Tabelle C1: Fortgesetzt

| HAS-U... und HAS-(E)... | | | M8 | M10 | M12 | M16 | M20 | M24 | M27 | M30 |
|---|--------------------------|----------------|----------------------|-----|-----|-----|-----|-----|-----|-----|
| Einflussfaktoren ψ auf die Verbundtragfähigkeit τ_{Rk} | | | | | | | | | | |
| Hammergebohrte Bohrlöchern und mit Hohlbohrer TE-CD oder TE-YD gebohrte Bohrlöcher | | | | | | | | | | |
| Ungerissener Beton: Einflussfaktor Betonfestigkeit | ψ_c | C30/37 | 1,08 | | | | | | | |
| | | C40/50 | 1,15 | | | | | | | |
| | | C50/60 | 1,20 | | | | | | | |
| Gerissener Beton: Einflussfaktor Betonfestigkeit | ψ_c | C30/37 | 1,04 | | | | | | | |
| | | C40/50 | 1,07 | | | | | | | |
| | | C50/60 | 1,10 | | | | | | | |
| Gerissener und ungerissener Beton: Einflussfaktor Dauerlast | ψ_{sus}^0 | 24 °C / 40 °C | 1,00 | | | | | | | |
| | | 50 °C / 80 °C | 0,73 | | | | | | | |
| | | 72 °C / 120 °C | 0,73 | | | | | | | |
| Diamantgebohrte Bohrlöcher | | | | | | | | | | |
| Ungerissener Beton: Einflussfaktor Betonfestigkeit | ψ_c | C30/37 | 1,08 | | | | | | | |
| | | C40/50 | 1,15 | | | | | | | |
| | | C50/60 | 1,20 | | | | | | | |
| Gerissener Beton: Einflussfaktor Betonfestigkeit | ψ_c | C50/60 | 1,00 | | | | | | | |
| Gerissener und ungerissener Beton: Einflussfaktor Dauerlast | ψ_{sus}^0 | 24 °C / 40 °C | 0,78 | | | | | | | |
| | | 50 °C / 80 °C | 0,71 | | | | | | | |
| | | 72 °C / 120 °C | 0,78 | | | | | | | |
| Betonausbruch | | | | | | | | | | |
| Faktor für ungerissenen Beton | $k_{ucr,N}$ | [-] | 11,0 | | | | | | | |
| Faktor für gerissenen Beton | $k_{cr,N}$ | [-] | 7,7 | | | | | | | |
| Randabstand | $c_{cr,N}$ | [mm] | $1,5 \cdot h_{ef}$ | | | | | | | |
| Achsabstand | $s_{cr,N}$ | [mm] | $3,0 \cdot h_{ef}$ | | | | | | | |
| Versagen durch Spalten | | | | | | | | | | |
| Randabstand $c_{cr,sp}$ [mm] für | $h / h_{ef} \geq 2,0$ | | $1,0 \cdot h_{ef}$ | | | | | | | |
| | $2,0 > h / h_{ef} > 1,3$ | | $4,6 h_{ef} - 1,8 h$ | | | | | | | |
| | $h / h_{ef} \leq 1,3$ | | $2,26 h_{ef}$ | | | | | | | |
| Achsabstand | $s_{cr,sp}$ | [mm] | $2 \cdot c_{cr,sp}$ | | | | | | | |



1) Sofern andere nationale Regelungen fehlen.

HVU2

Leistung
Wesentliche Merkmale unter Zugbeanspruchung in Beton

Anhang C3

Tabelle C2: Wesentliche Merkmale für die Innengewindehülse HIS-(R)N unter Zugbeanspruchung in Beton

| HIS-(R)N | | M8 | M10 | M12 | M16 | M20 | |
|--|----------------------|----------------------|------|------|------|------|------|
| Montagesicherheitsbeiwert | | | | | | | |
| Hammerbohren und Bohren mit Hohlbohrer TE-CD oder TE-YD | γ_{inst} | [-] | | | | | 1,0 |
| Diamantbohren | γ_{inst} | [-] | | | | | 1,0 |
| Stahlversagen | | | | | | | |
| Charakteristischer Stahlwiderstand HIS-N mit Schraube oder Gewindestange 8.8 | $N_{Rk,s}$ | [kN] | 25 | 46 | 67 | 125 | 116 |
| Teilsicherheitsbeiwert | $\gamma_{Ms,N}^{1)}$ | [-] | | | | | 1,50 |
| Charakteristischer Stahlwiderstand HIS-RN mit Schraube oder Gewindestange 70 | $N_{Rk,s}$ | [kN] | 26 | 41 | 59 | 110 | 166 |
| Teilsicherheitsbeiwert | $\gamma_{Ms,N}^{1)}$ | [-] | | | | | 1,87 |
| Kombiniertes Versagen durch Herausziehen und Betonausbruch | | | | | | | |
| Verankerungstiefe | h_{ef} | [mm] | 90 | 110 | 125 | 170 | 205 |
| Durchmesser des Befestigungselementes | d | [mm] | 12,5 | 16,5 | 20,5 | 25,4 | 27,6 |
| Ungerissener Beton C20/25 in hammergebohrten Bohrlöchern und in mit Hohlbohrer TE-CD oder TE-YD gebohrten Bohrlöchern | | | | | | | |
| Temperaturbereich I: 24 °C / 40 °C | $\tau_{Rk,ucr}$ | [N/mm ²] | | | | | 11,0 |
| Temperaturbereich II: 50 °C / 80 °C | $\tau_{Rk,ucr}$ | [N/mm ²] | | | | | 9,0 |
| Temperaturbereich III: 72 °C / 120 °C | $\tau_{Rk,ucr}$ | [N/mm ²] | | | | | 5,5 |
| Ungerissener Beton C20/25 in diamantgebohrten Bohrlöchern | | | | | | | |
| Temperaturbereich I: 24 °C / 40 °C | $\tau_{Rk,ucr}$ | [N/mm ²] | | | | | 11,0 |
| Temperaturbereich II: 50 °C / 80 °C | $\tau_{Rk,ucr}$ | [N/mm ²] | | | | | 9,0 |
| Temperaturbereich III: 72 °C / 120 °C | $\tau_{Rk,ucr}$ | [N/mm ²] | | | | | 5,5 |
| Gerissener Beton C20/25 in hammergebohrten Bohrlöchern und in mit Hohlbohrer TE-CD oder TE-YD gebohrten Bohrlöchern | | | | | | | |
| Temperaturbereich I: 24 °C / 40 °C | $\tau_{Rk,cr}$ | [N/mm ²] | | | | | 6,5 |
| Temperaturbereich II: 50 °C / 80 °C | $\tau_{Rk,cr}$ | [N/mm ²] | | | | | 5,0 |
| Temperaturbereich III: 72 °C / 120 °C | $\tau_{Rk,cr}$ | [N/mm ²] | | | | | 3,0 |
| gerissenem Beton C20/25 in diamantgebohrten Bohrlöchern | | | | | | | |
| Temperaturbereich I: 24 °C / 40 °C | $\tau_{Rk,cr}$ | [N/mm ²] | | | | | 4,5 |
| Temperaturbereich II: 50 °C / 80 °C | $\tau_{Rk,cr}$ | [N/mm ²] | | | | | 3,5 |
| Temperaturbereich III: 72 °C / 120 °C | $\tau_{Rk,cr}$ | [N/mm ²] | | | | | 2,5 |

HVU2

Leistung
Wesentliche Merkmale unter Zugbeanspruchung in Beton

Anhang C4

Tabelle C2: Fortgesetzt

| HIS-(R)N | | | M8 | M10 | M12 | M16 | M20 | |
|--|--------------------------|----------------|----------------------|-----|-----|-----|-----|---------------------|
| Einflußfaktoren ψ auf die Verbundtragfähigkeit τ_{Rk} | | | | | | | | |
| Hammergebohrte Bohrlöchern und mit Hohlbohrer TE-CD oder TE-YD gebohrte Bohrlöcher | | | | | | | | |
| Ungerissener Beton: Einflussfaktor Betonfestigkeit | ψ_c | C50/60 | | | | | | 1,00 |
| | | C30/37 | | | | | | 1,08 |
| Gerissener Beton: Einflussfaktor Betonfestigkeit | ψ_c | C40/50 | | | | | | 1,15 |
| | | C50/60 | | | | | | 1,20 |
| Gerissener und ungerissener Beton: Einflussfaktor Dauerlast | ψ_{sus}^0 | 24 °C / 40 °C | | | | | | 1,00 |
| | | 50 °C / 80 °C | | | | | | 0,73 |
| | | 72 °C / 120 °C | | | | | | 0,73 |
| Diamantgebohrte Bohrlöcher | | | | | | | | |
| Ungerissener Beton: Einflussfaktor Betonfestigkeit | ψ_c | C50/60 | | | | | | 1,00 |
| Gerissener Beton: Einflussfaktor Betonfestigkeit | ψ_c | C50/60 | | | | | | 1,00 |
| Gerissener und ungerissener Beton: Einflussfaktor Dauerlast | ψ_{sus}^0 | 24 °C / 40 °C | | | | | | 0,78 |
| | | 50 °C / 80 °C | | | | | | 0,71 |
| | | 72 °C / 120 °C | | | | | | 0,78 |
| Betonausbruch | | | | | | | | |
| Faktor für ungerissenen Beton | $k_{ucr,N}$ | [-] | | | | | | 11 |
| Faktor für gerissenen Beton | $k_{cr,N}$ | [-] | | | | | | 7,7 |
| Randabstand | $c_{cr,N}$ | [mm] | | | | | | $1,5 \cdot h_{ef}$ |
| Achsabstand | $s_{cr,N}$ | [mm] | | | | | | $3,0 \cdot h_{ef}$ |
| Versagen durch Spalten | | | | | | | | |
| Randabstand $c_{cr,sp}$ [mm] für | $h / h_{ef} \geq 2,0$ | | $1,0 \cdot h_{ef}$ | | | | | |
| | $2,0 > h / h_{ef} > 1,3$ | | $4,6 h_{ef} - 1,8 h$ | | | | | |
| | $h / h_{ef} \leq 1,3$ | | $2,26 h_{ef}$ | | | | | |
| Achsabstand | $s_{cr,sp}$ | [mm] | | | | | | $2 \cdot c_{cr,sp}$ |

1) Sofern andere nationale Regelungen fehlen.

HVU2

Leistung
Wesentliche Merkmale unter Zugbeanspruchung in Beton

Anhang C5

Tabelle C3: Wesentliche Merkmale für HAS-U... und HAS-(E) unter Querbeanspruchung in Beton

| HAS-U... und HAS-(E)... | | M8 | M10 | M12 | M16 | M20 | M24 | M27 | M30 |
|--|---------------------------|------------------------------|------|------|------|------|-------|-------|-------|
| Stahlversagen ohne Hebelarm | | | | | | | | | |
| HAS-(E)... | | | | | | | | | |
| Charakteristischer Stahlwiderstand HAS-(E) 5.8 | $V_{Rk,s}$ [kN] | 9,5 | 15,1 | 21,7 | 41,1 | 56,1 | 80,1 | - | - |
| Teilsicherheitsbeiwert | $\gamma_{Ms,V^{(1)}}$ [-] | 1,25 | | | | | | - | - |
| Charakteristischer Stahlwiderstand HAS-(E) 8.8 | $V_{Rk,s}$ [kN] | 13,3 | 21,1 | 30,5 | 57,7 | 89,7 | 128,2 | 173,5 | 210,7 |
| Teilsicherheitsbeiwert | $\gamma_{Ms,V^{(1)}}$ [-] | 1,25 | | | | | | | |
| Charakteristischer Stahlwiderstand HAS-R | $V_{Rk,s}$ [kN] | 11,6 | 18,5 | 26,7 | 50,5 | 78,5 | 112,2 | 108,4 | 131,7 |
| Teilsicherheitsbeiwert | $\gamma_{Ms,V^{(1)}}$ [-] | 1,40 | | | | 1,56 | | 2,38 | |
| Charakteristischer Stahlwiderstand HAS-HCR | $V_{Rk,s}$ [kN] | 13,3 | 21,1 | 30,5 | 57,7 | 89,7 | 112,2 | - | - |
| Teilsicherheitsbeiwert | $\gamma_{Ms,V^{(1)}}$ [-] | 1,25 | | | | | 1,75 | - | - |
| Duktilitätsfaktor | k_7 [-] | 1,0 | | | | | | | |
| HAS-U... | | | | | | | | | |
| Charakteristischer Stahlwiderstand | $V_{Rk,s}$ [kN] | $0,5 \cdot A_s \cdot f_{uk}$ | | | | | | | |
| Teilsicherheitsbeiwert HAS-U 5.8 | $\gamma_{Ms,V^{(1)}}$ [-] | 1,25 | | | | | | - | - |
| Teilsicherheitsbeiwert HAS-U 8.8 | $\gamma_{Ms,V^{(1)}}$ [-] | 1,25 | | | | | | | |
| Teilsicherheitsbeiwert HAS-U A4 | $\gamma_{Ms,V^{(1)}}$ [-] | 1,56 | | | | | | 2,38 | |
| Teilsicherheitsbeiwert HAS-U HCR | $\gamma_{Ms,V^{(1)}}$ [-] | 1,25 | | | | | 1,75 | - | - |
| Duktilitätsfaktor | k_7 [-] | 1,0 | | | | | | | |

HVU2

Leistung
Wesentliche Merkmale unter Querbeanspruchung in Beton

Anhang C6

Tabelle C3: Fortgesetzt

| HAS-U... und HAS-(E)... | | | M8 | M10 | M12 | M16 | M20 | M24 | M27 | M30 |
|--|----------------------|------|----------------------------------|-----|-----|-----|------|------|------|------|
| Stahlversagen mit Hebelarm | | | | | | | | | | |
| HAS-(E)... | | | | | | | | | | |
| Charakteristischer Stahlwiderstand HAS-(E) 5.8 | $M_{Rk,s}^0$ | [kN] | 18 | 37 | 64 | 167 | 284 | 486 | - | - |
| Teilsicherheitsbeiwert | $\gamma_{Ms,V}^{1)}$ | [-] | 1,25 | | | | | | - | - |
| Charakteristischer Stahlwiderstand HAS-(E) 8.8 | $M_{Rk,s}^0$ | [kN] | 26 | 53 | 90 | 234 | 455 | 777 | 1223 | 1638 |
| Teilsicherheitsbeiwert | $\gamma_{Ms,V}^{1)}$ | [-] | 1,25 | | | | | | | |
| Charakteristischer Stahlwiderstand HAS-R | $M_{Rk,s}^0$ | [kN] | 23 | 45 | 79 | 205 | 398 | 680 | 765 | 1023 |
| Teilsicherheitsbeiwert | $\gamma_{Ms,V}^{1)}$ | [-] | 1,40 | | | | 1,56 | | 2,38 | |
| Charakteristischer Stahlwiderstand HAS-HCR | $M_{Rk,s}^0$ | [kN] | 26 | 52 | 90 | 234 | 455 | 680 | - | - |
| Teilsicherheitsbeiwert | $\gamma_{Ms,V}^{1)}$ | [-] | 1,25 | | | | | 1,75 | - | - |
| Duktilitätsfaktor | k_7 | [-] | 1,0 | | | | | | | |
| HAS-U... | | | | | | | | | | |
| Biegemoment | $M_{Rk,s}^0$ | [Nm] | $1,2 \cdot W_{el} \cdot f_{uk}$ | | | | | | | |
| Duktilitätsfaktor | k_7 | [-] | 1,0 | | | | | | | |
| Betonausbruch auf der lastabgewandten Seite | | | | | | | | | | |
| Faktor | k_8 | [-] | 2,0 | | | | | | | |
| Betonkantenbruch | | | | | | | | | | |
| Wirksame Länge des Befestigungselements | l_f | [mm] | $\min(h_{ef}; 12 \cdot d_{nom})$ | | | | | | | |
| Außendurchmesser des Befestigungselementes | d_{nom} | [mm] | 8 | 10 | 12 | 16 | 20 | 24 | 27 | 30 |

¹⁾ Sofern andere nationale Regelungen fehlen.

HVU2

Leistung
Wesentliche Merkmale unter Querbeanspruchung in Beton

Anhang C7

Tabelle C4: Wesentliche Merkmale für die Innengewindehülse HIS-(R)N unter Querbeanspruchung in Beton

| HIS-(R)N | | | M8 | M10 | M12 | M16 | M20 |
|--|----------------------|------|------|------|------|------|------|
| Stahlversagen ohne Hebelarm | | | | | | | |
| Charakteristischer Stahlwiderstand HIS-N mit Schraube oder Gewindestange 8.8 | $V_{Rk,s}$ | [kN] | 13 | 23 | 34 | 63 | 58 |
| Teilsicherheitsbeiwert | $\gamma_{Ms,V}^{1)}$ | [-] | 1,25 | | | | |
| Charakteristischer Stahlwiderstand HIS-RN mit Schraube oder Gewindestange 70 | $V_{Rk,s}$ | [kN] | 13 | 20 | 30 | 55 | 83 |
| Teilsicherheitsbeiwert | $\gamma_{Ms,V}^{1)}$ | [-] | 1,56 | | | | 2,00 |
| Duktilitätsfaktor | k_7 | [-] | 1,0 | | | | |
| Stahlversagen mit Hebelarm | | | | | | | |
| Charakteristischer Stahlwiderstand HIS-N mit Schraube oder Gewindestange 8.8 | $M^0_{Rk,s}$ | [Nm] | 30 | 60 | 105 | 266 | 519 |
| Teilsicherheitsbeiwert | $\gamma_{Ms,V}^{1)}$ | [-] | 1,25 | | | | |
| Charakteristischer Stahlwiderstand HIS-RN mit Schraube oder Gewindestange 70 | $M^0_{Rk,s}$ | [Nm] | 26 | 52 | 92 | 233 | 454 |
| Teilsicherheitsbeiwert | $\gamma_{Ms,V}^{1)}$ | [-] | 1,56 | | | | |
| Duktilitätsfaktor | k_7 | [-] | 1,0 | | | | |
| Betonausbruch auf der lastabgewandten Seite | | | | | | | |
| Faktor | k_8 | [-] | 2,0 | | | | |
| Betonkantenbruch | | | | | | | |
| Wirksame Länge des Befestigungselements | l_f | [mm] | 90 | 110 | 125 | 170 | 205 |
| Außendurchmesser des Befestigungselementes | d_{nom} | [mm] | 12,5 | 16,5 | 20,5 | 25,4 | 27,6 |

¹⁾ Sofern andere nationale Regelungen fehlen.

HVU2

Leistung
Wesentliche Merkmale unter Querbeanspruchung in Beton

Anhang C8

Tabelle C5: Verschiebungen für HAS-U... und HAS-(E) unter Zugbeanspruchung ¹⁾

| HAS-U... und HAS-(E)... | | | M8 | M10 | M12 | M16 | M20 | M24 | M27 | M30 |
|---|----------------------------|---------------------------|------|-----|-----|-----|-----|-----|------|-----|
| Ungerissener Beton Temperaturbereich I bis III | | | | | | | | | | |
| Verschiebung | δ_{N0} -Faktor | [mm/(N/mm ²)] | 0,06 | | | | | | 0,15 | |
| | $\delta_{N\infty}$ -Faktor | [mm/(N/mm ²)] | 0,10 | | | | | | 0,30 | |
| Gerissener Beton Temperaturbereich I bis III | | | | | | | | | | |
| Verschiebung | δ_{N0} -Faktor | [mm/(N/mm ²)] | 0,10 | | | | | | 0,15 | |
| | $\delta_{N\infty}$ -Faktor | [mm/(N/mm ²)] | 0,14 | | | | | | 0,30 | |

¹⁾ Berechnung der Verschiebung

$$\delta_{N0} = \delta_{N0}\text{-Faktor} \cdot \tau; \quad \delta_{N\infty} = \delta_{N\infty}\text{-Faktor} \cdot \tau \quad (\tau: \text{einwirkende Verbundspannung}).$$

Tabelle C6: Verschiebungen für HAS-U... und HAS-(E) unter Querbeanspruchung ¹⁾

| HAS-U... und HAS-(E)... | | | M8 | M10 | M12 | M16 | M20 | M24 | M27 | M30 |
|-------------------------|----------------------------|---------|------|------|------|------|------|------|-----|-----|
| Verschiebung | δ_{V0} -Faktor | [mm/kN] | 0,06 | 0,06 | 0,05 | 0,04 | 0,04 | 0,03 | | |
| | $\delta_{V\infty}$ -Faktor | [mm/kN] | 0,09 | 0,08 | 0,08 | 0,06 | 0,06 | 0,05 | | |

¹⁾ Berechnung der Verschiebung

$$\delta_{V0} = \delta_{V0}\text{-Faktor} \cdot V; \quad \delta_{V\infty} = \delta_{V\infty}\text{-Faktor} \cdot V \quad (V: \text{einwirkende Querkraft}).$$

Tabelle C7: Verschiebung für Innengewindehülse HIS-(R)N unter Zugbeanspruchung ¹⁾

| HIS-(R)N | | | M8 | M10 | M12 | M16 | M20 | |
|---|----------------------------|---------------------------|------|-----|-----|-----|------|--|
| Ungerissener Beton Temperaturbereich I bis III | | | | | | | | |
| Verschiebung | δ_{N0} -Faktor | [mm/(N/mm ²)] | 0,05 | | | | 0,15 | |
| | $\delta_{N\infty}$ -Faktor | [mm/(N/mm ²)] | 0,10 | | | | 0,15 | |
| Gerissener Beton Temperaturbereich I bis III | | | | | | | | |
| Verschiebung | δ_{N0} -Faktor | [mm/(N/mm ²)] | 0,13 | | | | 0,20 | |
| | $\delta_{N\infty}$ -Faktor | [mm/(N/mm ²)] | 0,15 | | | | 0,20 | |

¹⁾ Berechnung der Verschiebung

$$\delta_{N0} = \delta_{N0}\text{-Faktor} \cdot \tau; \quad \delta_{N\infty} = \delta_{N\infty}\text{-Faktor} \cdot \tau \quad (\tau: \text{einwirkende Verbundspannung}).$$

Tabelle C8: Verschiebung für Innengewindehülse HIS-(R)N unter Querbeanspruchung ¹⁾

| HIS-(R)N | | | M8 | M10 | M12 | M16 | M20 |
|--------------|----------------------------|---------|------|------|------|------|------|
| Verschiebung | δ_{V0} -Faktor | [mm/kN] | 0,06 | 0,06 | 0,05 | 0,04 | 0,04 |
| | $\delta_{V\infty}$ -Faktor | [mm/kN] | 0,09 | 0,08 | 0,08 | 0,06 | 0,06 |

¹⁾ Berechnung der Verschiebung

$$\delta_{V0} = \delta_{V0}\text{-Faktor} \cdot V; \quad \delta_{V\infty} = \delta_{V\infty}\text{-Faktor} \cdot V \quad (V: \text{einwirkende Querkraft}).$$

HVU2

Leistung
Verschiebungen

Anhang C9

Tabelle C9: Wesentliche Merkmale für HAS-U... und HAS-(E) unter Zugbeanspruchung bei Erdbebenbeanspruchung, Leistungskategorie C1

| HAS-U... und HAS-(E)... | | M10 | M12 | M16 | M20 | M24 | M27 | M30 |
|--|---------------------------------------|-----|-----|-----|-----|-----|-----|-----|
| Stahlversagen | | | | | | | | |
| HAS-U (HDG) 5.8, HAS-(E)-(F) 5.8 | $N_{Rk,s,seis}$ [kN] | 29 | 42 | 79 | 123 | 177 | - | - |
| HAS-U (HDG) 8.8, HAS-(E)-(F) 8.8 | $N_{Rk,s,seis}$ [kN] | 46 | 67 | 126 | 196 | 282 | 367 | 449 |
| HAS-U A4, HAS-R | $N_{Rk,s,seis}$ [kN] | 41 | 59 | 110 | 172 | 247 | 230 | 281 |
| HAS-U HCR, HAS-HCR | $N_{Rk,s,seis}$ [kN] | 46 | 67 | 126 | 196 | 247 | - | - |
| Kombiniertes Versagen durch Herausziehen und Betonausbruch in gerissenem Beton C20/25 | | | | | | | | |
| Hammergebohrten Bohrlöchern | | | | | | | | |
| Temperaturbereich I: 24 °C / 40 °C | $\tau_{Rk,seis}$ [N/mm ²] | 8,5 | 8,5 | 8,3 | 6,9 | 8,1 | 6,5 | 7,6 |
| Temperaturbereich II: 50 °C / 80 °C | $\tau_{Rk,seis}$ [N/mm ²] | 6,5 | 6,5 | 6,4 | 5,3 | 6,2 | 5,0 | 5,8 |
| Temperaturbereich III: 72 °C / 120 °C | $\tau_{Rk,seis}$ [N/mm ²] | 4,0 | 4,0 | 3,9 | 3,3 | 3,8 | 3,1 | 3,6 |
| Hammergebohrten Bohrlöchern mit Hohlbohrer TE-CD oder TE-YD | | | | | | | | |
| Temperaturbereich I: 24 °C / 40 °C | $\tau_{Rk,seis}$ [N/mm ²] | - | 8,5 | 8,3 | 6,9 | 8,1 | 6,5 | 7,6 |
| Temperaturbereich II: 50 °C / 80 °C | $\tau_{Rk,seis}$ [N/mm ²] | - | 6,5 | 6,4 | 5,3 | 6,2 | 5,0 | 5,8 |
| Temperaturbereich III: 72 °C / 120 °C | $\tau_{Rk,seis}$ [N/mm ²] | - | 4,0 | 3,9 | 3,3 | 3,8 | 3,1 | 3,6 |
| Diamantgebohrten Bohrlöchern | | | | | | | | |
| Temperaturbereich I: 24 °C / 40 °C | $\tau_{Rk,seis}$ [N/mm ²] | 7,0 | 7,0 | 7,0 | 7,0 | 7,0 | 7,0 | 7,0 |
| Temperaturbereich II: 50 °C / 80 °C | $\tau_{Rk,seis}$ [N/mm ²] | 6,5 | 6,5 | 6,5 | 6,5 | 6,5 | 6,5 | 6,5 |
| Temperaturbereich III: 72 °C / 120 °C | $\tau_{Rk,seis}$ [N/mm ²] | 4,0 | 4,0 | 4,0 | 4,0 | 4,0 | 4,0 | 4,0 |

Tabelle C10: Wesentliche Merkmale für HAS-U... und HAS-(E) unter Querbeanspruchung bei Erdbebenbeanspruchung, Leistungskategorie C1

| HAS-U... und HAS-(E)... | | M10 | M12 | M16 | M20 | M24 | M27 | M30 |
|------------------------------------|----------------------|-----|-----|-----|-----|-----|-----|-----|
| Stahlversagen ohne Hebelarm | | | | | | | | |
| HAS-U (HDG) 5.8, HAS-(E)-(F) 5.8 | $V_{Rk,s,seis}$ [kN] | 11 | 15 | 27 | 43 | 62 | - | - |
| HAS-U (HDG) 8.8, HAS-(E)-(F) 8.8 | $V_{Rk,s,seis}$ [kN] | 16 | 24 | 44 | 69 | 99 | 129 | 157 |
| HAS-U A4, HAS-R | $V_{Rk,s,seis}$ [kN] | 14 | 21 | 39 | 60 | 87 | 81 | 98 |
| HAS-U HCR, HAS-HCR | $V_{Rk,s,seis}$ [kN] | 16 | 24 | 44 | 69 | 87 | - | - |

HVU2

Leistung

Wesentliche Merkmale bei Erdbebenbeanspruchung, Leistungskategorie C1

Anhang C10

Tabelle C11: Wesentliche Merkmale für HAS-U... und HAS-(E) unter Zugbeanspruchung bei Erdbebenbeanspruchung, Leistungskategorie C2

| HAS-U... und HAS-(E)... | | M16 | M20 |
|--|---------------------------------------|-----|-----|
| Stahlversagen | | | |
| HAS-U (HDG) 8.8, HAS-(E)-(F) 8.8 | $N_{Rk,s,seis}$ [kN] | 126 | 196 |
| Kombiniertes Versagen durch Herausziehen und Betonausbruch in gerissenem Beton C20/25 in hammergebohrten Bohrlöchern und in mit Hohlbohrer TE-CD oder TE-YD gebohrten Bohrlöchern | | | |
| Temperaturbereich I: 24 °C / 40 °C | $\tau_{Rk,seis}$ [N/mm ²] | 2,9 | 2,6 |
| Temperaturbereich II: 50 °C / 80 °C | $\tau_{Rk,seis}$ [N/mm ²] | 2,3 | 2,1 |
| Temperaturbereich III: 72 °C / 120 °C | $\tau_{Rk,seis}$ [N/mm ²] | 1,4 | 1,3 |

Tabelle C12: Wesentliche Merkmale für HAS-U... und HAS-(E) unter Querbeanspruchung bei Erdbebenbeanspruchung, Leistungskategorie C2

| HAS-U... und HAS-(E)... | | M16 | M20 |
|------------------------------------|----------------------|-----|-----|
| Stahlversagen ohne Hebelarm | | | |
| HAS-U 8.8, HAS-(E) 8.8 | $V_{Rk,s,seis}$ [kN] | 40 | 71 |
| HAS-U HDG 8.8, HAS-F 8.8 | $V_{Rk,s,seis}$ [kN] | 30 | 46 |

Tabelle C13: Verschiebung unter Zugbeanspruchung bei Erdbebenbeanspruchung, Leistungskategorie C2

| HAS-U... und HAS-(E)... | | M16 | M20 |
|-------------------------|-----------------------------|-----|-----|
| Verschiebung DLS | $\delta_{N,seis(DLS)}$ [mm] | 0,2 | 0,2 |
| Verschiebung ULS | $\delta_{N,seis(ULS)}$ [mm] | 0,4 | 0,5 |

Tabelle C14: Verschiebung unter Querbeanspruchung bei Erdbebenbeanspruchung, Leistungskategorie C2

| HAS-U... und HAS-(E)... | | M16 | M20 |
|--|-----------------------------|-----|-----|
| Verschiebung DLS HAS-U 8.8, HAS-(E) 8.8 | $\delta_{V,seis(DLS)}$ [mm] | 3,2 | 2,5 |
| Verschiebung DLS HAS-U HDG 8.8, HAS-F 8.8 | $\delta_{V,seis(DLS)}$ [mm] | 2,3 | 3,8 |
| Verschiebung ULS HAS-U 8.8, HAS-(E) 8.8 | $\delta_{V,seis(ULS)}$ [mm] | 9,2 | 7,1 |
| Verschiebung ULS HAS-U HDG 8.8, HAS-F 8.8 | $\delta_{V,seis(ULS)}$ [mm] | 4,3 | 9,1 |

HVU2

Leistung

Wesentliche Merkmale bei Erdbebenbeanspruchung, Leistungskategorie C2
Verschiebungen

Anhang C11

Évaluation Technique

ETA-16/0515
du 13 novembre 2019

Traduction en français par Hilti - Version originale en allemand

Partie générale

Organisme d'évaluation technique ayant
délivré l'Évaluation Technique Européenne :

Deutsches Institut für Bautechnik

Nom commercial du produit de construction

HVU2

Famille de produit
à laquelle appartient le produit de construction

Cheville à scellement pour béton

Fabricant

Hilti AG Liechtenstein
Feldkircherstraße 100
9494 Schaan
PRINCIPAUTÉ DU LIECHTENSTEIN

Usine de fabrication

Hilti Corporation

Cette Évaluation Technique Européenne
comprend

27 pages incluant 3 annexes qui font partie intégrante de
cette évaluation

Cette Évaluation Technique Européenne est
délivrée conformément au règlement (UE)
n° 305/2011, sur la base du

DEE 330499-01-0601

Cette version remplace

ETE-16/0515 publiée le 17 juin 2019

L'Évaluation Technique Européenne est délivrée par l'organisme d'évaluation technique dans sa langue officielle. Les traductions de cette Évaluation Technique Européenne dans d'autres langues doivent correspondre entièrement au document d'origine délivré et doivent être identifiées comme telles.

Cette Évaluation Technique Européenne doit être communiquée dans son intégralité, y compris par voie électronique. Toutefois, une reproduction partielle peut être autorisée moyennant l'accord écrit de l'organisme d'évaluation technique ayant délivré le document. Toute reproduction partielle doit être identifiée comme telle.

La présente Évaluation Technique Européenne peut être retirée par l'Organisme d'évaluation technique l'ayant délivrée, notamment en application des informations de la Commission, conformément à l'article 25, paragraphe 3, du règlement (UE) n° 305/2011.

Partie spécifique

1 Description technique du produit

La HVU2 est une cheville à scellement constituée d'une capsule de résine Hilti HVU2 et d'un élément en acier. L'élément en acier se présente sous la forme

- d'une tige d'ancrage Hilti HAS-U ou Hilti HAS-(E) avec rondelle et écrou hexagonal de tailles M8 à M30 ou
- d'une douille à filetage intérieur HIS-(R)N de tailles M8 à M20.

La capsule de résine est placée dans le trou et l'élément en acier est enfoncé à la machine comme spécifié à l'annexe B7.

La tige de la cheville est ancrée sous l'effet de la liaison entre l'élément en acier, la résine chimique et le béton.

La description du produit est donnée à l'annexe A.

2 Spécification de l'usage prévu conformément au Document d'Évaluation Européen applicable

Les performances indiquées à la section 3 ne sont valables que si la cheville est utilisée conformément aux spécifications et conditions précisées à l'annexe B.

Les vérifications et méthodes d'évaluation sur lesquelles se fonde la présente Évaluation Technique Européenne reposent sur l'hypothèse que la durée de vie de la cheville pour l'utilisation prévue est d'au moins 50 ans. Les indications relatives à la durée de vie ne doivent pas être interprétées comme une garantie donnée par le fabricant, et ne doivent être considérées que comme un moyen pour choisir le produit qui convient à la durée de vie économiquement raisonnable attendue des ouvrages.

3 Performances du produit et références aux méthodes utilisées pour cette évaluation

3.1 Résistance mécanique et stabilité (BWR 1)

| Caractéristique essentielle | Performances |
|---|--------------------------|
| Résistance caractéristique pour charge de traction statique et quasi statique | Voir les annexes C1 à C5 |
| Résistance caractéristique pour charge de cisaillement statique et quasi statique | Voir les annexes C6 à C8 |
| Déplacements pour charges statiques et quasi statiques | Voir l'annexe C9 |
| Résistance caractéristique pour les catégories de performances sismiques C1 et C2 | Voir l'annexe C10 et C11 |
| Durabilité | Voir annexe B2 |

3.2 Hygiène, santé et environnement (BWR 3)

| Caractéristique essentielle | Performances |
|---|----------------------------|
| Teneur, émission et/ou libération de substances dangereuses | Aucune performance évaluée |

4 Système d'évaluation et de vérification de la constance des performances (EVCP) appliqué, avec référence à sa base juridique

Conformément au DEE 330499-01-0601, la base juridique européenne applicable est la décision [96/582/CE].

Le système à appliquer est : 1

5 Détails techniques nécessaires pour la mise en œuvre du système d'évaluation et de vérification de la constance des performances, selon le DEE applicable

Les détails techniques nécessaires à la mise en œuvre du système EVCP sont donnés dans le plan de contrôle déposé auprès du Deutsches Institut für Bautechnik.

Délivré à Berlin le lundi 17 juin 2019 par le Deutsches Institut für Bautechnik.

BD Dipl.-Ing. Andreas Kummerow
Chef du département

p/o :
Lange

Traduction en français par Hilti

Produit posé

Figure A1 :
HAS-U-... et HAS-(E)...

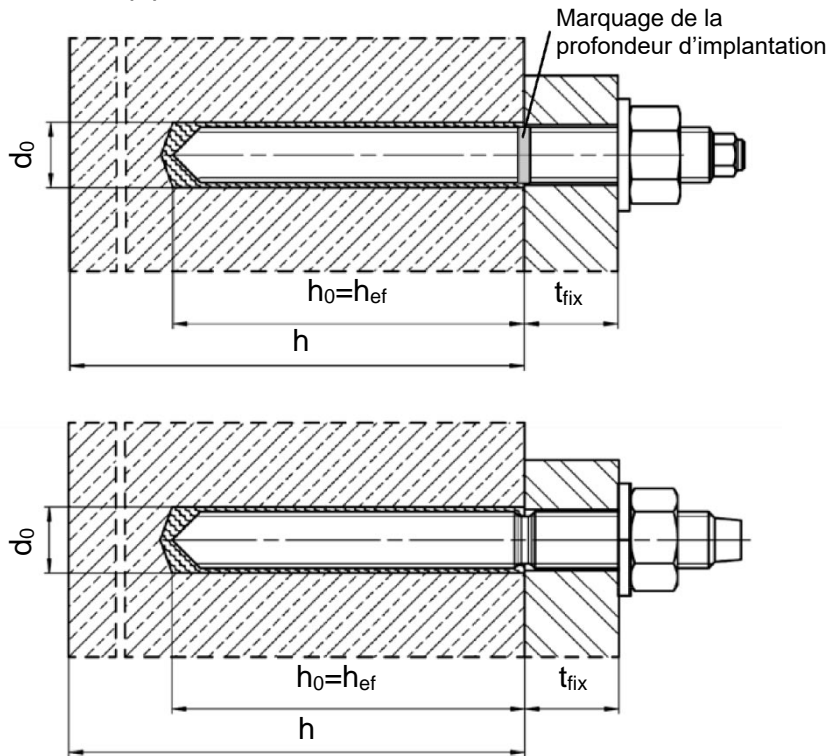
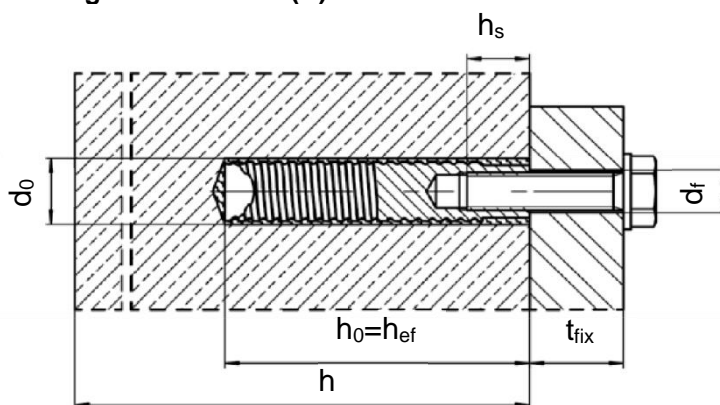


Figure A2 :
Douille à filetage intérieur HIS-(R)N



HVU2

Description du produit
Produit posé

Annexe A1

Traduction en français par Hilti

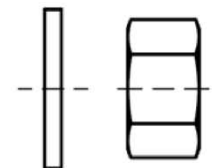
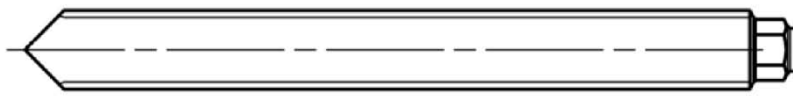
Description du produit : Capsule de résine et éléments en acier

Capsule de cheville chimique HVU2 M8 à M30 : résine et durcisseur avec agrégats

Marquage :
HVU2 M ...
Date d'expiration mm/aaaa

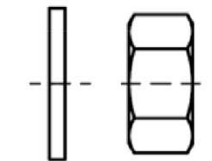
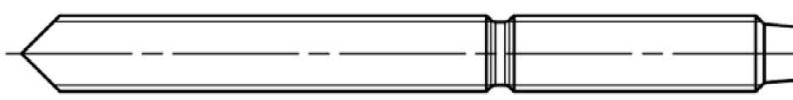


Éléments en acier



HAS-U-... : M8 à M30

rondelle écrou



HAS-(E)... : M8 à M30

rondelle écrou



Douille à filetage intérieur HIS-(R)N : M8 à M20

Dimensions conformes à l'annexe B4.

HVU2

Description du produit
Capsule de cheville chimique / Éléments en acier

Annexe A2

Tableau A1 : Matériaux

| Dénomination | Matériau |
|--|---|
| Parties métalliques en acier zingué | |
| HAS-(E) | M8 à M16 : Classe de résistance 5.8, $f_{uk} = 570 \text{ N/mm}^2$, $f_{yk} = 456 \text{ N/mm}^2$. M20 et M24 : Classe de résistance 5.8, $f_{uk} = 500 \text{ N/mm}^2$, $f_{yk} = 400 \text{ N/mm}^2$. Allongement à la rupture ($l_0 = 5d$) > 8 % ductile. M8 à M30 : Classe de résistance 8.8, $f_{uk} = 800 \text{ N/mm}^2$, $f_{yk} = 640 \text{ N/mm}^2$. Allongement à la rupture ($l_0 = 5d$) > 12% ductile. Revêtement zinc électrolytique $\geq 5 \mu\text{m}$, (F) galvanisé à chaud $\geq 45 \mu\text{m}$. |
| HAS-U-... | M8 à M24 : Classe de résistance 5.8, $f_{uk} = 500 \text{ N/mm}^2$, $f_{yk} = 400 \text{ N/mm}^2$. Allongement à la rupture ($l_0 = 5d$) > 8 % ductile. M8 à M30 : Classe de résistance 8.8, $f_{uk} = 800 \text{ N/mm}^2$, $f_{yk} = 640 \text{ N/mm}^2$. Allongement à la rupture ($l_0 = 5d$) > 12% ductile. Revêtement zinc électrolytique $\geq 5 \mu\text{m}$, (F) galvanisé à chaud $\geq 45 \mu\text{m}$. |
| Douille à filetage intérieur HIS-N | Acier électrozingué $\geq 5 \mu\text{m}$. |
| Rondelle | Revêtement zinc électrolytique $\geq 5 \mu\text{m}$, galvanisé à chaud $\geq 45 \mu\text{m}$. |
| Écrou | Classe de résistance de l'écrou adaptée à la classe de résistance de la tige filetée Revêtement zinc électrolytique $\geq 5 \mu\text{m}$, galvanisé à chaud $\geq 45 \mu\text{m}$. |
| Parties métalliques en acier inoxydable Resistance à la corrosion de classe III selon EN 1993-1-4 :2006+A1 :2015-06 | |
| HAS-(E)R | M8 à M16 : Classe de résistance 70, $f_{uk} = 700 \text{ N/mm}^2$, $f_{yk} = 500 \text{ N/mm}^2$. M20 et M24 : Classe de résistance 70, $f_{uk} = 700 \text{ N/mm}^2$, $f_{yk} = 450 \text{ N/mm}^2$. M27 et M30 : Classe de résistance 70, $f_{uk} = 500 \text{ N/mm}^2$, $f_{yk} = 210 \text{ N/mm}^2$. Allongement à la rupture ($l_0 = 5d$) > 8 % ductile. |
| HAS-U-R | M8 à M24 : Classe de résistance 70, $f_{uk} = 700 \text{ N/mm}^2$, $f_{yk} = 450 \text{ N/mm}^2$. M27 et M30 : Classe de résistance 70, $f_{uk} = 500 \text{ N/mm}^2$, $f_{yk} = 210 \text{ N/mm}^2$. Allongement à la rupture ($l_0 = 5d$) > 8 % ductile. |
| Douille à filetage intérieur HIS-RN | Acier inoxydable 1.4401, 1.4571 selon EN 10088-1 :2014 |
| Rondelle | Acier inoxydable 1.4401, 1.4404, 1.4578, 1.4571, 1.4439, 1.4362 selon EN 10088-1 :2014 |
| Écrou | M8 à M24 : Classe de résistance 70, $f_{uk} = 700 \text{ N/mm}^2$, $f_{yk} = 450 \text{ N/mm}^2$. M27 et M30 : Classe de résistance 50, $f_{uk} = 500 \text{ N/mm}^2$, $f_{yk} = 210 \text{ N/mm}^2$. Acier inoxydable 1.4401, 1.4404, 1.4578, 1.4571, 1.4439 et 1.4362 selon EN 10088-1 :2014 |
| Parties métalliques en acier à haute résistance à la corrosion | |
| HAS-(E)HCR HAS-U-HCR | M8 à M20 : $f_{uk} = 800 \text{ N/mm}^2$, $f_{yk} = 640 \text{ N/mm}^2$. M24 : $f_{uk} = 700 \text{ N/mm}^2$, $f_{yk} = 400 \text{ N/mm}^2$. Allongement à la rupture ($l_0 = 5d$) > 8 % ductile. |
| Rondelle | Acier à haute résistance à la corrosion 1.4529, 1.4565 selon EN 10088-1:2014. |
| Écrou | M8 à M20 : $f_{uk} = 800 \text{ N/mm}^2$, $f_{yk} = 640 \text{ N/mm}^2$. M24 : $f_{uk} = 700 \text{ N/mm}^2$, $f_{yk} = 400 \text{ N/mm}^2$. Acier à haute résistance à la corrosion 1.4529, 1.4565 selon EN 10088-1:2014. |

HVU2

Description du produit
Matériaux

Annexe A3

Spécification de l'usage prévu

Ancrages soumis à :

- Charge statique et quasi statique.
- Catégorie de performances sismiques C1. HAS-U-... et HAS-(E)... dimensions M10 à M30.
- Catégorie de performances sismiques C2. HAS-U-... et HAS-(E)... dimensions M16 à M20.

Matériau de support :

- Béton armé ou non armé de poids normal sans fibres selon la norme EN 206:2013 + A1:2016
- Classes de résistance C20/25 à C50/60 selon la norme EN 206:2013+A12016
- Béton fissuré et non fissuré.

Température du matériau de support :

- **À la pose**
-10 °C à +40 °C
Pour la variation standard de température et la variation rapide de température après la pose.
- **En service**
Plage de températures I : -40 °C à +40 °C
(température max. à long terme de +24 °C et température max. à court terme de +40 °C)
Plage de températures II : -40 °C à +80 °C
(température max. à long terme de +50 °C et température max. à court terme de +80 °C)
Plage de températures III : -40 °C à +120 °C
(température max. à long terme de +72 °C et température max. à court terme de +120 °C)

Tableau B1 : Spécification de l'usage prévu

| Élément | Capsule souple HVU2 avec... | |
|--|--|---|
| | HAS-U-..., HAS-(E)...  | HIS-(R)N  |
| Perçage à percussion avec mèche creuse TE-CD ou TE-YD  | M10 à M30 | M8 à M20 |
| Perçage à percussion  | M8 à M30 | M8 à M20 |
| Forage au diamant  | M10 à M30 | M8 à M20 |

HVU2

Usage prévu
Spécifications

Annexe B1

Traduction en français par Hilti

Conditions d'utilisation (conditions environnementales) :

- Structures soumises à des conditions internes sèches (acier zingué, acier inoxydable ou acier à haute résistance à la corrosion)
Toutes les autres conditions selon EN 1993-1-4 :2006+A1 :2015-06 correspondant aux classes de résistance la corrosion du tableau A1 annexe A4 (acier inoxydable).

Conception :

- Les ancrages sont conçus sous la responsabilité d'un ingénieur expérimenté en ancrages et ouvrages en béton.
- Des plans et des notes de calcul vérifiables sont préparés en tenant compte des charges à ancrer. La position de la cheville est indiquée sur les plans (position de la cheville par rapport aux renforts ou aux supports, etc.).
- Les ancrages sont conçus conformément :
à la norme EN 1992-4:2018 et au Rapport technique de l'EOTA TR 055.

Pose :

- État du béton I1 :
Implantation dans du béton sec ou humide (saturé d'eau) et utilisation en service dans du béton sec ou humide
- Technique de perçage : perçage à percussion, forage au diamant (p. ex. Hilti DD 30-W ou autres machines Hilti DD), perçage à percussion avec mèche creuse TE-CD, TE-YD
- Sens d'implantation :
D2 implantation vers le bas et à l'horizontale pour HVU2 M8 à M30.
D3 implantation vers le bas et à l'horizontale et vers le haut (ex. : en hauteur) pour HVU2 M8 à M24.
- La pose de la cheville est réalisée par du personnel dûment qualifié, sous la supervision du responsable technique du chantier.

HVU2

Usage prévu
Spécifications

Annexe B2

Tableau B2 : Paramètres de pose de HAS-U-... et HAS-(E)...

| HAS-U-... et HAS-(E)... | | | M8 | M10 | M12 | M16 | M20 | M24 | M27 | M30 |
|--|---------------------|------|------|--------|--------|--------|--------|--------|--------|--------|
| Capsule souple HVU2 M... | h_{ef1} | [mm] | 8x80 | 10x90 | 12x110 | 16x125 | 20x170 | 24x210 | 27x240 | 30x270 |
| | h_{ef2} | [mm] | - | 10x135 | 12x165 | 16x190 | - | - | - | - |
| Diamètre de la fixation | $d = d_{nom}$ | [mm] | 8 | 10 | 12 | 16 | 20 | 24 | 27 | 30 |
| Diamètre nominal de la mèche | d_0 | [mm] | 10 | 12 | 14 | 18 | 22 | 28 | 30 | 35 |
| Profondeur d'implantation effective et profondeur de perçage | $h_{ef1} = h_{0,1}$ | [mm] | 80 | 90 | 110 | 125 | 170 | 210 | 240 | 270 |
| | $h_{ef2} = h_{0,2}$ | [mm] | - | 135 | 165 | 190 | - | - | - | - |
| Diamètre maximum du trou de passage dans la pièce à fixer | d_f | [mm] | 9 | 12 | 14 | 18 | 22 | 26 | 30 | 33 |
| Épaisseur minimale du béton | h_{min1} | [mm] | 110 | 120 | 140 | 160 | 220 | 270 | 300 | 340 |
| | h_{min2} | [mm] | - | 165 | 195 | 230 | - | - | - | - |
| Couple de serrage maximum | $\max T_{fix}$ | [Nm] | 10 | 20 | 40 | 80 | 150 | 200 | 270 | 300 |
| Entraxe minimum | s_{min} | [mm] | 40 | 50 | 60 | 75 | 90 | 115 | 120 | 140 |
| Distance au bord minimum | c_{min} | [mm] | 40 | 45 | 45 | 50 | 55 | 60 | 75 | 80 |

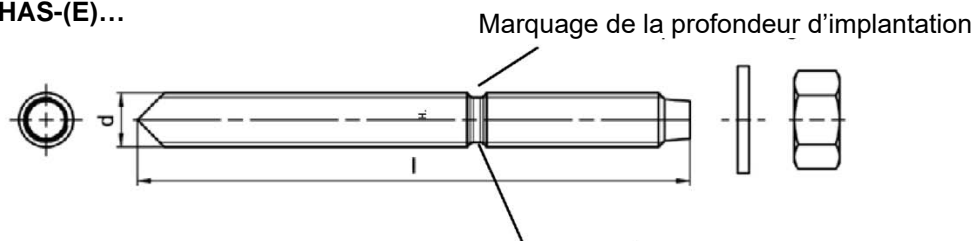
HAS-U-...



Marquage :

Numéro de la nuance d'acier et lettre d'identification de la longueur : ex. : 8L

HAS-(E)...



Marquage :

repère d'identification - H, gravure « 1 » HAS-(E)
 repère d'identification - H, gravure « = » HAS-(E)R
 repère d'identification - H, gravure « CR » HAS-(E)HCR

HVU2

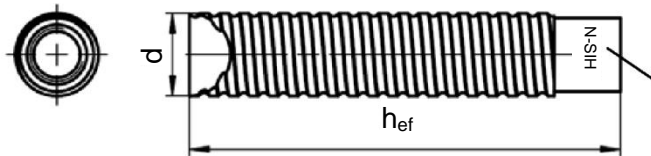
Usage prévu
Paramètres de pose

Annexe B3

Tableau B3 : Paramètres de pose de la douille à filetage intérieur HIS-(R)N

| Douille à filetage intérieur HIS-(R)N | | M8 | M10 | M12 | M16 | M20 |
|---|------|--------------|---------------|---------------|---------------|---------------|
| Capsule souple HVU2 M... | | 10x90 | 12x110 | 16x125 | 20x170 | 24x210 |
| Diamètre extérieur de la douille $d = d_{nom}$ | [mm] | 12,5 | 16,5 | 20,5 | 25,4 | 27,8 |
| Diamètre nominal de la mèche d_0 | [mm] | 14 | 18 | 22 | 28 | 32 |
| Profondeur d'implantation effective et profondeur de perçage $h_{ef} = h_0$ | [mm] | 90 | 110 | 125 | 170 | 205 |
| Diamètre maximum du trou de passage dans la pièce à fixer d_f | [mm] | 9 | 12 | 14 | 18 | 22 |
| Épaisseur minimale du béton h_{min} | [mm] | 120 | 150 | 170 | 230 | 270 |
| Couple de serrage maximum T_{max} | [Nm] | 10 | 20 | 40 | 80 | 150 |
| Longueur min-max d'engagement du filetage h_s | [mm] | 8-20 | 10-25 | 12-30 | 16-40 | 20-50 |
| Entraxe minimum s_{min} | [mm] | 60 | 75 | 90 | 115 | 130 |
| Distance au bord minimum c_{min} | [mm] | 40 | 45 | 55 | 65 | 90 |

Douille à filetage intérieur HIS-(R)N...



Marquage :
Repère d'identification - HILTI et gravure « HIS-N » (pour l'acier zingué)
gravure « HIS-RN » (pour l'acier inoxydable)

Tableau B4 : Temps de durcissement minimum

| Température du matériau de support T | Temps de durcissement minimum t_{cure} |
|--------------------------------------|--|
| -10 °C à -6 °C | 5 heures |
| -5 °C à -1 °C | 3 heures |
| 0 °C à 4 °C | 40 min |
| 5 °C à 9 °C | 20 min |
| 10 °C à 19 °C | 10 min |
| 20 °C à 40 °C | 5 min |

HVU2

Usage prévu
Paramètres de pose et temps de durcissement minimum

Annexe B4

Tableau B5 : Paramètres des outils de perçage et de nettoyage

| Élément | | Perçage et nettoyage | | | |
|---|---|---|---|---|---|
| HAS-U-... HAS-(E)... | HIS-(R)N | Perçage à percussion | | Forage au diamant | Brosse |
| | | | Mèche creuse TE-YD, TE-YD | | |
|  |  |  |  |  |  |
| Taille | Nom | d ₀ [mm] | d ₀ [mm] | d ₀ [mm] | HIT-RB |
| M8 | - | 10 | - | - | - |
| M10 | - | 12 | 12 | 12 | 12 |
| M12 | M8 | 14 | 14 | 14 | 14 |
| M16 | M10 | 18 | 18 | 18 | 18 |
| M20 | M12 | 22 | 22 | 22 | 22 |
| M24 | M16 | 28 | 28 | 28 | 28 |
| M27 | - | 30 | - | 30 | 30 |
| - | M20 | 32 | 32 | 32 | 32 |
| M30 | - | 35 | 35 | 35 | 35 |

Solutions de nettoyage

Nettoyage manuel (MC) :

Pompe à main Hilti pour le nettoyage des trous de perçage de diamètre $d_0 \leq 18$ mm et de profondeur de perçage $h_0 \leq 10$ d.



Nettoyage à air comprimé (CAC) :

Buse d'air avec une ouverture de l'orifice de minimum 3,5 mm de diamètre



Nettoyage automatique (AC) :

Le nettoyage est réalisé pendant le perçage avec le système de perçage Hilti TE-CD et TE-YD à aspiration intégrée.



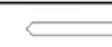
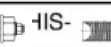
HVU2

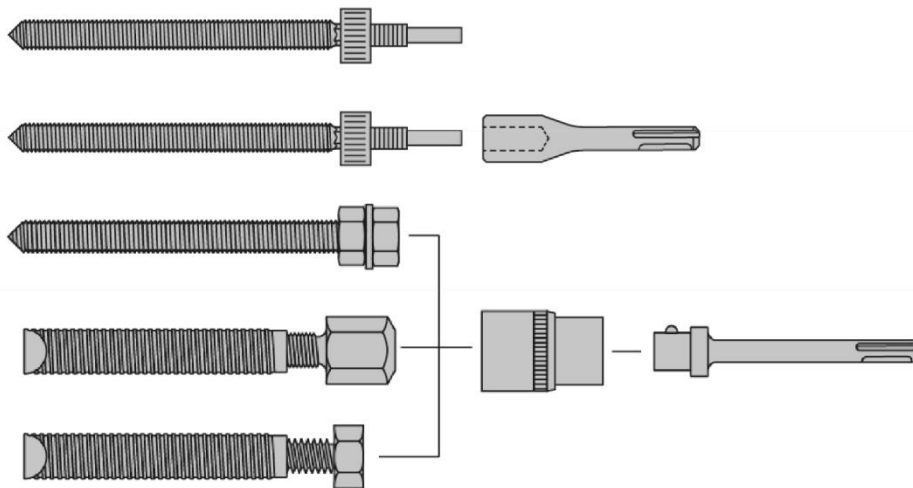
Usage prévu
Outils de nettoyage

Annexe B5

Traduction en français par Hilti

Tableau B6 : Paramètres des outils de pose HAS-U-..., HAS-(E)... et HIS-(R)N

|  | HIS-  | 2 | TE(A) | SID 4-A22 | SIW 22T-A | SF(H) | RPM |
|---|---|---------|---|---|---|--|------------|
| | | |  |  |  |  or  | |
| M8 | - | M8x80 | 1...7 | + | + | 2, 6, 8, 10, 14, 22 | 450...1300 |
| M10 | M8 | M10x90 | 1...7 | + | + | 6, 8, 10, 14, 22 | 450...1300 |
| M10 | - | M10x135 | 1...40 | - | - | 6, 8, 10, 14, 22 | 450...1300 |
| M12 | M10 | M12x110 | 1...40 | + | + | 6, 8, 10, 14, 22 | 450...1300 |
| M12 | - | M12x165 | 1...40 | - | - | 6, 8, 10, 14, 22 | 450...1300 |
| M16 | M12 | M16x125 | 1...40 | + | - | 6, 8, 10, 14, 22 | 450...1300 |
| M16 | - | M16x190 | 50...80 | - | - | - | - |
| M20 | - | M20x170 | 50...60 | - | - | - | - |
| - | M16 | M20x170 | 40...80 | - | - | - | - |
| M24 | - | M24x210 | 50...80 | - | - | - | - |
| - | M20 | M24x210 | 40...80 | - | - | - | - |
| M27 | - | M27x240 | 60...80 | - | - | - | - |
| M30 | - | M30x270 | 60...80 | - | - | - | - |



| Outil de pose | | Code article | TE (A) 1...40 | TE 50...80 | SF (H) | SID 4-A22 | HIS-S  |
|-------------------|---|---------------|------------------|------------|--------|-----------|--|
| - |  | - | - | - | + | - | - |
| TE-C HVU2 |  | # 2181356 | + | - | - | - | - |
| TE-Y HVU2 |  | # 2230162...5 | - | + | - | - | - |
| TE-C 1/2" |  | # 32220 | + | - | - | - | + |
| TE-Y 3/4" |  | # 32221 | - | + | - | - | + |
| SI-SA 1/4" - 1/2" |  | # 2077174 | - | - | + | + | + |
| SI-SA 7/16" |  | # 2134075 | - | - | + | - | + |

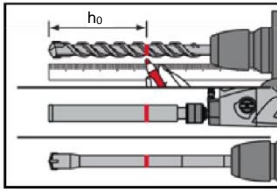
HVU2

Usage prévu
Outils de pose

Annexe B6

Instructions de pose

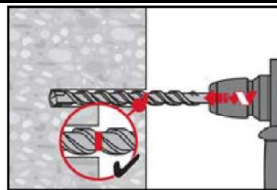
Perçage du trou



Marquez la profondeur de perçage souhaitée h_0 sur la mèche ou la couronne

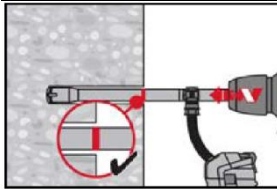
a) Perçage à percussion :

Pour béton sec ou humide.



Percez le trou à la profondeur d'implantation souhaitée, à l'aide d'un perforateur à percussion en mode rotatif et d'une mèche carbure de taille appropriée.

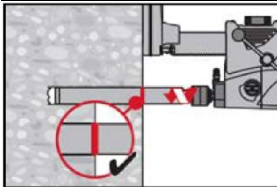
b) Perçage à percussion avec mèche creuse Hilti : Pour béton sec ou humide.



Percez le trou à la profondeur d'implantation souhaitée, à l'aide d'une mèche creuse Hilti TE-CD ou TE-YD de taille appropriée fixée à un aspirateur Hilti. Ce système de perçage élimine la poussière et nettoie le trou lors du perçage lorsqu'il est utilisé conformément au mode d'emploi. Au terme du perçage, passez à l'étape de mise en place de l'élément des instructions de pose.

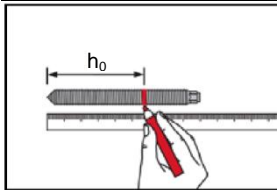
c) Forage au diamant

Pour béton sec ou humide.

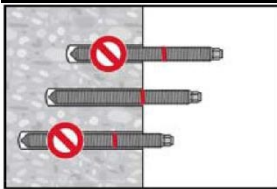


Le forage au diamant est admissible lorsque des machines de forage au diamant appropriées et les couronnes correspondantes sont utilisées.

Vérification de la profondeur d'implantation



Marquez la profondeur de pose souhaitée sur la fixation (voir tableau B3).



Vérifiez la profondeur d'implantation à l'aide de l'élément marqué. L'élément doit s'enfoncer dans le trou jusqu'à la profondeur d'implantation requise, pas plus bas.
Si vous ne parvenez pas à enfoncer l'élément jusqu'à la profondeur d'implantation requise, percez plus en profondeur.

HVU2

Usage prévu
Instructions de pose

Annexe B7

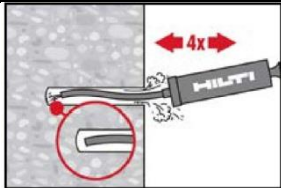
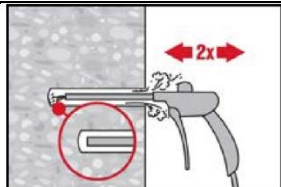
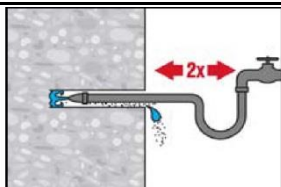
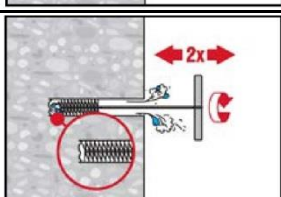
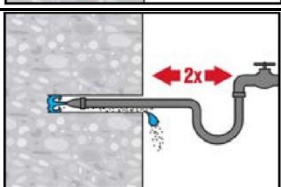
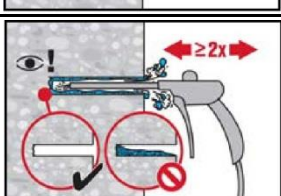
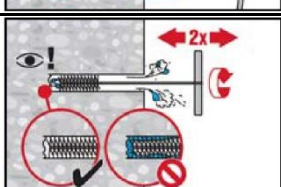
| | |
|---|--|
| Nettoyage du trou de perçage : | <p>Juste avant de mettre la cheville en place, nettoyez le trou de perçage des éventuels débris et poussières. Un trou mal nettoyé offrira des performances en charge médiocres.</p> |
| Nettoyage manuel (MC) Pour les trous de diamètre $d_0 \leq 18$ mm et de profondeur de perçage $h_0 \leq 10$ d. | |
|  | <p>Vous pouvez utiliser la pompe manuelle Hilti pour évacuer la poussière des trous de perçage. Soufflez au moins quatre fois depuis le fond du trou de perçage, jusqu'à ce que l'air renvoyé soit exempt de poussière visible.</p> |
| Nettoyage à air comprimé (CAC) : Pour tous les trous de diamètre d_0 et de profondeur h_0 . | |
|  | <p>Soufflez au moins deux fois depuis le fond du trou de perçage (si nécessaire, avec la rallonge de buse), en balayant toute la longueur du trou avec de l'air comprimé exempt d'huile (min. 6 bars à 6 m³/h), jusqu'à ce que l'air renvoyé soit exempt de poussière visible.</p> |
| Nettoyage des trous immergés percés par percussion et des trous forés au diamant : Pour tous les trous de diamètre d_0 et de profondeur h_0 . | |
|  | <p>Rincez au moins deux fois en insérant un tuyau d'eau (ligne d'eau sous pression) jusqu'au fond du trou jusqu'à ce que l'eau qui s'écoule soit transparente.</p> |
|  | <p>Faites deux passages avec la brosse conseillée (voir le tableau B5), en insérant la brosse Hilti HIT-RB jusqu'au fond du trou (si nécessaire avec la rallonge) avec un mouvement tournant, puis en la ressortant. Vous devez sentir une résistance naturelle lorsque la brosse pénètre dans le trou de perçage (\varnothing brosse $\geq \varnothing$ trou). Si ce n'est pas le cas, cela signifie que la brosse est trop petite et vous devez la remplacer par une brosse de diamètre supérieur.</p> |
|  | <p>Rincez au moins deux fois en insérant un tuyau d'eau (ligne d'eau sous pression) jusqu'au fond du trou jusqu'à ce que l'eau qui s'écoule soit transparente.</p> |
|  | <p>Soufflez au moins deux fois depuis le fond du trou de perçage (si nécessaire, avec la rallonge de buse), en balayant toute la longueur du trou avec de l'air comprimé exempt d'huile (min. 6 bars à 6 m³/h), jusqu'à ce que l'air renvoyé soit exempt de poussière visible et d'eau.</p> |
|  | <p>Faites deux passages avec la brosse conseillée (voir le tableau B5), en insérant la brosse Hilti HIT-RB jusqu'au fond du trou (si nécessaire avec la rallonge) avec un mouvement tournant, puis en la ressortant. Vous devez sentir une résistance naturelle lorsque la brosse pénètre dans le trou de perçage (\varnothing brosse $\geq \varnothing$ trou). Si ce n'est pas le cas, cela signifie que la brosse est trop petite et vous devez la remplacer par une brosse de diamètre supérieur.</p> |
| HVU2 | Annexe B8 |
| Usage prévu Instructions de pose | |

Tableau C1 : Caractéristiques essentielles pour HAS-U-... et HAS-(E) sous charge de traction dans du béton

| HAS-U-... et HAS-(E)... | M8 | M10 | M12 | M16 | M20 | M24 | M27 | M30 |
|---|----------------------|--------------------|------|------|-------|-------|-------|-------------|
| Coefficient de sécurité à la pose | | | | | | | | |
| Perçage à percussion et perçage avec mèche creuse TE-CD ou TE-YD γ_{inst} | [-] | | | 1,0 | | | | |
| Forage au diamant γ_{inst} | [-] | | | 1,0 | | | | |
| Rupture de l'acier HAS-(E)... | | | | | | | | |
| HAS-(E) 5.8 $N_{Rk,s}$ | [kN] | 18,9 | 30,1 | 43,4 | 82,2 | 112,2 | 160,2 | - |
| Coefficient partiel $\gamma_{Ms,N}^{1)}$ | [-] | 1,50 | | | | | - | |
| HAS-(E) 8.8 $N_{Rk,s}$ | [kN] | 26,5 | 42,2 | 61,0 | 115,4 | 179,5 | 256,4 | 347 421,5 |
| Coefficient partiel $\gamma_{Ms,N}^{1)}$ | [-] | 1,50 | | | | | - | |
| HAS-R $N_{Rk,s}$ | [kN] | 23,2 | 37,0 | 53,3 | 100,9 | 157,0 | 224,3 | 216,9 263,4 |
| Coefficient partiel $\gamma_{Ms,N}^{1)}$ | [-] | 1,68 | | | 1,87 | | 2,86 | |
| HAS-HCR $N_{Rk,s}$ | [kN] | 26,5 | 42,2 | 61,0 | 115,4 | 179,5 | 224,3 | - |
| Coefficient partiel $\gamma_{Ms,N}^{1)}$ | [-] | 1,5 | | | | 2,1 | | - |
| Rupture de l'acier HAS-U-... | | | | | | | | |
| HAS-U-... $N_{Rk,s}$ | [kN] | $A_s \cdot f_{uk}$ | | | | | | |
| Coefficient partiel grade 5.8 $\gamma_{Ms,N}^{1)}$ | [-] | 1,5 | | | | | - | |
| Coefficient partiel grade 8.8 $\gamma_{Ms,N}^{1)}$ | [-] | 1,5 | | | | | - | |
| Coefficient partiel HAS-U-R $\gamma_{Ms,N}^{1)}$ | [-] | 1,87 | | | | | 2,86 | |
| Coefficient partiel HAS-U-HCR $\gamma_{Ms,N}^{1)}$ | [-] | 1,5 | | | | 2,1 | | - |
| Arrachement + rupture par cône de béton | | | | | | | | |
| Profondeur d'implantation effective | h_{ef1} | [mm] | 80 | 90 | 110 | 125 | 170 | 210 240 270 |
| | h_{ef2} | [mm] | - | 135 | 165 | 190 | - | - - - |
| Béton non fissuré C20/25 dans des trous forés par percussion | | | | | | | | |
| Plage de températures I : 24 °C / 40 °C $\tau_{Rk,ucr}$ | [N/mm ²] | 12,0 | 16,0 | | | | | |
| Plage de températures II : 50 °C / 80 °C $\tau_{Rk,ucr}$ | [N/mm ²] | 9,5 | 13,0 | | | | | |
| Plage de températures III : 72 °C / 120 °C $\tau_{Rk,ucr}$ | [N/mm ²] | 6,0 | 7,5 | | | | | |
| Béton non fissuré C20/25 dans des trous percés par percussion avec une mèche creuse TE-CD ou TE-YD | | | | | | | | |
| Plage de températures I : 24 °C / 40 °C $\tau_{Rk,ucr}$ | [N/mm ²] | - | 16,0 | | | | | |
| Plage de températures II : 50 °C / 80 °C $\tau_{Rk,ucr}$ | [N/mm ²] | - | 13,0 | | | | | |
| Plage de températures III : 72 °C / 120 °C $\tau_{Rk,ucr}$ | [N/mm ²] | - | 7,5 | | | | | |

HVU2

Performances

Caractéristiques essentielles sous charges de traction dans du béton

Annexe C1

Traduction en français par Hilti

Tableau C1 : suite

| HAS-U-... et HAS-(E)... | | | M8 | M10 | M12 | M16 | M20 | M24 | M27 | M30 |
|---|-----------------|----------------------|-----|-----|-----|-----|------|-----|-----|-----|
| Béton non fissuré C20/25 dans des trous forés au diamant | | | | | | | | | | |
| Plage de températures I : 24 °C / 40 °C | $\tau_{Rk,ucr}$ | [N/mm ²] | - | | | | 14,0 | | | |
| Plage de températures II : 50 °C / 80 °C | $\tau_{Rk,ucr}$ | [N/mm ²] | - | | | | 12,0 | | | |
| Plage de températures III : 72 °C / 120 °C | $\tau_{Rk,ucr}$ | [N/mm ²] | - | | | | 6,5 | | | |
| Arrachement + rupture par cône de béton | | | | | | | | | | |
| Béton fissuré C20/25 dans des trous forés par percussion | | | | | | | | | | |
| Plage de températures I : 24 °C / 40 °C | $\tau_{Rk,cr}$ | [N/mm ²] | 5,0 | | | | 8,5 | | | |
| Plage de températures II : 50 °C / 80 °C | $\tau_{Rk,cr}$ | [N/mm ²] | 4,0 | | | | 6,5 | | | |
| Plage de températures III : 72 °C / 120 °C | $\tau_{Rk,cr}$ | [N/mm ²] | 2,5 | | | | 4,0 | | | |
| Béton fissuré C20/25 dans des trous percés par percussion avec une mèche creuse TE-CD ou TE-YD | | | | | | | | | | |
| Plage de températures I : 24 °C / 40 °C | $\tau_{Rk,cr}$ | [N/mm ²] | - | | | | 8,5 | | | |
| Plage de températures II : 50 °C / 80 °C | $\tau_{Rk,cr}$ | [N/mm ²] | - | | | | 6,5 | | | |
| Plage de températures III : 72 °C / 120 °C | $\tau_{Rk,cr}$ | [N/mm ²] | - | | | | 4,0 | | | |
| Béton fissuré C20/25 dans des trous forés au diamant | | | | | | | | | | |
| Plage de températures I : 24 °C / 40 °C | $\tau_{Rk,cr}$ | [N/mm ²] | - | | | | 7,0 | | | |
| Plage de températures II : 50 °C / 80 °C | $\tau_{Rk,cr}$ | [N/mm ²] | - | | | | 6,0 | | | |
| Plage de températures III : 72 °C / 120 °C | $\tau_{Rk,cr}$ | [N/mm ²] | - | | | | 3,5 | | | |

HVU2

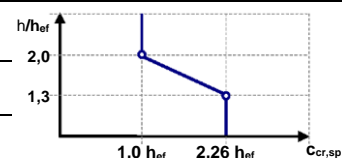
Performances

Caractéristiques essentielles sous charges de traction dans du béton

Annexe C2

Tableau C1 : suite

| HAS-U-... et HAS-(E)... | | | M8 | M10 | M12 | M16 | M20 | M24 | M27 | M30 |
|--|----------------|--------------------------|----------------------|-----|-----|-----|-----|-----|-----|-----|
| Facteurs d'influence ψ sur la résistance à la rupture τ_{RK} | | | | | | | | | | |
| Trous percés par percussion et trous percés par percussion avec une mèche creuse TE-CD ou TE-YD | | | | | | | | | | |
| Béton non fissuré : Coefficient pour la résistance du béton | ψ_c | C30/37 | 1,08 | | | | | | | |
| | | C40/50 | 1,15 | | | | | | | |
| | | C50/60 | 1,20 | | | | | | | |
| Béton fissuré : Coefficient pour la résistance du béton | ψ_c | C30/37 | 1,04 | | | | | | | |
| | | C40/50 | 1,07 | | | | | | | |
| | | C50/60 | 1,10 | | | | | | | |
| Béton fissuré et non fissuré : Facteur de charge prolongée | ψ_{sus}^0 | 24 °C / 40 °C | 1,00 | | | | | | | |
| | | 50 °C / 80 °C | 0,73 | | | | | | | |
| | | 72 °C / 120 °C | 0,73 | | | | | | | |
| Trous forés au diamant | | | | | | | | | | |
| Béton non fissuré : Coefficient pour la résistance du béton | ψ_c | C30/37 | 1,08 | | | | | | | |
| | | C40/50 | 1,15 | | | | | | | |
| | | C50/60 | 1,20 | | | | | | | |
| Béton fissuré : Coefficient pour la résistance du béton | ψ_c | C50/60 | 1,00 | | | | | | | |
| | | 24 °C / 40 °C | 0,78 | | | | | | | |
| | | 50 °C / 80 °C | 0,71 | | | | | | | |
| Béton fissuré et non fissuré : Facteur de charge prolongée | ψ_{sus}^0 | 72 °C / 120 °C | 0,78 | | | | | | | |
| | | | | | | | | | | |
| Rupture par cône de béton | | | | | | | | | | |
| Coefficient pour le béton non fissuré | $k_{ucr,N}$ | [-] | 11,0 | | | | | | | |
| Coefficient pour le béton fissuré | $k_{cr,N}$ | [-] | 7,7 | | | | | | | |
| Distance au bord | $C_{cr,N}$ | [mm] | $1,5 \cdot h_{ef}$ | | | | | | | |
| Entraxe | $S_{cr,N}$ | [mm] | $3,0 \cdot h_{ef}$ | | | | | | | |
| Rupture par fendage | | | | | | | | | | |
| Distance au bord $C_{cr,sp}$ [mm] pour | | $h / h_{ef} \geq 2,0$ | $1,0 \cdot h_{ef}$ | | | | | | | |
| | | $2,0 > h / h_{ef} > 1,3$ | $4,6 h_{ef} - 1,8 h$ | | | | | | | |
| | | $h / h_{ef} \leq 1,3$ | $2,26 h_{ef}$ | | | | | | | |
| Entraxe | $S_{cr,sp}$ | [mm] | $2 \cdot C_{cr,sp}$ | | | | | | | |



¹⁾ En l'absence de réglementations nationales.

HVU2

Performances

Caractéristiques essentielles sous charges de traction dans du béton

Annexe C3

Traduction en français par Hilti

Tableau C2 : Caractéristiques essentielles pour la douille à filetage intérieur HIS-(R)N sous charge de traction dans du béton

| HIS-(R)N | | M8 | M10 | M12 | M16 | M20 | |
|--|----------------------|----------------------|------|------|------|------|------|
| Coefficient de sécurité à la pose | | | | | | | |
| Perçage à percussion et perçage avec mèche creuse TE-CD ou TE-YD | γ_{inst} | [-] | | | | | 1,0 |
| Forage au diamant | γ_{inst} | [-] | | | | | 1,0 |
| Rupture de l'acier | | | | | | | |
| HIS-N avec vis ou tige filetée de grade 8.8 | $N_{Rk,s}$ | [kN] | 25 | 46 | 67 | 125 | 116 |
| Coefficient partiel | $\gamma_{Ms,N}^{1)}$ | [-] | | | | | 1,5 |
| HIS-RN avec vis ou tige filetée de grade 70 | $N_{Rk,s}$ | [kN] | 26 | 41 | 59 | 110 | 166 |
| Coefficient partiel | $\gamma_{Ms,N}^{1)}$ | [-] | | | | | 1,87 |
| Arrachement + rupture par cône de béton | | | | | | | |
| Profondeur d'implantation effective | h_{ef} | [mm] | 90 | 110 | 125 | 170 | 205 |
| Diamètre effectif de la fixation | d | [mm] | 12,5 | 16,5 | 20,5 | 25,4 | 27,6 |
| Béton non fissuré C20/25 dans des trous percés par percussion et des trous percés par percussion avec une mèche creuse TE-CD ou TE-YD | | | | | | | |
| Plage de températures I : 24 °C / 40 °C | $\tau_{Rk,ucr}$ | [N/mm ²] | | | | | 11,0 |
| Plage de températures II : 50 °C / 80 °C | $\tau_{Rk,ucr}$ | [N/mm ²] | | | | | 9,0 |
| Plage de températures III : 72 °C / 120 °C | $\tau_{Rk,ucr}$ | [N/mm ²] | | | | | 5,5 |
| Béton non fissuré C20/25 dans des trous forés au diamant | | | | | | | |
| Plage de températures I : 24 °C / 40 °C | $\tau_{Rk,ucr}$ | [N/mm ²] | | | | | 11,0 |
| Plage de températures II : 50 °C / 80 °C | $\tau_{Rk,ucr}$ | [N/mm ²] | | | | | 9,0 |
| Plage de températures III : 72 °C / 120 °C | $\tau_{Rk,ucr}$ | [N/mm ²] | | | | | 5,5 |
| Béton fissuré C20/25 dans des trous percés par percussion et des trous percés par percussion avec une mèche creuse TE-CD ou TE-YD | | | | | | | |
| Plage de températures I : 24 °C / 40 °C | $\tau_{Rk,cr}$ | [N/mm ²] | | | | | 6,5 |
| Plage de températures II : 50 °C / 80 °C | $\tau_{Rk,cr}$ | [N/mm ²] | | | | | 5,0 |
| Plage de températures III : 72 °C / 120 °C | $\tau_{Rk,cr}$ | [N/mm ²] | | | | | 3,0 |
| Béton fissuré C20/25 dans des trous forés au diamant | | | | | | | |
| Plage de températures I : 24 °C / 40 °C | $\tau_{Rk,cr}$ | [N/mm ²] | | | | | 4,5 |
| Plage de températures II : 50 °C / 80 °C | $\tau_{Rk,cr}$ | [N/mm ²] | | | | | 3,5 |
| Plage de températures III : 72 °C / 120 °C | $\tau_{Rk,cr}$ | [N/mm ²] | | | | | 2,5 |

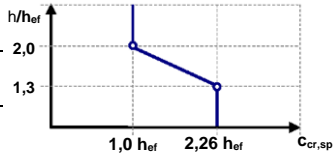
HVU2

Performances

Caractéristiques essentielles sous charges de traction dans du béton

Annexe C4

Tableau C2 : (suite)

| HIS-(R)N | | M8 | M10 | M12 | M16 | M20 |
|--|--------------------------|----------------|----------------------|-----|---|-----|
| Facteurs d'influence ψ sur la résistance à la rupture τ_{RK} | | | | | | |
| Trous percés par percussion et trous percés par percussion avec une mèche creuse TE-CD ou TE-YD | | | | | | |
| Coefficient pour la résistance à la compression du béton | | | | | | |
| Béton non fissuré : Coefficient pour la résistance du béton | ψ^c | C50/60 | 1,00 | | | |
| | | C30/37 | 1,08 | | | |
| Béton fissuré : Coefficient pour la résistance du béton | ψ^c | C40/50 | 1,15 | | | |
| | | C50/60 | 1,20 | | | |
| Béton fissuré et non fissuré : Facteur de charge prolongée | ψ^{0}_{sus} | 24 °C / 40 °C | 1,00 | | | |
| | | 50 °C / 80 °C | 0,73 | | | |
| | | 72 °C / 120 °C | 0,73 | | | |
| Trous forés au diamant | | | | | | |
| Béton non fissuré : Coefficient pour la résistance du béton | ψ^c | C50/60 | 1,00 | | | |
| | | C50/60 | 1,0 | | | |
| Béton fissuré et non fissuré : Facteur de charge prolongée | ψ^{0}_{sus} | 24 °C / 40 °C | 0,78 | | | |
| | | 50 °C / 80 °C | 0,71 | | | |
| | | 72 °C / 120 °C | 0,78 | | | |
| Rupture par cône de béton | | | | | | |
| Coefficient pour le béton non fissuré | $k_{ucr,N}$ | [-] | 11 | | | |
| Coefficient pour le béton fissuré | $k_{cr,N}$ | [-] | 7,7 | | | |
| Distance au bord | $c_{cr,N}$ | [mm] | $1,5 \cdot h_{ef}$ | | | |
| Entraxe | $s_{cr,N}$ | [mm] | $3,0 \cdot h_{ef}$ | | | |
| Rupture par fendage | | | | | | |
| Distance au bord $c_{cr,sp}$ [mm] pour | $h / h_{ef} \geq 2,0$ | | $1,0 \cdot h_{ef}$ | |  | |
| | $2,0 > h / h_{ef} > 1,3$ | | $4,6 h_{ef} - 1,8 h$ | | | |
| | $h / h_{ef} \leq 1,3$ | | $2,26 h_{ef}$ | | | |
| Entraxe | $s_{cr,sp}$ | [mm] | $2 \cdot c_{cr,sp}$ | | | |

¹⁾ En l'absence de réglementations nationales.

HVU2

Performances

Caractéristiques essentielles sous charges de traction dans du béton

Annexe C5

Tableau C3 : Caractéristiques essentielles pour HAS-U-... et HAS-(E) sous charge de cisaillement dans du béton

| HAS-U-... et HAS-(E)... | | | M8 | M10 | M12 | M16 | M20 | M24 | M27 | M30 |
|---|----------------------|------|------------------------------|------|------|------|------|-------|-------|-------|
| Rupture de l'acier sans bras de levier | | | | | | | | | | |
| HAS-(E)... | | | | | | | | | | |
| HAS-(E) 5.8 | $V_{Rk,s}$ | [kN] | 9,5 | 15,1 | 21,7 | 41,1 | 56,1 | 80,1 | - | - |
| Coefficient partiel | $\gamma_{Ms,V}^{1)}$ | [-] | 1,25 | | | | | | - | - |
| HAS-(E) 8.8 | $V_{Rk,s}$ | [kN] | 13,3 | 21,1 | 30,5 | 57,7 | 89,7 | 128,2 | 173,5 | 210,7 |
| Coefficient partiel | $\gamma_{Ms,V}^{1)}$ | [-] | 1,25 | | | | | | - | - |
| HAS-R | $V_{Rk,s}$ | [kN] | 11,6 | 18,5 | 26,7 | 50,5 | 78,5 | 112,2 | 108,4 | 131,7 |
| Coefficient partiel | $\gamma_{Ms,V}^{1)}$ | [-] | 1,4 | | | 1,56 | | 2,38 | | - |
| HAS-HCR | $V_{Rk,s}$ | [kN] | 13,3 | 21,1 | 30,5 | 57,7 | 89,7 | 112,2 | - | - |
| Coefficient partiel | $\gamma_{Ms,V}^{1)}$ | [-] | 1,25 | | | | 1,75 | | - | - |
| Facteur de ductilité | k_7 | [-] | 1,0 | | | | | | | |
| HAS-U-... | $V_{Rk,s}$ | [kN] | $0,5 \cdot A_s \cdot f_{uk}$ | | | | | | | |
| Coefficient partiel grade 5.8 | $\gamma_{Ms,V}^{1)}$ | [-] | 1,25 | | | | | | - | - |
| Coefficient partiel grade 8.8 | $\gamma_{Ms,V}^{1)}$ | [-] | 1,25 | | | | | | - | - |
| Coefficient partiel HIT-V-R | $\gamma_{Ms,V}^{1)}$ | [-] | 1,56 | | | | 2,38 | | - | - |
| Coefficient partiel HIT-V-HCR | $\gamma_{Ms,V}^{1)}$ | [-] | 1,5 | | | | 2,1 | | - | - |
| Facteur de ductilité | k_7 | [-] | 1,0 | | | | | | | |
| Rupture de l'acier avec bras de levier | | | | | | | | | | |
| HAS-(E)... | | | | | | | | | | |
| HAS-(E) 5.8 | $M^0_{Rk,s}$ | [kN] | 18 | 37 | 64 | 167 | 284 | 486 | - | - |
| Coefficient partiel | $\gamma_{Ms,V}^{1)}$ | [-] | 1,25 | | | | | | - | - |
| HAS-(E) 8.8 | $M^0_{Rk,s}$ | [kN] | 26 | 53 | 90 | 234 | 455 | 777 | 1223 | 1638 |
| Coefficient partiel | $\gamma_{Ms,V}^{1)}$ | [-] | 1,25 | | | | | | - | - |
| HAS-R | $M^0_{Rk,s}$ | [kN] | 23 | 45 | 79 | 205 | 398 | 680 | 765 | 1023 |
| Coefficient partiel | $\gamma_{Ms,V}^{1)}$ | [-] | 1,4 | | | 1,56 | | 2,38 | | - |
| HAS-HCR | $M^0_{Rk,s}$ | [kN] | 26 | 52 | 90 | 234 | 455 | 680 | - | - |
| Coefficient partiel | $\gamma_{Ms,V}^{1)}$ | [-] | 1,25 | | | | 1,75 | | - | - |
| Facteur de ductilité | k_7 | [-] | 1,0 | | | | | | | |

HVU2

Performances

Caractéristiques essentielles sous charges de cisaillement dans du béton

Annexe C6

Traduction en français par Hilti

Tableau C3 : (suite)

| HAS-U-... et HAS-(E)... | | | M8 | M10 | M12 | M16 | M20 | M24 | M27 | M30 |
|---|--------------|------|---------------------------------|-----|-----|-----|-----|-----|-----|-----|
| HAS-U-... | | | | | | | | | | |
| Moment de flexion | $M_{Rk,s}^0$ | [Nm] | $1,2 \cdot W_{el} \cdot f_{uk}$ | | | | | | | |
| Facteur de ductilité | k_7 | [-] | 1,0 | | | | | | | |
| Rupture par arrachement du béton | | | | | | | | | | |
| Facteur d'arrachement | k_8 | [-] | 2,0 | | | | | | | |
| Rupture au bord du béton | | | | | | | | | | |
| Longueur effective de la fixation | l_f | [mm] | 80 | 90 | 110 | 125 | 170 | 210 | 240 | 270 |
| Diamètre extérieur de la fixation | d_{nom} | [mm] | 8 | 10 | 12 | 16 | 20 | 24 | 27 | 30 |

¹⁾ En l'absence de réglementations nationales.

HVU2

Performances

Caractéristiques essentielles sous charges de cisaillement dans du béton

Annexe C7

Traduction en français par Hilti

Tableau C4 : Caractéristiques essentielles pour la douille à filetage interne HIS-(R)N sous charges de cisaillement dans du béton

| HIS-(R)N | | | M8 | M10 | M12 | M16 | M20 |
|--|----------------------|------|------|------|------|------|------|
| Rupture de l'acier sans bras de levier | | | | | | | |
| HIS-N avec vis ou tige filetée de grade 8.8 | $V_{Rk,s}$ | [kN] | 13 | 23 | 34 | 63 | 58 |
| Coefficient partiel | $\gamma_{Ms,v}^{1)}$ | [-] | 1,25 | | | | |
| HIS-RN avec vis ou tige filetée de grade 70 | $V_{Rk,s}$ | [kN] | 13 | 20 | 30 | 55 | 83 |
| Coefficient partiel | $\gamma_{Ms,v}^{1)}$ | [-] | 1,56 | | | | 2,0 |
| Facteur de ductilité | k_7 | [-] | 1,0 | | | | |
| Rupture de l'acier avec bras de levier | | | | | | | |
| HIS-N avec vis ou tige filetée de grade 8.8 | $M^0_{Rk,s}$ | [Nm] | 30 | 60 | 105 | 266 | 519 |
| Coefficient partiel | $\gamma_{Ms,v}^{1)}$ | [-] | 1,25 | | | | |
| HIS-RN avec vis ou tige filetée de grade 70 | $M^0_{Rk,s}$ | [Nm] | 26 | 52 | 92 | 233 | 454 |
| Coefficient partiel | $\gamma_{Ms,v}^{1)}$ | [-] | 1,56 | | | | |
| Facteur de ductilité | k_7 | [-] | 1,0 | | | | |
| Rupture par arrachement du béton | | | | | | | |
| Facteur d'arrachement | k_8 | [-] | 2,0 | | | | |
| Rupture au bord du béton | | | | | | | |
| Longueur effective de la fixation | l_f | [mm] | 90 | 110 | 125 | 170 | 205 |
| Diamètre de la fixation | d_{nom} | [mm] | 12,5 | 16,5 | 20,5 | 25,4 | 27,6 |

¹⁾ En l'absence de réglementations nationales.

HVU2

Performances

Caractéristiques essentielles sous charges de cisaillement dans du béton

Annexe C8

Tableau C5 : Déplacements pour HAS-U-... et HAS-(E) sous charge de traction¹⁾

| HAS-U-... et HAS-(E)... | | M8 | M10 | M12 | M16 | M20 | M24 | M27 | M30 | |
|---|----------------------------|---------------------------|-----|-----|-----|-----|------|-----|------|--|
| Plage de températures I à III pour le béton non fissuré : | | | | | | | | | | |
| Déplacement | facteur δ_{N0} | [mm/(N/mm ²)] | | | | | 0,06 | | 0,15 | |
| | facteur $\delta_{N\infty}$ | [mm/(N/mm ²)] | | | | | 0,10 | | 0,30 | |
| Plage de températures I à III pour le béton fissuré : | | | | | | | | | | |
| Déplacement | facteur δ_{N0} | [mm/(N/mm ²)] | | | | | 0,10 | | 0,15 | |
| | facteur $\delta_{N\infty}$ | [mm/(N/mm ²)] | | | | | 0,14 | | 0,30 | |

¹⁾ Calcul du déplacement

$$\delta_{N0} = \text{facteur } \delta_{N0} \cdot \tau; \quad \delta_{N\infty} = \text{facteur } \delta_{N\infty} \cdot \tau \quad (\tau : \text{effort d'adhérence dû à la force de traction appliquée}).$$

Tableau C6 : Déplacements pour HAS-U-... et HAS-(E) sous charge de cisaillement¹⁾

| HAS-U-... et HAS-(E)... | | M8 | M10 | M12 | M16 | M20 | M24 | M27 | M30 | |
|-------------------------|----------------------------|---------|-----|-----|-----|-----|-----|-----|------|--|
| Déplacement | facteur δ_{V0} | [mm/kN] | | | | | | | 0,03 | |
| | facteur $\delta_{V\infty}$ | [mm/kN] | | | | | | | 0,05 | |

¹⁾ Calcul du déplacement

$$\delta_{V0} = \text{facteur } \delta_{V0} \cdot V; \quad \delta_{V\infty} = \text{facteur } \delta_{V\infty} \cdot V \quad (V : \text{force de cisaillement appliquée}).$$

Tableau C7 : Déplacements pour les douilles à filetage intérieur HIS-(R)N sous charge de traction¹⁾

| HIS-(R)N | | M8 | M10 | M12 | M16 | M20 | |
|---|----------------------------|---------------------------|-----|-----|-----|------|--|
| Plage de températures I à III pour le béton non fissuré : | | | | | | | |
| Déplacement | facteur δ_{N0} | [mm/(N/mm ²)] | | | | 0,05 | |
| | facteur $\delta_{N\infty}$ | [mm/(N/mm ²)] | | | | 0,10 | |
| Plage de températures I à III pour le béton fissuré : | | | | | | | |
| Déplacement | facteur δ_{N0} | [mm/(N/mm ²)] | | | | 0,13 | |
| | facteur $\delta_{N\infty}$ | [mm/(N/mm ²)] | | | | 0,15 | |

¹⁾ Calcul du déplacement

$$\delta_{N0} = \text{facteur } \delta_{N0} \cdot \tau; \quad \delta_{N\infty} = \text{facteur } \delta_{N\infty} \cdot \tau \quad (\tau : \text{effort d'adhérence dû à la force de traction appliquée}).$$

Tableau C8 : Déplacements pour les douilles à filetage intérieur HIS-(R)N sous charge de cisaillement¹⁾

| HIS-(R)N | | M8 | M10 | M12 | M16 | M20 | | |
|-------------|----------------------------|---------|-----|-----|-----|-----|------|--|
| Déplacement | facteur δ_{V0} | [mm/kN] | | | | | 0,04 | |
| | facteur $\delta_{V\infty}$ | [mm/kN] | | | | | 0,06 | |

¹⁾ Calcul du déplacement

$$\delta_{V0} = \text{facteur } \delta_{V0} \cdot V; \quad \delta_{V\infty} = \text{facteur } \delta_{V\infty} \cdot V \quad (V : \text{force de cisaillement appliquée}).$$

HVU2

Performances
Déplacements

Annexe C9

Tableau C9 : Caractéristiques essentielles pour HAS-U-... et HAS-(E) sous charges de traction pour la catégorie de performances sismiques C1

| HAS-U-... et HAS-(E)... | | M10 | M12 | M16 | M20 | M24 | M27 | M30 |
|---|--|-----|-----|-----|-----|-----|-----|-----|
| Rupture de l'acier | | | | | | | | |
| HAS-U-5.8(F), HAS-(E) 5.8 | $N_{Rk,s,seis}$ [kN] | 29 | 42 | 79 | 123 | 177 | - | |
| HAS-U-8.8(F), HAS-(E) 8.8 | $N_{Rk,s,seis}$ [kN] | 46 | 67 | 126 | 196 | 282 | 367 | 449 |
| HAS-U-R, HAS-R | $N_{Rk,s,seis}$ [kN] | 41 | 59 | 110 | 172 | 247 | 230 | 281 |
| HAS-U-HCR, HAS-HCR | $N_{Rk,s,seis}$ [kN] | 46 | 67 | 126 | 196 | 247 | - | |
| Arrachement + rupture par cône de béton dans du béton fissuré C20/25 | | | | | | | | |
| Trous forés par percussion | | | | | | | | |
| Plage de températures I : 40 °C | 24 °C / $\tau_{Rk,seis}$ [N/mm ²] | 8,5 | 8,5 | 8,3 | 6,9 | 8,1 | 6,5 | 7,6 |
| Plage de températures II : 80 °C | 50 °C / $\tau_{Rk,seis}$ [N/mm ²] | 6,5 | 6,5 | 6,4 | 5,3 | 6,2 | 5,0 | 5,8 |
| Plage de températures III : 120 °C | 72 °C / $\tau_{Rk,seis}$ [N/mm ²] | 4,0 | 4,0 | 3,9 | 3,3 | 3,8 | 3,1 | 3,6 |
| Trous forés par percussion avec mèche creuse TE-CD ou TE-YD | | | | | | | | |
| Plage de températures I : 40 °C | 24 °C / $\tau_{Rk,seis}$ [N/mm ²] | - | 8,5 | 8,3 | 6,9 | 8,1 | 6,5 | 7,6 |
| Plage de températures II : 80 °C | 50 °C / $\tau_{Rk,seis}$ [N/mm ²] | - | 6,5 | 6,4 | 5,3 | 6,2 | 5,0 | 5,8 |
| Plage de températures III : 120 °C | 72 °C / $\tau_{Rk,seis}$ [N/mm ²] | - | 4,0 | 3,9 | 3,3 | 3,8 | 3,1 | 3,6 |
| Trous forés au diamant | | | | | | | | |
| Plage de températures I : 40 °C | 24 °C / $\tau_{Rk,seis}$ [N/mm ²] | 7,0 | 7,0 | 7,0 | 7,0 | 7,0 | 7,0 | 7,0 |
| Plage de températures II : 80 °C | 50 °C / $\tau_{Rk,seis}$ [N/mm ²] | 6,5 | 6,5 | 6,5 | 6,5 | 6,5 | 6,5 | 6,5 |
| Plage de températures III : 120 °C | 72 °C / $\tau_{Rk,seis}$ [N/mm ²] | 4,0 | 4,0 | 4,0 | 4,0 | 4,0 | 4,0 | 4,0 |

Tableau C10 : Caractéristiques essentielles pour HAS-U-... et HAS-(E) sous charges de cisaillement pour la catégorie de performances sismiques C1

| HAS-U-... et HAS-(E)... | | M10 | M12 | M16 | M20 | M24 | M27 | M30 |
|---|----------------------|-----|-----|-----|-----|-----|-----|-----|
| Rupture de l'acier sans bras de levier | | | | | | | | |
| HAS-U-5.8(F), HAS-(E) 5.8 | $V_{Rk,s,seis}$ [kN] | 11 | 15 | 27 | 43 | 62 | - | - |
| HAS-U-8.8(F), HAS-(E) 8.8 | $V_{Rk,s,seis}$ [kN] | 16 | 24 | 44 | 69 | 99 | 129 | 157 |
| HAS-U-R, HAS-R | $V_{Rk,s,seis}$ [kN] | 14 | 21 | 39 | 60 | 87 | 81 | 98 |
| HAS-U-HCR, HAS-HCR | $V_{Rk,s,seis}$ [kN] | 16 | 24 | 44 | 69 | 87 | - | - |

HVU2

Performances

Caractéristiques essentielles pour la catégorie de performances sismiques C1.

Annexe C10

Tableau C11 : Caractéristiques essentielles pour HAS-U-... et HAS-(E) sous charges de traction pour la catégorie de performances sismiques C2

| HAS-U-... et HAS-(E)... | | M16 | M20 |
|--|--|-----|-----|
| Rupture de l'acier | | | |
| HAS-U (-F) 8.8, HAS-(E)-(F) 8.8 | $N_{Rk,s,seis}$ [kN] | 126 | 196 |
| Arrachement + rupture par cône de béton dans du béton fissuré C20/25 dans des trous percés par percussion et avec une mèche creuse TE-CD ou TE-YD | | | |
| Plage de températures I : 40 °C | 24 °C / $\tau_{Rk,seis}$ [N/mm ²] | 2,9 | 2,6 |
| Plage de températures II : 80 °C | 50 °C / $\tau_{Rk,seis}$ [N/mm ²] | 2,3 | 2,1 |
| Plage de températures III : 120 °C | 72 °C / $\tau_{Rk,seis}$ [N/mm ²] | 1,4 | 1,3 |

Tableau C12 : Caractéristiques essentielles pour HAS-U-... et HAS-(E) sous charges de cisaillement pour la catégorie de performances sismiques C2

| HAS-U-... et HAS-(E)... | | M16 | M20 |
|---|----------------------|-----|-----|
| Rupture de l'acier sans bras de levier | | | |
| HAS-U 8.8, HAS-(E) 8.8 | $V_{Rk,s,seis}$ [kN] | 40 | 71 |
| HAS-U-F 8.8, HAS-F 8.8 | $V_{Rk,s,seis}$ [kN] | 30 | 46 |

Tableau C13 : Déplacements sous charge de traction pour la catégorie de performances sismiques C2

| HAS-U-... et HAS-(E)... | | M16 | M20 |
|-------------------------|-----------------------------|-----|-----|
| Déplacement DLS | $\delta_{N,seis(DLS)}$ [mm] | 0,2 | 0,2 |
| Déplacement ULS | $\delta_{N,seis(ULS)}$ [mm] | 0,4 | 0,5 |

Tableau C14 : Déplacements sous charge de cisaillement pour la catégorie de performances sismiques C2

| HAS-U-... et HAS-(E)... | | M16 | M20 |
|---|-----------------------------|-----|-----|
| Déplacement DLS HAS-U 8.8, HAS-(E) 8.8 | $\delta_{V,seis(DLS)}$ [mm] | 3,2 | 2,5 |
| Déplacement DLS HAS-U-F 8.8, HAS-F 8.8 | $\delta_{V,seis(DLS)}$ [mm] | 2,3 | 3,8 |
| Déplacement ULS HAS-U 8.8, HAS-(E) 8.8 | $\delta_{V,seis(ULS)}$ [mm] | 9,2 | 7,1 |
| Déplacement ULS HAS-U-F 8.8, HAS-F 8.8 | $\delta_{V,seis(ULS)}$ [mm] | 4,3 | 9,1 |

HVU2

Performances

Caractéristiques essentielles pour la catégorie de performances sismiques C2 et les déplacements

Annexe C11

Deutsches Institut für Bautechnik

Jednostka aprobowująca wyroby budowlane
i typy konstrukcji
Ośrodek Badawczy Techniki Budowlanej

Instytucja utworzona przez Rząd Federalny
i Rządy Krajów Związkowych

Upoważniona
zgodnie z Artykułem 29
Rozporządzenia
(Unii Europejskiej)
Nr 305/2011 oraz członek
EOTA (Europejskiej
Organizacji
ds. Ocen
Technicznych

Członek EOTA
www.eota.eu

Europejska Ocena Techniczna

ETA-16/0515
z 13 listopada 2019r.

Tłumaczenie angielskie przygotowane przez Deutsches Institut für Bautechnik – Wersja oryginalna w języku niemieckim.

Tłumaczenie z języka angielskiego na język polski na zlecenie Hilti (Poland) Sp. z o.o.

Część ogólna

Jednostka Oceny Technicznej wydająca
niniejszą Europejską Ocena Techniczną

Deutsches Institut für Bautechnik

Nazwa handlowa wyrobu budowlanego

Kotwa Hilti HVU2

Rodzina produktów, do których należy wyrób
budowlany

Łącznik wklejany do stosowania w betonie

Producent

Hilti AG (Spółka Akcyjna) Liechtenstein
Feldkircherstraße 100
9494 Schaan
KSIĘSTWO LIECHTENSTEIN

Zakład produkcyjny

Zakład produkcyjny firmy Hilti

Niniejsza Europejska Ocena Techniczna
zawiera

27 stron w tym 3 Załączniki, które stanowią
integralną część niniejszej Oceny.

Niniejsza Europejska Ocena Techniczna
została wydana zgodnie
z Rozporządzeniem (Unii Europejskiej)
Nr 305/2011, na podstawie

EAD 330499-01-0601

Niniejsza wersja dokumentu zastępuje

ETA-16/0515 wydaną 17 czerwca 2019r.

Deutsches Institut für Bautechnik

Kolonnenstraße 30 B | 10829 Berlin | NIEMCY | Telefon: +49 30 78730-0 | Faks: +49 30 78730-320 | E-mail: dibt@dibt.de | www.dibt.de

Z60198.19



Tłumaczenie angielskie przygotowane przez Deutsches Institut für Bautechnik
Tłumaczenie z języka angielskiego na język polski na zlecenie Hilli (Poland) Sp. z o.o.

Niniejsza Europejska Ocena Techniczna została wydana przez Jednostkę Oceny Technicznej w jej języku oficjalnym. Tłumaczenie niniejszej Europejskiej Oceny Technicznej na inne języki musi w pełni odpowiadać oryginalnie wydanemu dokumentowi i powinno być wyraźnie oznaczone jako takowe.

Udostępnianie niniejszej Europejskiej Oceny Technicznej, włącznie z jej przesyłaniem za pomocą metod elektronicznych, jest dopuszczalne jedynie w całości. Kopiowanie części dokumentu może mieć miejsce, jednakże jedynie za pisemną zgodą wydającej go Jednostki Oceny Technicznej. Każde częściowe kopiowanie musi być wyraźnie oznaczone jako takowe.

Niniejsza Europejska Ocena Techniczna może zostać uchylona przez wydającą ją Jednostkę Oceny Technicznej, w szczególności na podstawie informacji Komisji zgodnie z treścią Artykułu 25(3) Rozporządzenia (Unii Europejskiej) Nr 305/2011.



Tłumaczenie angielskie przygotowane przez Deutsches Institut für Bautechnik
Tłumaczenie z języka angielskiego na język polski na zlecenie Hilti (Poland) Sp. z o.o.

Część szczegółowa dokumentu

1. Opis techniczny produktu

Kotwa Hilti HVU jest kotwą wklejaną, która składa się z ładunku foliowego z żywicą Hilti HVU2 oraz z elementu stalowego. Element stalowy składa się z:

- pręta kotwy Hilti HAS-U lub Hilti HAS-(E) z podkładką oraz z nakrętką sześciokątną w rozmiarach od M8 do M30 lub
- z tulei z gwintem wewnętrznym HIS-(R)N w rozmiarach od M8 do M20.

Ładunek foliowy jest wprowadzany do otworu wywierconego w betonie, a następnie element stalowy jest wkręcany w otwór za pomocą urządzenia (młoto-wiertarki) w sposób opisany w Załączniku B9.

Zakotwienie pręta odbywa się dzięki sile wiązania powstającej pomiędzy elementem stalowym, zaprawą chemiczną i betonem.

Opis produktu został przedstawiony w Załączniku A.

2. Wyszczególnienie zamierzonego stosowania wyrobu zgodnie ze stosownym Europejskim Dokumentem Oceny

Właściwości użytkowe podane w Rozdziale 3 obowiązują wyłącznie wtedy, gdy kotwa jest stosowana zgodnie ze specyfikacjami i warunkami podanymi w Załączniku B.

Sprawdzenia i metody oceny, na których opiera się niniejsza Europejska Ocena Techniczna uwzględniają założenie, że okres użytkowania kotwy będzie wynosił 50 przynajmniej lat. Wskazania dotyczące okresu użytkowania nie mogą być interpretowane jako gwarancja udzielona przez producenta, a jedynie jako przesłanki mające pomóc w wyborze odpowiedniego produktu spełniającego oczekiwania z punktu widzenia ekonomicznie optymalnego czasu eksploatacji wykonanych robót.

3. Właściwości użytkowe produktu oraz informacje na temat metod użytych do ich oceny

3.1 Wytrzymałość mechaniczna i stateczność (Podstawowe wymaganie 1)

| Podstawowa charakterystyka | Właściwości |
|---|--------------------------------|
| Nośność charakterystyczna dla statycznych i quasi-statycznych obciążeń rozciągających. | Patrz→ Załączniki od C1 do C5 |
| Nośność charakterystyczna dla statycznych i quasi-statycznych obciążeń ścinających. | Patrz→ Załączniki od C6 do C8 |
| Przemieszczenia obciążeń statycznych i quasi-statycznych. | Patrz→ Załącznik C9 |
| Nośność charakterystyczna oraz przemieszczenia dla kategorii właściwości sejsmicznych C1 oraz C2. | Patrz→ Załączniki C10 oraz C11 |
| Trwałość. | Patrz→ Załącznik B2 |

3.2 Higiena, zdrowie i środowisko (Podstawowe wymaganie 3)

| Podstawowa charakterystyka | Właściwości |
|--|---------------------------|
| Zawartość, emisja oraz/lub uwalnianie substancji niebezpiecznych | Nie określono właściwości |



Tłumaczenie angielskie przygotowane przez Deutsches Institut für Bautechnik
Tłumaczenie z języka angielskiego na język polski na zlecenie Hilti (Poland) Sp. z o.o.

4 Zastosowany system oceny i weryfikacji stałości właściwości użytkowych (AVCP) oraz informacje nt. podstawy prawnej

Zgodnie z Europejskim Dokumentem Oceny EAD 330499-00-0601 zastosowanie ma europejski akt prawny: [96/582/EC].

Zastosowanie ma system: 1.

5 Szczegóły techniczne konieczne do wdrożenia systemu oceny i weryfikacji stałości właściwości użytkowych (AVCP) uwzględnione w odpowiednim Europejskim Dokumencie Oceny

Szczegóły techniczne konieczne do wdrożenia systemu oceny i weryfikacji stałości właściwości użytkowych (AVCP) są zawarte w planie kontroli przechowywanym w Deutsches Institut für Bautechnik.

Dokument wydany w Berlinie 13 listopada 2019r. przez Deutsches Institut für Bautechnik.

mgr inż. Andreas Kummerow
Kierownik Działu

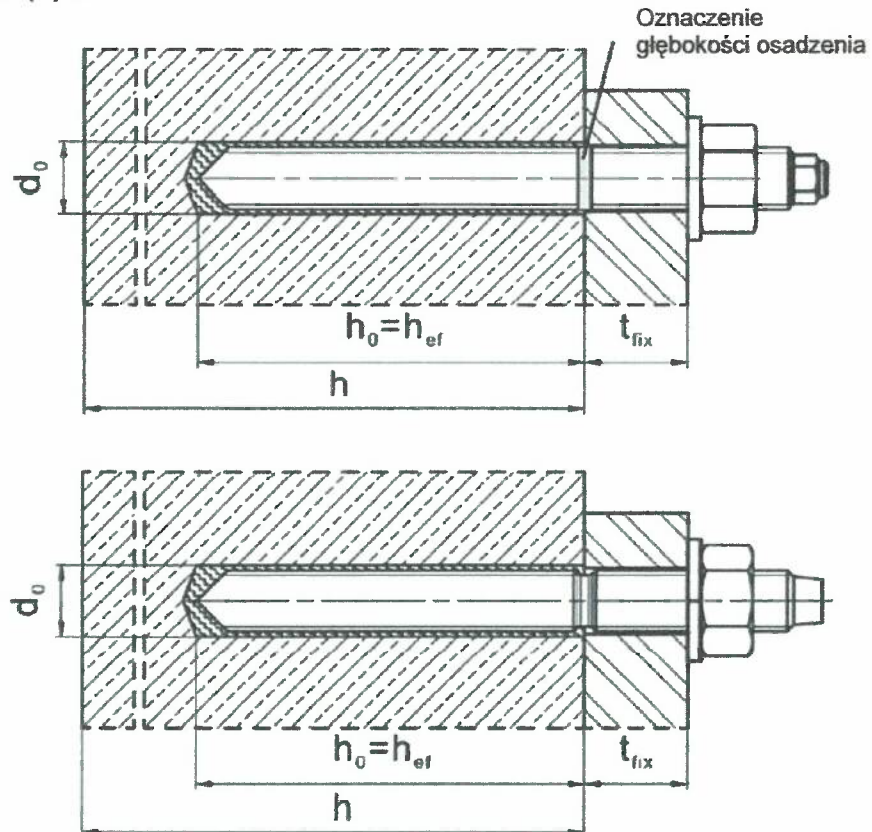
uwierzytelnione przez:
G. Lange



Warunki montażu

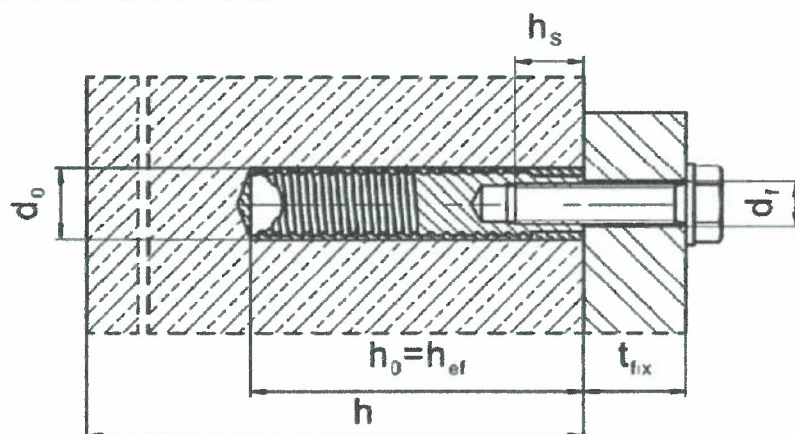
Rysunek A1:

HAS-U-... oraz HAS-(E)...



Rysunek A2:

Tuleja z gwintem wewnętrznym HIS-(R)N



Kotwa wklejana HVU2

Opis produktu
Warunki montażu



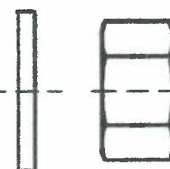
Opis produktu: ładunek z żywicą oraz elementy stalowe

Ładunek z żywicą kotwy wklejanej HVU2 od M8 do M30: żywica oraz utwardzacz z kruszywem

Oznaczenie: →
HVU2 M ...
Termin przydatności m-c/rok

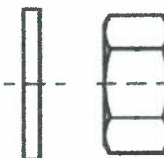


Elementy stalowe



HAS-U-...: od M8 do M30

podkładka nakrętka sześciokątna



HAS-(E)...: od M8 do M30

podkładka nakrętka sześciokątna



Tuleja z gwintem wewnętrznym HIS-(R)N: od M8 do M20

Wymiary według Załącznika B4.

Kotwa wklejana HVU2

Opis produktu
Ładunek z żywicą / Elementy stalowe



Tabela A1: Materiały

| Oznaczenie | Materiał |
|---|---|
| Elementy metalowe wykonane ze stali ocynkowanej | |
| HAS-(E)-(F) | Od M8 do M16: Klasa wytrzymałości stali 5.8, $f_{uk} = 570 \text{ N/mm}^2$, $f_{yk} = 456 \text{ N/mm}^2$. M20 i M24: Klasa wytrzymałości stali 5.8, $f_{uk} = 500 \text{ N/mm}^2$, $f_{yk} = 400 \text{ N/mm}^2$. Wydłużenie przy zerwaniu ($l_0 = 5d$) > 8% ciągliwa. Od M8 do M30: Klasa wytrzymałości stali 8.8, $f_{uk} = 800 \text{ N/mm}^2$, $f_{yk} = 640 \text{ N/mm}^2$. Wydłużenie przy zerwaniu ($l_0 = 5d$) > 12% ciągliwa. Stal ocynkowana galwanicznie $\geq 5 \mu\text{m}$, (F) stal ocynkowana ogniowo $\geq 45 \mu\text{m}$. |
| HAS-U (HDG) | Od M8 do M24: Klasa wytrzymałości stali 5.8, $f_{uk} = 500 \text{ N/mm}^2$, $f_{yk} = 400 \text{ N/mm}^2$. Wydłużenie przy zerwaniu ($l_0 = 5d$) > 8% ciągliwa. Od M8 do M30: Klasa wytrzymałości stali 8.8, $f_{uk} = 800 \text{ N/mm}^2$, $f_{yk} = 640 \text{ N/mm}^2$. Wydłużenie przy zerwaniu ($l_0 = 5d$) > 12% ciągliwa. Stal ocynkowana galwanicznie $\geq 5 \mu\text{m}$, (HDG) stal ocynkowana ogniowo $\geq 45 \mu\text{m}$. |
| Tuleja z gwintem wewnętrznym HIS-N | Stal ocynkowana galwanicznie $\geq 5 \mu\text{m}$. |
| Podkładka | Stal ocynkowana galwanicznie $\geq 5 \mu\text{m}$, stal ocynkowana ogniowo $\geq 45 \mu\text{m}$. |
| Nakrętka sześciokątna | Klasa wytrzymałości nakrętki dostosowana do klasy wytrzymałości pręta gwintowanego. Stal ocynkowana galwanicznie $\geq 5 \mu\text{m}$, stal ocynkowana ogniowo $\geq 45 \mu\text{m}$. |
| Elementy metalowe wykonane ze stali nierdzewnej | |
| Klasy odporności na korozję III według normy EN 1993-1-4:2006+A1:2015-06 | |
| HAS-(E)-R | Od M8 do M16: klasa wytrzymałości 70, $f_{uk} = 700 \text{ N/mm}^2$, $f_{yk} = 500 \text{ N/mm}^2$. M20 oraz M24: klasa wytrzymałości 70, $f_{uk} = 700 \text{ N/mm}^2$, $f_{yk} = 450 \text{ N/mm}^2$. M27 oraz M30: klasa wytrzymałości 50, $f_{uk} = 500 \text{ N/mm}^2$, $f_{yk} = 210 \text{ N/mm}^2$. Wydłużenie przy zerwaniu ($l_0 = 5d$) > 8% ciągliwa. |
| HAS-U A4 | Od M8 do M24: klasa wytrzymałości 70, $f_{uk} = 700 \text{ N/mm}^2$, $f_{yk} = 450 \text{ N/mm}^2$. M27 oraz M30: klasa wytrzymałości 50, $f_{uk} = 500 \text{ N/mm}^2$, $f_{yk} = 210 \text{ N/mm}^2$. Wydłużenie przy zerwaniu ($l_0 = 5d$) > 8% ciągliwa. |
| Tuleja z gwintem wewnętrznym HIS-RN | Stal nierdzewna 1.4401, 1.4571 zgodna z normą EN 10088-1:2014. |
| Podkładka | Stal nierdzewna 1.4401, 1.4404, 1.4578, 1.4571, 1.4439, 1.4362 zgodna z normą EN 10088-1:2014. |
| Nakrętka sześciokątna | Od M8 do M24: klasa wytrzymałości 70, $f_{uk} = 700 \text{ N/mm}^2$, $f_{yk} = 450 \text{ N/mm}^2$. M27 oraz M30: klasa wytrzymałości 50, $f_{uk} = 500 \text{ N/mm}^2$, $f_{yk} = 210 \text{ N/mm}^2$. Stal nierdzewna 1.4401, 1.4404, 1.4578, 1.4571, 1.4439, 1.4362 zgodna z normą EN 10088-1:2014. |
| Elementy metalowe wykonane ze stali o wysokiej odporności na korozję | |
| Klasy odporności na korozję V według normy EN 1993-1-4:2006+A1:2015-06 | |
| HAS-(E)-HCR HAS-U HCR | Od M8 do M20: $f_{uk} = 800 \text{ N/mm}^2$, $f_{yk} = 640 \text{ N/mm}^2$. M24: $f_{uk} = 700 \text{ N/mm}^2$, $f_{yk} = 400 \text{ N/mm}^2$. Wydłużenie przy zerwaniu ($l_0 = 5d$) > 8% ciągliwa. |
| Podkładka | Stal o wysokiej odporności na korozję 1.4529, 1.4565 zgodna z normą EN 10088-1:2014. |
| Nakrętka sześciokątna | Od M8 do M20: $f_{uk} = 800 \text{ N/mm}^2$, $f_{yk} = 640 \text{ N/mm}^2$. M24: $f_{uk} = 700 \text{ N/mm}^2$, $f_{yk} = 400 \text{ N/mm}^2$. Stal o wysokiej odporności na korozję 1.4529, 1.4565 zgodna z normą EN 10088-1:2014. |

Kotwa wklejana HVU2

Opis produktu
Materiały



Szczegóły techniczne zamierzonego stosowania

Zakotwienia poddawane:

- Obciążeniom statycznym i quasi-statycznym.
- Obciążeniom kategorii właściwości sejsmicznych C1: HAS-U-... oraz HAS-(E)... rozmiar od M10 do M30.
- Obciążeniom kategorii właściwości sejsmicznych C2: HAS-U-... oraz HAS-(E)... rozmiar M16 oraz M20.

Materiały podłoża:

- Zagęszczony zbrojony lub niezbrojony beton o standardowym ciężarze bez włókien, zgodny z normą EN 206:2013 + A1:2016.
- Klasy wytrzymałości betonu od C20/25 do C50/60 zgodne z normą EN 206:2013 + A1:2016.
- Beton spękany oraz beton niespękany.

Temperatury w podłożu:

- **W trakcie montażu**
od -10 °C do +40 °C
Dla znormalizowanej zmienności temperatur oraz szybkiej zmiany temperatury po przeprowadzeniu montażu.
- **W okresie eksploatacji**
Zakres temperatur I: od -40 °C do +40 °C
(maksymalna dopuszczalna temperatura przy oddziaływaniu długotrwałym +24 °C i maksymalna dopuszczalna temperatura przy oddziaływaniu krótkotrwałym +40 °C)
Zakres temperatur II: od -40 °C do +80 °C
(maksymalna dopuszczalna temperatura przy oddziaływaniu długotrwałym +50 °C i maksymalna dopuszczalna temperatura przy oddziaływaniu krótkotrwałym +80 °C)
Zakres temperatur III: od -40 °C do +120 °C
(maksymalna dopuszczalna temperatura przy oddziaływaniu długotrwałym +72 °C i maksymalna dopuszczalna temperatura przy oddziaływaniu krótkotrwałym +120 °C)

Tabela B1: Szczegóły techniczne zamierzonego stosowania

| Elementy | Ładunek foliowy HVU2 z ... | |
|--|---|--|
| | HAS-U-..., HAS-(E)... | Tuleja HIS-(R)N |
| Wiercenie udarowe przy użyciu wiertel rurowych TE-CD lub TE-YD  | od M10 do M30  | od M8 do M20  |
| Wiercenie udarowe  | od M8 do M30 | od M8 do M20 |
| Wiercenie diamentowe rdzeniowe  | od M10 do M30 | od M8 do M20 |

Kotwa wklejana HVU2

Zamierzone stosowanie
Specyfikacje techniczne



Warunki stosowania (warunki środowiskowe):

- Konstrukcje poddane oddziaływaniu warunków suchych wewnątrz budowli (wszystkie materiały).
- Dla wszelkich pozostałych warunków według normy EN 1993-1-4:2006+A1:2015-06 odpowiadającej klasom odporności na korozję, Tabela A1 z Załącznika A4 (stal nierdzewna).

Projektowanie:

- Zakotwienia muszą być zaprojektowane pod nadzorem inżyniera doświadczonego w dziedzinie zakotwień i robót betonowych.
- Należy wykonać możliwe do weryfikacji obliczenia oraz opracować rysunki, biorąc pod uwagę obciążenia, które mają być przeniesione przez kotwy. Położenie kotew musi być określone na rysunkach projektowych (np. poprzez podanie położenia kotwy względem zbrojenia lub względem podpór, itd.).
- Zakotwienia muszą być zaprojektowane zgodnie z:
normą EN 1992-4:2018 oraz z Raportem Technicznym EOTA TR 055.

Montaż:

- Kategoria użytkowania: beton suchy lub wilgotny (niedopuszczalny w otworach zatopionych) dla wszystkich technik wiercenia otworów.
- Technika wiercenia otworów:
 - wiercenie udarowe
 - wiercenie udarowe przy użyciu wiertel rurowych TE-CD, TE-YD.
 - wiercenie diamentowe rdzeniowe (np. Hilti DD 30-W lub inne urządzenia techniki diamentowej Hilti).
- Kierunek montażu:
D2: montaż pionowo w dół i poziomo dla HVU2 od M8 do M30.
D3: montaż pionowo w dół i poziomo oraz w górę (np. nad głową) dla HVU2 od M8 do M24.
- Montaż kotew może być przeprowadzony wyłącznie przez odpowiednio przeszkolony personel oraz pod odpowiednim nadzorem osoby odpowiedzialnej za kwestie techniczne na budowie.

Kotwa wklejana HVU2

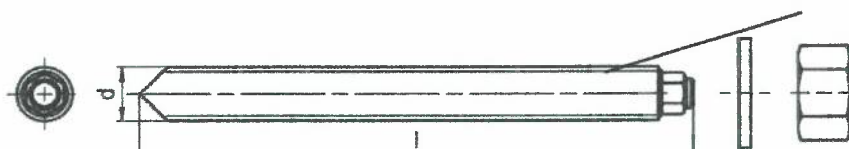
Zamierzone stosowanie
Specyfikacje techniczne



Tabela B2: Parametry montażowe dla kotew HAS-U-... oraz HAS-(E)...

| HAS-U-... oraz HAS-(E)... | | M8 | M10 | M12 | M16 | M20 | M24 | M27 | M30 |
|---|--------------------------|------|--------|--------|--------|--------|--------|--------|--------|
| Ładunek foliowy HVU2 M... | h_{ef1} [mm] | 8x80 | 10x90 | 12x110 | 16x125 | 20x170 | 24x210 | 27x240 | 30x270 |
| | h_{ef2} [mm] | - | 10x135 | 12x165 | 16x190 | - | - | - | - |
| Średnica łącznika | $d = d_{nom}$ [mm] | 8 | 10 | 12 | 16 | 20 | 24 | 27 | 30 |
| Nominalna średnica wiertła | d_0 [mm] | 10 | 12 | 14 | 18 | 22 | 28 | 30 | 35 |
| Czynna głębokość osadzenia oraz głębokość wierconego otworu | $h_{ef1} = h_{0,1}$ [mm] | 80 | 90 | 110 | 125 | 170 | 210 | 240 | 270 |
| | $h_{ef2} = h_{0,2}$ [mm] | - | 135 | 165 | 190 | - | - | - | - |
| Maksymalna średnica otworu przelotowego w elemencie mocowanym | d_f [mm] | 9 | 12 | 14 | 18 | 22 | 26 | 30 | 33 |
| Minimalna grubość podłoża betonowego | h_{min1} [mm] | 110 | 120 | 140 | 160 | 220 | 270 | 300 | 340 |
| | h_{min2} [mm] | - | 165 | 195 | 230 | - | - | - | - |
| Maksymalny moment dokręcający | T_{max} [Nm] | 10 | 20 | 40 | 80 | 150 | 200 | 270 | 300 |
| Minimalny rozstaw kotew | s_{min} [mm] | 40 | 50 | 60 | 75 | 90 | 115 | 120 | 140 |
| Minimalna odległość kotew od krawędzi podłoża | c_{min} [mm] | 40 | 45 | 45 | 50 | 55 | 60 | 75 | 80 |

HAS-U-...

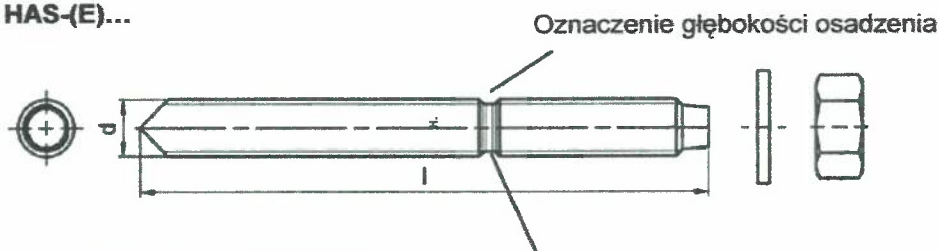


Oznaczenie:

Numer (oznaczenie) klasy stali oraz litera identyfikująca długość: np. 8L

identification letter: e.g. 8L

HAS-(E)...



Oznaczenie:

znak identyfikacyjny - H, wytłoczenie "1" HAS-(E)
znak identyfikacyjny - H, wytłoczenie "=" HAS-(E)R
znak identyfikacyjny - H, wytłoczenie "CR" HAS-(E)HCR

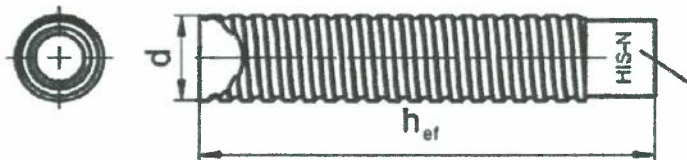
Kotwa wklejana HVU2

Zamierzone stosowanie
Parametry montażowe



Tabela B3: Parametry montażowe dla tulei z gwintem wewnętrznym HIS-(R)N

| Tuleja z gwintem wewnętrznym HIS-(R)N | M8 | M10 | M12 | M16 | M20 |
|---|-------|--------|--------|--------|--------|
| Ładunek foliowy HVU2 M... | 10x90 | 12x110 | 16x125 | 20x170 | 24x210 |
| Zewnętrzna średnica tulei $d = d_{nom}$ [mm] | 12,5 | 16,5 | 20,5 | 25,4 | 27,8 |
| Nominalna średnica wiertła d_0 [mm] | 14 | 18 | 22 | 28 | 32 |
| Czynna głębokość osadzenia oraz głębokość wierconego otworu $h_{ef} = h_0$ [mm] | 90 | 110 | 125 | 170 | 205 |
| Maksymalna średnica otworu przelotowego w elemencie mocowanym d_r [mm] | 9 | 12 | 14 | 18 | 22 |
| Minimalna grubość podłoża betonowego h_{min} [mm] | 120 | 150 | 170 | 230 | 270 |
| Maksymalny moment dokręcający T_{max} [Nm] | 10 | 20 | 40 | 80 | 150 |
| Długość włączenia (robocza) gwintu min. – maks. h_s [mm] | 8-20 | 10-25 | 12-30 | 16-40 | 20-50 |
| Minimalny rozstaw kotew s_{min} [mm] | 60 | 75 | 90 | 115 | 130 |
| Minimalna odległość kotew od krawędzi podłoża c_{min} [mm] | 40 | 45 | 55 | 65 | 90 |

Tuleja z gwintem wewnętrznym HIS-(R)N...**Oznaczenie:**

znak identyfikacyjny - HILTI oraz
 wytłoczenie "HIS-N" (dla stali ocynkowanej)
 wytłoczenie "HIS-RN" (dla stali nierdzewnej)

Tabela B4: Minimalny czas utwardzania

| Temperatura podłoża T | Minimalny czas utwardzania t_{cure} |
|-----------------------|---------------------------------------|
| od -10 °C do -6 °C | 5 godzin |
| od -5 °C do -1 °C | 3 godziny |
| od 0 °C do 4 °C | 40 minut |
| od 5 °C do 9 °C | 20 minut |
| od 10 °C do 19 °C | 10 minut |
| od 20 °C do 40 °C | 5 minut |

Kotwa wklejana HVU2

Zamierzone stosowanie
 Parametry montażowe
 Minimalny czas utwardzania



Tabela B5: Parametry narzędzi do wiercenia i czyszczenia otworów

| Elementy | | Wiercenie i czyszczeni otworów | | | |
|---|---|---|---|---|---|
| HAS-U-... HAS-(E)... | Tuleja HIS-(R)N | Wiercenie udarowe | | Wiercenie diamentowe rdzeniowe | Szczotka stalowa |
| | | | Wiertło rurowe TE-CD, TE-YD | | |
|  |  |  |  |  |  |
| Rozmiar | Rozmiar | d ₀ [mm] | d ₀ [mm] | d ₀ [mm] | HIT-RB |
| M8 | - | 10 | - | - | - |
| M10 | - | 12 | 12 | 12 | 12 |
| M12 | M8 | 14 | 14 | 14 | 14 |
| M16 | M10 | 18 | 18 | 18 | 18 |
| M20 | M12 | 22 | 22 | 22 | 22 |
| M24 | M16 | 28 | 28 | 28 | 28 |
| M27 | - | 30 | - | 30 | 30 |
| - | M20 | 32 | 32 | 32 | 32 |
| M30 | - | 35 | 35 | 35 | 35 |

Metody czyszczenia otworów

Czyszczenie ręczne (MC):

Ręczna pompka Hilti do czyszczenia ze zwiercin otworów o średnicach d₀ ≤ 18 mm oraz głębokościach h₀ ≤ 10·d.



Czyszczenie przy użyciu sprężonego powietrza (CAC):

Dysza do sprężonego powietrza z otworem wylotowym o średnicy co najmniej 3,5 mm.



Czyszczenie automatyczne (AC):

Czyszczenie odbywa się w trakcie wiercenia przy użyciu systemu Hilti TE-CD oraz TE-YD wyposażonego w odkurzacz przemysłowy.



Kotwa wklejana HVU2

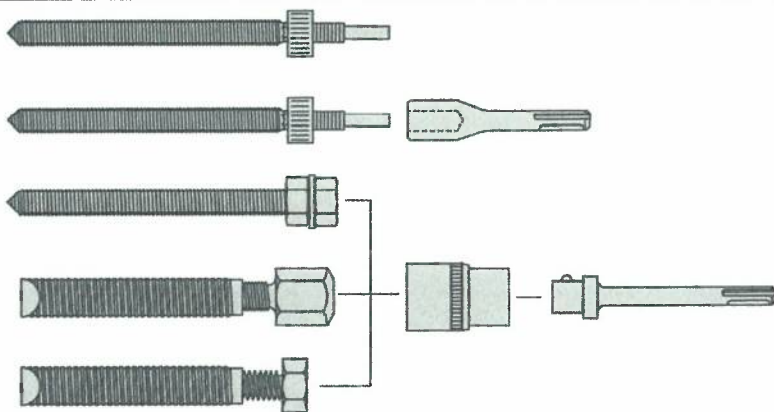
Zamierzone stosowanie

Narzędzia do wiercenia i czyszczenia otworów



Tabela B6: Parametry narzędzi do osadzania kotew HAS-U-..., HAS-(E)... oraz HIS-(R)N

| HAS | HIS-N | HVU2 | TE(A) | SID 4-A22 | SIW 22T-A | SF(H) | RPM |
|---|---|---|---|---|---|---|-------------|
|  |  |  |  |  |  |  | |
| M8 | - | M8x80 | 1...7 | + | + | 2, 6, 8, 10, 14, 22 | 450... 1300 |
| M10 | M8 | M10x90 | 1...7 | + | + | 6, 8, 10, 14, 22 | 450... 1300 |
| M10 | - | M10x135 | 1...40 | - | - | 6, 8, 10, 14, 22 | 450... 1300 |
| M12 | M10 | M12x110 | 1...40 | + | + | 6, 8, 10, 14, 22 | 450... 1300 |
| M12 | - | M12x165 | 1...40 | - | - | 6, 8, 10, 14, 22 | 450... 1300 |
| M16 | M12 | M16x125 | 1...40 | + | - | 6, 8, 10, 14, 22 | 450... 1300 |
| M16 | - | M16x190 | 50...80 | - | - | - | - |
| M20 | - | M20x170 | 50...60 | - | - | - | - |
| - | M16 | M20x170 | 40...80 | - | - | - | - |
| M24 | - | M24x210 | 50...80 | - | - | - | - |
| - | M20 | M24x210 | 40...80 | - | - | - | - |
| M27 | - | M27x240 | 60...80 | - | - | - | - |
| M30 | - | M30x270 | 60...80 | - | - | - | - |



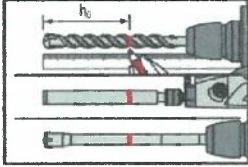
| Narzędzie do osadzania kotew | Numer artykułu | TE (A) 1...40 | TE 50...80 | SF(H) | SID 4-A22 | HIS-N |
|------------------------------|--|------------------|------------|-------|-----------|-------|
| - |  | - | - | + | - | - |
| TE-C HVU2 |  | # 2181356 | + | - | - | - |
| TE-Y HVU2 |  | # 2230162...5 | - | + | - | - |
| TE-C 1/2" |  | # 32220 | + | - | - | + |
| TE-Y 3/4" |  | # 32221 | - | + | - | + |
| SI-SA 1/4"-1/2" |  | # 2077174 | - | - | + | + |
| SI-SA 7/16" |  | # 2134075 | - | - | + | + |

Kotwa wklejana HVU2

Zamierzone stosowanie
Narzędzia do osadzania kotew

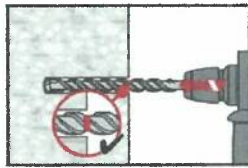
Instrukcja montażu

Wiercenie otworów



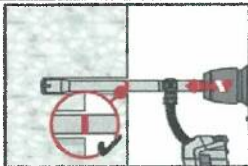
Należy zaznaczyć wymaganą głębokość wiercenia h_0 na wiertle lub wiertle rdzeniowym.

a) Wiercenie udarowe: Dla betonu suchego lub wilgotnego.



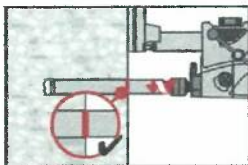
Należy wywiercić otwór o wymaganej głębokości osadzenia przy pomocy wiertarki udarowej z włączoną opcją wiercenia z udarem. Wiertarka musi być wyposażona w odpowiednio dobrane pod względem rozmiaru wiertło z końcówką z węglików spiekanych.

b) Wiercenie udarowe przy użyciu wiertła rurowego Hilti: Dla betonu suchego lub wilgotnego.



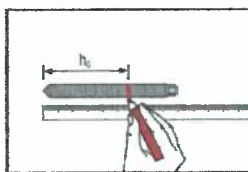
Należy wywiercić otwór o wymaganej głębokości osadzenia za pomocą odpowiednio dobranego pod względem rozmiaru wiertła rurowego Hilti TE-CD lub TE-YD podłączonego do odkurzacza Hilti. Ten system wiercenia otworów, jeśli jest zastosowany zgodnie z instrukcją użytkownika, usuwa zwierniny i czyści otwór podczas jego wiercenia. Po zakończeniu wiercenia należy przejść do kroku "przygotowanie iniekcji" opisanego w niniejszej instrukcji stosowania.

c) Wiercenie diamentowe rdzeniowe: Dla betonu suchego lub wilgotnego.

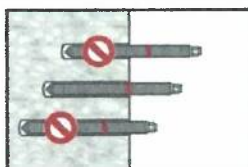


Wiercenie diamentowe rdzeniowe jest dopuszczalne, jeśli zostanie zastosowana odpowiednia wiertnica diamentowa wyposażona w odpowiednie wiertła rdzeniowe.

Sprawdzenie głębokości osadzenia



Należy zaznaczyć na łączniku wymaganą głębokość osadzenia (Patrz → Tabela B2).



Należy sprawdzić głębokość osadzenia wykorzystując oznaczony element kotwiący. Głębokość wywierconego otworu nie powinna być większa, niż zaznaczona na elemencie kotwionym głębokość osadzenia. Element musi zmieścić się w otworze aż do wymaganej głębokości zakotwienia, nie głębiej. Jeśli nie jest możliwe wprowadzenie elementu aż do wymaganej głębokości osadzenia, należy odpowiednio pogłębić wywiercony otwór.

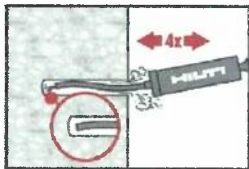
Kotwa wklejana HVU2

Zamierzone stosowanie
Instrukcje montażu kotew



Czyszczenie wierconego otworu:

Tuż przed rozpoczęciem osadzania kotwy z wywierconego otworu należy usunąć pył i gruz. Nieodpowiednie czyszczenie otworu = niskie parametry nośności.

Czyszczenie ręczne (MC): Dla wierconych otworów o średnicach $d_0 \leq 18$ mm oraz głębokościach $h_0 \leq 10 \cdot d$.

Do wydmuchania zwiernin z wywierconych otworów można zastosować ręczną pompkę Hilti. Otwór należy wydmuchać przynajmniej 4-krotnie, zaczynając od jego dna, aż do momentu, kiedy strumień powietrza wylatujący z otworu będzie pozbawiony widocznego pyłu.

Czyszczenie otworu przy użyciu sprężonego powietrza (CAC):

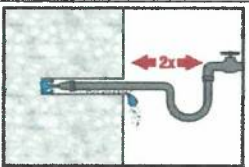
Dla wszystkich średnic d_0 wierconych otworów oraz dla wszystkich głębokości zakotwienia h_0 .



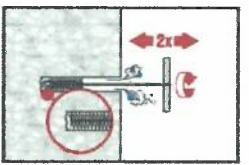
Otwór należy wydmuchać 2-krotnie, zaczynając od jego dna, (jeśli to konieczne, z użyciem przedłużki dyszy) na całej długości z użyciem niezależonego sprężonego powietrza (minimalne ciśnienie 6 bar przy wydajności 6 m³/h), aż do momentu, kiedy strumień powietrza wylatujący z otworu będzie pozbawiony widocznego pyłu.

Czyszczenie otworów wywierconych techniką udarową zalanych wodą oraz otworów wywierconych techniką diamentową rdzeniową:

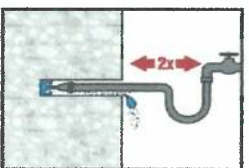
Dla wszystkich średnic d_0 wierconych otworów oraz dla wszystkich głębokości zakotwienia h_0 .



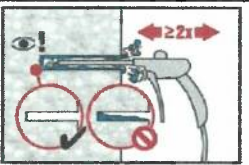
Należy dwukrotnie wypłukać otwór poprzez wprowadzenie do niego węża z wodą (ciśnienie panujące w wodociągu) zaczynając od jego dna aż do momentu, gdy wypływająca woda będzie wolna od zanieczyszczeń.



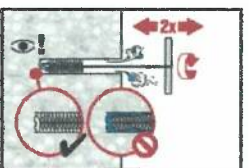
Następnie należy dwukrotnie wyszczotkować otwór przy użyciu stalowej szczotki Hilti HIT-RB o określonym rozmiarze (patrz → Tabela B5) poprzez jej wprowadzenie ruchem okrężnym do dna otworu (jeśli to konieczne, stosując przedłużkę) i wyciągnięcie. Wprowadzana do otworu szczotka napotyka na naturalny opór (\varnothing szczotki $\geq \varnothing$ wierconego otworu) – jeśli się tak nie dzieje, szczotka jest zbyt mała i należy ją zastąpić szczotką o prawidłowej średnicy.



Należy dwukrotnie wypłukać otwór poprzez wprowadzenie do niego węża z wodą (ciśnienie panujące w wodociągu) zaczynając od jego dna aż do momentu, gdy wypływająca woda będzie wolna od zanieczyszczeń.

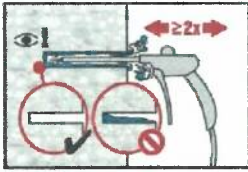


Otwór należy wydmuchać 2-krotnie, zaczynając od jego dna, (jeśli to konieczne, z użyciem przedłużki dyszy) na całej długości z użyciem niezależonego sprężonego powietrza (minimalne ciśnienie 6 bar przy wydajności 6 m³/h), aż do momentu, kiedy strumień powietrza wylatujący z otworu będzie pozbawiony widocznego pyłu.



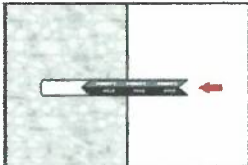
Następnie należy dwukrotnie wyszczotkować otwór przy użyciu stalowej szczotki Hilti HIT-RB o określonym rozmiarze (patrz → Tabela B5) poprzez jej wprowadzenie ruchem okrężnym do dna otworu (jeśli to konieczne, stosując przedłużkę) i wyciągnięcie. Wprowadzana do otworu szczotka napotyka na naturalny opór (\varnothing szczotki $\geq \varnothing$ wierconego otworu) – jeśli się tak nie dzieje, szczotka jest zbyt mała i należy ją zastąpić szczotką o prawidłowej średnicy.

Kotwa wklejana HVU2**Zamierzone stosowanie**
Instrukcje montażu kotew

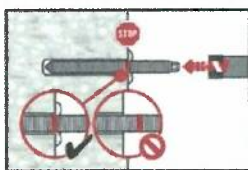


Następnie należy ponownie dwukrotnie wydmuchać otwór przy użyciu sprężonego powietrza aż do momentu, gdy wylatujący strumień powietrza nie zawiera widocznego pyłu.

Osadzanie elementu kotwy



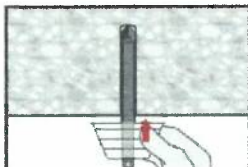
Należy wprowadzić ładunek foliowy do końca otworu końcówką w kształcie grotu.



Należy wkręcić pręt kotwy w otwór, stosując umiarkowany docisk. Narzędzie udarowo-obrotowe leży ustawić w tryb wiercenia z udarem (od 450 obrotów na minutę do maksymalnie 1300 obrotów na minutę).

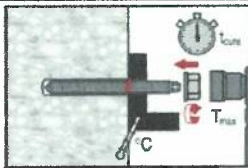
Narzędzie do osadzania otworów patrz → Załącznik B6.

Po osiągnięciu przez kotwę odpowiedniej głębokości osadzenia należy natychmiast wyłączyć wiertarkę.



Montaż nad głową dla HVU2 od M8 do M24.

Do montażu nad głową należy zastosować element w postaci miseczki HIT-OHC.



Obciążenie kotwy:

Obciążenie kotwy jest dopuszczalne po upływie wymaganego czasu utwardzania t_{cure} (patrz → Tabela B4).

Zastosowany montażowy moment dokręcający nie może przekroczyć wartości T_{max} podanej w Tabeli B2 oraz w Tabeli B3. Tabela B2

Kotwa wklejana HVU2

Zamierzone stosowanie
Instrukcje montażu kotew



Tabela C1: Podstawowe charakterystyki dla kotwy HAS-U-... oraz HAS-(E) pod wpływem obciążeń rozciągających w betonie

| HAS-U-... oraz HAS-(E)... | | M8 | M10 | M12 | M16 | M20 | M24 | M27 | M30 | |
|---|--------------------------|--------------------|------|------|-------|-------|-------|-------|-------|--|
| Montażowy współczynnik bezpieczeństwa | | | | | | | | | | |
| Wiercenie udarowe oraz wiercenie udarowe przy użyciu wiertła rurowego Hilti TE-CD lub TE-YD | γ_{inst} [-] | 1,0 | | | | | | | | |
| Wiercenie diamentowe rdzeniowe | γ_{inst} [-] | 1,0 | | | | | | | | |
| Zniszczenie stali HAS-(E)... | | | | | | | | | | |
| Nośność charakterystyczna HAS-(E) 5.8 | $N_{Rk,s}$ [kN] | 18,9 | 30,1 | 43,4 | 82,2 | 112,2 | 160,2 | - | | |
| Częściowy współczynnik bezpieczeństwa | $\gamma_{Ms,N}^{1)}$ [-] | 1,50 | | | | | | | | |
| Nośność charakterystyczna HAS-(E) 8.8 | $N_{Rk,s}$ [kN] | 26,5 | 42,2 | 61,0 | 115,4 | 179,5 | 256,4 | 347 | 421,5 | |
| Częściowy współczynnik bezpieczeństwa | $\gamma_{Ms,N}^{1)}$ [-] | 1,50 | | | | | | | | |
| Nośność charakterystyczna HAS-R | $N_{Rk,s}$ [kN] | 23,2 | 37,0 | 53,3 | 100,9 | 157,0 | 224,3 | 216,9 | 263,4 | |
| Częściowy współczynnik bezpieczeństwa | $\gamma_{Ms,N}^{1)}$ [-] | 1,68 | | | | | 1,87 | | 2,86 | |
| Nośność charakterystyczna HAS-HCR | $N_{Rk,s}$ [kN] | 26,5 | 42,2 | 61,0 | 115,4 | 179,5 | 224,3 | - | | |
| Częściowy współczynnik bezpieczeństwa | $\gamma_{Ms,N}^{1)}$ [-] | 1,50 | | | | | 2,10 | | - | |
| Zniszczenie stali HAS-U-... | | | | | | | | | | |
| Nośność charakterystyczna HAS-U-... | $N_{Rk,s}$ [kN] | $A_s \cdot f_{uk}$ | | | | | | | | |
| Częściowy współczynnik bezpieczeństwa HAS-U 5.8 | $\gamma_{Ms,N}^{1)}$ [-] | 1,50 | | | | | | | | |
| Częściowy współczynnik bezpieczeństwa HAS-U 8.8 | $\gamma_{Ms,N}^{1)}$ [-] | 1,50 | | | | | | | | |
| Częściowy współczynnik bezpieczeństwa HAS-U A4 | $\gamma_{Ms,N}^{1)}$ [-] | 1,87 | | | | | | | 2,86 | |
| Częściowy współczynnik bezpieczeństwa HAS-U HCR | $\gamma_{Ms,N}^{1)}$ [-] | 1,50 | | | | | 2,10 | | - | |

Kotwa wklejana HVU2

Charakterystyki

Podstawowe charakterystyki pod wpływem obciążeń rozciągających w betonie.



Tabela C2: ciąg dalszy

| HAS-U-... oraz HAS-(E)... | | M8 | M10 | M12 | M16 | M20 | M24 | M27 | M30 | |
|---|-----------------|----------------------|------|-----|-----|-----|------|-----|-----|-----|
| Zniszczenie przez kombinację wyciągnięcia kotwy i wyłamania stożka betonu | | | | | | | | | | |
| Czynna głębokość osadzania | h_{ef1} | [mm] | 80 | 90 | 110 | 125 | 170 | 210 | 240 | 270 |
| | h_{ef2} | [mm] | - | 135 | 165 | 190 | - | - | - | |
| Charakterystyczna nośność wiązania chemicznego w betonie niespękanym klasy C20/25 w otworach wywierconych udarowo | | | | | | | | | | |
| Zakres temperatur I: 24 °C / 40 °C | $\tau_{Rk,ucr}$ | [N/mm ²] | 12,0 | | | | 16,0 | | | |
| Zakres temperatur II: 50 °C / 80 °C | $\tau_{Rk,ucr}$ | [N/mm ²] | 9,5 | | | | 13,0 | | | |
| Zakres temperatur III: 72 °C / 120 °C | $\tau_{Rk,ucr}$ | [N/mm ²] | 6,0 | | | | 7,5 | | | |
| Charakterystyczna nośność wiązania chemicznego w betonie niespękanym klasy C20/25 w otworach wywierconych udarowo przy użyciu wiertła rurowego Hilti TE-CD lub TE-YD | | | | | | | | | | |
| Zakres temperatur I: 24 °C / 40 °C | $\tau_{Rk,ucr}$ | [N/mm ²] | - | | | | 16,0 | | | |
| Zakres temperatur II: 50 °C / 80 °C | $\tau_{Rk,ucr}$ | [N/mm ²] | - | | | | 13,0 | | | |
| Zakres temperatur III: 72 °C / 120 °C | $\tau_{Rk,ucr}$ | [N/mm ²] | - | | | | 7,5 | | | |
| Charakterystyczna nośność wiązania chemicznego w betonie niespękanym klasy C20/25 w otworach wywierconych techniką diamentową rdzeniową | | | | | | | | | | |
| Zakres temperatur I: 24 °C / 40 °C | $\tau_{Rk,ucr}$ | [N/mm ²] | - | | | | 14,0 | | | |
| Zakres temperatur II: 50 °C / 80 °C | $\tau_{Rk,ucr}$ | [N/mm ²] | - | | | | 12,0 | | | |
| Zakres temperatur III: 72 °C / 120 °C | $\tau_{Rk,ucr}$ | [N/mm ²] | - | | | | 6,5 | | | |
| Charakterystyczna nośność wiązania chemicznego w betonie spękanym klasy C20/25 w otworach wywierconych udarowo | | | | | | | | | | |
| Zakres temperatur I: 24 °C / 40 °C | $\tau_{Rk,cr}$ | [N/mm ²] | 5,0 | | | | 8,5 | | | |
| Zakres temperatur II: 50 °C / 80 °C | $\tau_{Rk,cr}$ | [N/mm ²] | 4,0 | | | | 6,5 | | | |
| Zakres temperatur III: 72 °C / 120 °C | $\tau_{Rk,cr}$ | [N/mm ²] | 2,5 | | | | 4,0 | | | |
| Charakterystyczna nośność wiązania chemicznego w betonie spękanym klasy C20/25 w otworach wywierconych udarowo przy użyciu wiertła rurowego Hilti TE-CD lub TE-YD | | | | | | | | | | |
| Zakres temperatur I: 24 °C / 40 °C | $\tau_{Rk,cr}$ | [N/mm ²] | - | | | | 8,5 | | | |
| Zakres temperatur II: 50 °C / 80 °C | $\tau_{Rk,cr}$ | [N/mm ²] | - | | | | 6,5 | | | |
| Zakres temperatur III: 72 °C / 120 °C | $\tau_{Rk,cr}$ | [N/mm ²] | - | | | | 4,0 | | | |
| Charakterystyczna nośność wiązania chemicznego w betonie niespękanym klasy C20/25 w otworach wywierconych techniką diamentową rdzeniową | | | | | | | | | | |
| Zakres temperatur I: 24 °C / 40 °C | $\tau_{Rk,cr}$ | [N/mm ²] | - | | | | 7,0 | | | |
| Zakres temperatur II: 50 °C / 80 °C | $\tau_{Rk,cr}$ | [N/mm ²] | - | | | | 6,0 | | | |
| Zakres temperatur III: 72 °C / 120 °C | $\tau_{Rk,cr}$ | [N/mm ²] | - | | | | 3,5 | | | |

Kotwa wklejana HVU2**Charakterystyki**

Podstawowe charakterystyki pod wpływem obciążeń rozciągających w betonie.



Tabela C3: ciąg dalszy

| HAS-U-... oraz HAS-(E)... | | M8 | M10 | M12 | M16 | M20 | M24 | M27 | M30 | |
|---|----------------|--------------------------|----------------------|-----|-----|-----|---------------------|-----|-----|--|
| Współczynniki wpływu ψ na nośność wiązania chemicznego τ_{RK} | | | | | | | | | | |
| Otwory wywiercone udarowo oraz otwory wiercone udarowo przy użyciu wiertła rurowego TE-CD lub TE-Y | | | | | | | | | | |
| Beton niespękany: Współczynnik dla wytrzymałości betonu na ściskanie | ψ_c | C30/37 | | | | | 1,08 | | | |
| | | C40/50 | | | | | 1,15 | | | |
| | | C50/60 | | | | | 1,20 | | | |
| Beton spękany: Współczynnik dla wytrzymałości betonu na ściskanie | ψ_c | C30/37 | | | | | 1,04 | | | |
| | | C40/50 | | | | | 1,07 | | | |
| | | C50/60 | | | | | 1,10 | | | |
| Beton spękany i beton niespękany: Współczynnik dla obciążenia długotrwałego | ψ_{sus}^0 | 24 °C / 40 °C | | | | | 1,00 | | | |
| | | 50 °C / 80 °C | | | | | 0,73 | | | |
| | | 72 °C / 120 °C | | | | | 0,73 | | | |
| Otwory wywiercone techniką diamentową rdzeniową | | | | | | | | | | |
| Beton niespękany: Współczynnik dla wytrzymałości betonu na ściskanie | ψ_c | C30/37 | | | | | 1,08 | | | |
| | | C40/50 | | | | | 1,15 | | | |
| | | C50/60 | | | | | 1,20 | | | |
| Beton spękany: Współczynnik dla wytrzymałości betonu na ściskanie | ψ_c | C50/60 | | | | | 1,00 | | | |
| Beton spękany i beton niespękany: Współczynnik dla obciążenia długotrwałego | ψ_{sus}^0 | 24 °C / 40 °C | | | | | 0,78 | | | |
| | | 50 °C / 80 °C | | | | | 0,71 | | | |
| | | 72 °C / 120 °C | | | | | 0,78 | | | |
| Zniszczenie przez wyłamania stożka betonu | | | | | | | | | | |
| Współczynnik dla betonu niespękanego | $k_{ucr,N}$ | [-] | | | | | 11,0 | | | |
| Współczynnik dla betonu spękanego | $k_{cr,N}$ | [-] | | | | | 7,7 | | | |
| Odległość od krawędzi podłoża | $c_{cr,N}$ | [mm] | | | | | $1,5 \cdot h_{ef}$ | | | |
| Rozstaw kotew | $s_{cr,N}$ | [mm] | | | | | $3,0 \cdot h_{ef}$ | | | |
| Zniszczenie przez rozłupanie podłoża betonowego | | | | | | | | | | |
| Odległość od krawędzi podłoża $c_{cr,sp}$ [mm] dla | | $h / h_{ef} \geq 2,0$ | $1,0 \cdot h_{ef}$ | | | | | | | |
| | | $2,0 > h / h_{ef} > 1,3$ | $4,6 h_{ef} - 1,8 h$ | | | | | | | |
| | | $h / h_{ef} \leq 1,3$ | $2,26 h_{ef}$ | | | | | | | |
| Rozstaw kotew | $s_{cr,sp}$ | [mm] | | | | | $2 \cdot c_{cr,sp}$ | | | |

¹⁾ W przypadku braku przepisów krajowych.

Kotwa wklejana HVU2

Charakterystyki

Podstawowe charakterystyki pod wpływem obciążeń rozciągających w betonie.



Tabela C4: Podstawowe charakterystyki dla tulei z gwintem wewnętrznym HIS-(R)N pod wpływem obciążeń rozciągających w betonie

| HIS-(R)N | | M8 | M10 | M12 | M16 | M20 |
|--|--------------------------------------|------|------|------|------|------|
| Montażowy współczynnik bezpieczeństwa | | | | | | |
| Wiercenie udarowe oraz wiercenie udarowe przy użyciu wiertła rurowego Hilti TE-CD lub TE-YD | γ_{inst} [-] | | | 1,0 | | |
| Wiercenie diamentowe rdzeniowe | γ_{inst} [-] | | | 1,0 | | |
| Zniszczenie stali | | | | | | |
| Nośność charakterystyczna HIS-N ze śrubą lub prętem gwintowanym klasy 8.8 | $N_{Rk,s}$ [kN] | 25 | 46 | 67 | 125 | 116 |
| Częściowy współczynnik bezpieczeństwa | $\gamma_{Ms,N}^{1)}$ [-] | 1,50 | | | | |
| Nośność charakterystyczna HIS-RN ze śrubą lub prętem gwintowanym klasy 70 | $N_{Rk,s}$ [kN] | 26 | 41 | 59 | 110 | 166 |
| Częściowy współczynnik bezpieczeństwa | $\gamma_{Ms,N}^{1)}$ [-] | 1,87 | | | | 2,40 |
| Zniszczenie przez kombinację wyciągnięcia kotwy i wyłamania stożka betonu | | | | | | |
| Czynna głębokość osadzenia | h_{ef} [mm] | 90 | 110 | 125 | 170 | 205 |
| Czynna średnica łącznika | d [mm] | 12,5 | 16,5 | 20,5 | 25,4 | 27,6 |
| Nośność charakterystyczna wiązania chemicznego w betonie niespękanym klasy C20/25 w otworach wywierconych udarowo oraz w otworach wierconych udarowo przy użyciu wiertła rurowego Hilti TE-CD lub TE-YD | | | | | | |
| Zakres temperatur I: 24 °C / 40 °C | $\tau_{Rk,ucr}$ [N/mm ²] | 11,0 | | | | |
| Zakres temperatur II: 50 °C / 80 °C | $\tau_{Rk,ucr}$ [N/mm ²] | 9,0 | | | | |
| Zakres temperatur III: 72 °C / 120 °C | $\tau_{Rk,ucr}$ [N/mm ²] | 5,5 | | | | |
| Nośność charakterystyczna wiązania chemicznego w betonie niespękanym klasy C20/25 w otworach wywierconych techniką diamentową rdzeniową | | | | | | |
| Zakres temperatur I: 24 °C / 40 °C | $\tau_{Rk,ucr}$ [N/mm ²] | 11,0 | | | | |
| Zakres temperatur II: 50 °C / 80 °C | $\tau_{Rk,ucr}$ [N/mm ²] | 9,0 | | | | |
| Zakres temperatur III: 72 °C / 120 °C | $\tau_{Rk,ucr}$ [N/mm ²] | 5,5 | | | | |
| Nośność charakterystyczna wiązania chemicznego w betonie spękanym klasy C20/25 w otworach wywierconych udarowo oraz w otworach wierconych udarowo przy użyciu wiertła rurowego Hilti TE-CD lub TE-YD | | | | | | |
| Zakres temperatur I: 24 °C / 40 °C | $\tau_{Rk,cr}$ [N/mm ²] | 6,5 | | | | |
| Zakres temperatur II: 50 °C / 80 °C | $\tau_{Rk,cr}$ [N/mm ²] | 5,0 | | | | |
| Zakres temperatur III: 72 °C / 120 °C | $\tau_{Rk,cr}$ [N/mm ²] | 3,0 | | | | |
| Nośność charakterystyczna wiązania chemicznego w betonie spękanym klasy C20/25 w otworach wywierconych techniką diamentową rdzeniową | | | | | | |
| Zakres temperatur I: 24 °C / 40 °C | $\tau_{Rk,cr}$ [N/mm ²] | 4,5 | | | | |
| Zakres temperatur II: 50 °C / 80 °C | $\tau_{Rk,cr}$ [N/mm ²] | 3,5 | | | | |
| Zakres temperatur III: 72 °C / 120 °C | $\tau_{Rk,cr}$ [N/mm ²] | 2,5 | | | | |

Kotwa wklejana HVU2

Charakterystyki

Podstawowe charakterystyki pod wpływem obciążeń rozciągających w betonie.



Tabela C2: ciąg dalszy

| HIS-(R)N | M8 | M10 | M12 | M16 | M20 |
|---|--------------------------|----------------|----------------------|---------------------|-----|
| Współczynniki wpływu ψ na nośność wiązania chemicznego τ_{RK} | | | | | |
| Otwory wywiercone udarowo oraz otwory wiercone udarowo przy użyciu wiertła rurowego TE-CD lub TE-Y | | | | | |
| Współczynnik dla wytrzymałości betonu na ściskanie | | | | | |
| Beton niespękany: Współczynnik dla wytrzymałości betonu | ψ_c | C50/60 | | 1,00 | |
| | | C30/37 | | 1,08 | |
| Beton spękany: Współczynnik dla wytrzymałości betonu | ψ_c | C40/50 | | 1,15 | |
| | | C50/60 | | 1,20 | |
| Beton spękany i beton niespękany: Współczynnik dla obciążenia długotrwałego | ψ_{sus}^0 | 24 °C / 40 °C | | 1,00 | |
| | | 50 °C / 80 °C | | 0,73 | |
| | | 72 °C / 120 °C | | 0,73 | |
| Otwory wywiercone techniką diamentową rdzeniową | | | | | |
| Beton niespękany: Współczynnik dla wytrzymałości betonu | ψ_c | C50/60 | | 1,00 | |
| Beton spękany: Współczynnik dla wytrzymałości betonu | ψ_c | C50/60 | | 1,00 | |
| Beton spękany i beton niespękany: Współczynnik dla obciążenia długotrwałego | ψ_{sus}^0 | 24 °C / 40 °C | | 0,78 | |
| | | 50 °C / 80 °C | | 0,71 | |
| | | 72 °C / 120 °C | | 0,78 | |
| Zniszczenie przez wyłamania stożka betonu | | | | | |
| Współczynnik dla betonu niespękanego | $k_{ucr,N}$ | [-] | | 11,0 | |
| Współczynnik dla betonu spękanego | $k_{cr,N}$ | [-] | | 7,7 | |
| Odległość od krawędzi podłoża | $c_{cr,N}$ | [mm] | | $1,5 \cdot h_{ef}$ | |
| Rozstaw kotew | $s_{cr,N}$ | [mm] | | $3,0 \cdot h_{ef}$ | |
| Zniszczenie przez rozłupanie podłoża betonowego | | | | | |
| Odległość od krawędzi podłoża $c_{cr,sp}$ [mm] dla | $h / h_{ef} \geq 2,0$ | | $1,0 \cdot h_{ef}$ | | |
| | $2,0 > h / h_{ef} > 1,3$ | | $4,6 h_{ef} - 1,8 h$ | | |
| | $h / h_{ef} \leq 1,3$ | | $2,26 h_{ef}$ | | |
| Rozstaw kotew | $s_{cr,sp}$ | [mm] | | $2 \cdot c_{cr,sp}$ | |

¹⁾ W przypadku braku przepisów krajowych.

Kotwa wklejana HVU2

Charakterystyki

Podstawowe charakterystyki pod wpływem obciążeń rozciągających w betonie.



Tabela C5: Podstawowe charakterystyki dla HAS-U-... oraz HAS-(E) pod wpływem obciążeń ścinających w betonie

| HAS-U-... oraz HAS-(E)... | M8 | M10 | M12 | M16 | M20 | M24 | M27 | M30 |
|---|------------------------------|------|------|------|------|-------|-------|-------|
| Zniszczenie stali bez oddziaływania momentu zginającego | | | | | | | | |
| HAS-(E)... | | | | | | | | |
| Nośność charakterystyczna HAS-(E) 5.8 $V_{Rk,s}$ [kN] | 9,5 | 15,1 | 21,7 | 41,1 | 56,1 | 80,1 | - | - |
| Częściowy współczynnik bezpieczeństwa $\gamma_{Ms,V}^{(1)}$ [-] | 1,25 | | | | | | - | - |
| Nośność charakterystyczna HAS-(E) 8.8 $V_{Rk,s}$ [kN] | 13,3 | 21,1 | 30,5 | 57,7 | 89,7 | 128,2 | 173,5 | 210,7 |
| Częściowy współczynnik bezpieczeństwa $\gamma_{Ms,V}^{(1)}$ [-] | 1,25 | | | | | | - | - |
| Nośność charakterystyczna HAS-R $V_{Rk,s}$ [kN] | 11,6 | 18,5 | 26,7 | 50,5 | 78,5 | 112,2 | 108,4 | 131,7 |
| Częściowy współczynnik bezpieczeństwa $\gamma_{Ms,V}^{(1)}$ [-] | 1,40 | | | 1,56 | | | 2,38 | |
| Nośność charakterystyczna HAS-HCR $V_{Rk,s}$ [kN] | 13,3 | 21,1 | 30,5 | 57,7 | 89,7 | 112,2 | - | - |
| Częściowy współczynnik bezpieczeństwa $\gamma_{Ms,V}^{(1)}$ [-] | 1,25 | | | | 1,75 | | - | - |
| Współczynnik ciągliwości k_7 [-] | 1,0 | | | | | | | |
| HAS-U-... | | | | | | | | |
| Nośność charakterystyczna $V_{Rk,s}$ [kN] | $0,5 \cdot A_s \cdot f_{uk}$ | | | | | | | |
| Częściowy współczynnik bezpieczeństwa HAS-U 5.8 $\gamma_{Ms,V}^{(1)}$ [-] | 1,25 | | | | | | - | - |
| Częściowy współczynnik bezpieczeństwa HAS-U 8.8 $\gamma_{Ms,V}^{(1)}$ [-] | 1,25 | | | | | | | |
| Częściowy współczynnik bezpieczeństwa HAS-U A4 $\gamma_{Ms,V}^{(1)}$ [-] | 1,56 | | | | | | 2,38 | |
| Częściowy współczynnik bezpieczeństwa HAS-U HCR $\gamma_{Ms,V}^{(1)}$ [-] | 1,25 | | | | 1,75 | | - | - |
| Współczynnik ciągliwości k_7 [-] | 1,0 | | | | | | | |
| Zniszczenie stali z oddziaływaniem momentu zginającego | | | | | | | | |
| HAS-(E)... | | | | | | | | |
| Charakterystyczny moment zginający HAS-(E) 5.8 $M_{Rk,s}^0$ [kN] | 18 | 37 | 64 | 167 | 284 | 486 | - | - |
| Częściowy współczynnik bezpieczeństwa $\gamma_{Ms,V}^{(1)}$ | 1,25 | | | | | | - | - |
| Charakterystyczny moment zginający HAS-(E) 8.8 $M_{Rk,s}^0$ [kN] | 26 | 53 | 90 | 234 | 455 | 777 | 1223 | 1638 |
| Częściowy współczynnik bezpieczeństwa $\gamma_{Ms,V}^{(1)}$ [-] | 1,25 | | | | | | | |
| Charakterystyczny moment zginający HAS-R $M_{Rk,s}^0$ [kN] | 23 | 45 | 79 | 205 | 398 | 680 | 765 | 1023 |
| Częściowy współczynnik bezpieczeństwa $\gamma_{Ms,V}^{(1)}$ [-] | 1,40 | | | 1,56 | | | 2,38 | |
| Charakterystyczny moment zginający HAS-HCR $M_{Rk,s}^0$ [kN] | 26 | 52 | 90 | 234 | 455 | 680 | - | - |
| Częściowy współczynnik bezpieczeństwa $\gamma_{Ms,V}^{(1)}$ [-] | 1,25 | | | | 1,75 | | - | - |
| Współczynnik ciągliwości k_7 [-] | 1,0 | | | | | | | |

Kotwa wklejana HVU2

Charakterystyki

Podstawowe charakterystyki pod wpływem obciążeń ścinających w betonie.



Załącznik C6

Tabela C3: ciąg dalszy

| HAS-U-... oraz HAS-(E)... | | M8 | M10 | M12 | M16 | M20 | M24 | M27 | M30 |
|---|-------------------|--|-----|-----|-----|-----|-----|-----|-----|
| Zniszczenie stali z oddziaływaniem momentu zginającego | | | | | | | | | |
| HAS-U-... | | | | | | | | | |
| Moment zginający | $M_{Rk,s}^0$ [Nm] | 1,2 · W_{el} · f_{uk} | | | | | | | |
| Współczynnik ciągliwości | k_7 [-] | 1,0 | | | | | | | |
| Zniszczenie przez podważenie betonu | | | | | | | | | |
| Współczynnik podważenia | k_8 [-] | 2,0 | | | | | | | |
| Zniszczenie krawędzi podłoża betonowego | | | | | | | | | |
| Czynna długość łącznika | l_f [mm] | min. (h_{ef} ; $12 \cdot d_{nom}$) | | | | | | | |
| Zewnętrzna średnica łącznika | d_{nom} [mm] | 8 | 10 | 12 | 16 | 20 | 24 | 27 | 30 |

¹⁾ W przypadku braku przepisów krajowych.

Kotwa wklejana HVU2

Charakterystyki

Podstawowe charakterystyki pod wpływem obciążeń ścinających w betonie.



Tabela C6: Podstawowe charakterystyki dla tulei HIS-(R)N pod wpływem obciążeń ścinających w betonie

| HIS-(R)N | M8 | M10 | M12 | M16 | M20 |
|--|------|------|------|------|------|
| Zniszczenie stali bez oddziaływania momentu zginającego | | | | | |
| Nośność charakterystyczna HIS-N ze śrubą lub prętem gwintowanym klasy 8.8 $V_{Rk,s}$ [kN] | 13 | 23 | 34 | 63 | 58 |
| Częściowy współczynnik bezpieczeństwa $\gamma_{Ms,V}^{1)}$ [-] | 1,25 | | | | |
| Nośność charakterystyczna HIS-RN ze śrubą lub prętem gwintowanym klasy 70 $V_{Rk,s}$ [kN] | 13 | 20 | 30 | 55 | 83 |
| Częściowy współczynnik bezpieczeństwa $\gamma_{Ms,V}^{1)}$ [-] | 1,56 | | | | 2,00 |
| Współczynnik ciągliwości k_7 [-] | 1,0 | | | | |
| Zniszczenie stali z oddziaływaniem momentu zginającego | | | | | |
| Charakterystyczny moment zginający HIS-N ze śrubą lub prętem gwintowanym klasy 8.8 $M_{Rk,s}^0$ [Nm] | 30 | 60 | 105 | 266 | 519 |
| Częściowy współczynnik bezpieczeństwa $\gamma_{Ms,V}^{1)}$ [-] | 1,25 | | | | |
| Charakterystyczny moment zginający HIS-N ze śrubą lub prętem gwintowanym klasy 70 $M_{Rk,s}^0$ [Nm] | 26 | 52 | 92 | 233 | 454 |
| Częściowy współczynnik bezpieczeństwa $\gamma_{Ms,V}^{1)}$ [-] | 1,56 | | | | |
| Współczynnik ciągliwości k_7 [-] | 1,0 | | | | |
| Zniszczenie przez podważenie betonu | | | | | |
| Współczynnik podważenia k_8 [-] | 2,0 | | | | |
| Zniszczenie krawędzi podłoża betonowego | | | | | |
| Czynna długość łącznika l_f [mm] | 90 | 110 | 125 | 170 | 205 |
| Średnica łącznika d_{nom} [mm] | 12,5 | 16,5 | 20,5 | 25,4 | 27,6 |

1) W przypadku braku przepisów krajowych.

Kotwa wklejana HVU2

Charakterystyki

Podstawowe charakterystyki pod wpływem obciążeń ścinających w betonie.



Tabela C7: Przemieszczenia dla HAS-U-... oraz HAS-(E) pod wpływem obciążeń rozciągających¹⁾

| HAS-U-... oraz HAS-(E)-... | M8 | M10 | M12 | M16 | M20 | M24 | M27 | M30 |
|---|--|------|-----|-----|-----|-----|------|-----|
| Beton niespękany, zakres temperatur od I do III | | | | | | | | |
| Przemieszczenie | δ_{N0} -współczynnik [mm/(N/mm ²)] | 0,06 | | | | | 0,15 | |
| | $\delta_{N\infty}$ -współczynnik [mm/(N/mm ²)] | 0,10 | | | | | 0,30 | |
| Beton spękany, zakres temperatur od I do III | | | | | | | | |
| Przemieszczenie | δ_{N0} -współczynnik [mm/(N/mm ²)] | 0,10 | | | | | 0,15 | |
| | $\delta_{N\infty}$ -współczynnik [mm/(N/mm ²)] | 0,14 | | | | | 0,30 | |

¹⁾ Obliczenie przemieszczenia
 $\delta_{N0} = \delta_{N0}$ -współczynnik $\cdot \tau$; $\delta_{N\infty} = \delta_{N\infty}$ -współczynnik $\cdot \tau$ (τ : nośność wiązania dla oddziaływania w postaci siły rozciągającej).

Tabela C8: Przemieszczenia dla HAS-U-... oraz HAS-(E) pod wpływem obciążeń ścinających¹⁾

| HAS-U-... oraz HAS-(E)-... | M8 | M10 | M12 | M16 | M20 | M24 | M27 | M30 |
|----------------------------|--|------|------|------|------|------|------|-----|
| Przemieszczenie | δ_{V0} -współczynnik [mm/kN] | 0,06 | 0,06 | 0,05 | 0,04 | 0,04 | 0,03 | |
| | $\delta_{V\infty}$ -współczynnik [mm/kN] | 0,09 | 0,08 | 0,08 | 0,06 | 0,06 | 0,05 | |

¹⁾ Obliczenie przemieszczenia
 $\delta_{V0} = \delta_{V0}$ -współczynnik $\cdot V$; $\delta_{V\infty} = \delta_{V\infty}$ -współczynnik $\cdot V$ (V : oddziaływanie w postaci siły ścinającej).

Tabela C9: Przemieszczenia dla tulei z gwintem wewnętrznym HIS-(R)N pod wpływem obciążeń rozciągających¹⁾

| HIS-(R)N | M8 | M10 | M12 | M16 | M20 |
|---|--|------|-----|-----|------|
| Beton niespękany, zakres temperatur od I do III | | | | | |
| Przemieszczenie | δ_{N0} -współczynnik [mm/(N/mm ²)] | 0,05 | | | 0,15 |
| | $\delta_{N\infty}$ -współczynnik [mm/(N/mm ²)] | 0,10 | | | 0,15 |
| Beton spękany, zakres temperatur od I do III | | | | | |
| Przemieszczenie | δ_{N0} -współczynnik [mm/(N/mm ²)] | 0,13 | | | 0,20 |
| | $\delta_{N\infty}$ -współczynnik [mm/(N/mm ²)] | 0,15 | | | 0,20 |

¹⁾ Obliczenie przemieszczenia
 $\delta_{N0} = \delta_{N0}$ -współczynnik $\cdot \tau$; $\delta_{N\infty} = \delta_{N\infty}$ -współczynnik $\cdot \tau$ (τ : nośność wiązania dla oddziaływania w postaci siły rozciągającej).

Tabela C10: Przemieszczenia dla tulei z gwintem wewnętrznym HIS-(R)N pod wpływem obciążeń ścinających¹⁾

| HIS-(R)N | M8 | M10 | M12 | M16 | M20 | |
|-----------------|--|------|------|------|------|------|
| Przemieszczenie | δ_{V0} -współczynnik [mm/kN] | 0,06 | 0,06 | 0,05 | 0,04 | 0,04 |
| | $\delta_{V\infty}$ -współczynnik [mm/kN] | 0,09 | 0,08 | 0,08 | 0,06 | 0,06 |

¹⁾ Obliczenie przemieszczenia
 $\delta_{V0} = \delta_{V0}$ -współczynnik $\cdot V$; $\delta_{V\infty} = \delta_{V\infty}$ -współczynnik $\cdot V$ (V : oddziaływanie w postaci siły ścinającej).

Kotwa wklejana HVU2

Charakterystyki
 Przemieszczenia



Tabela C9: Podstawowe charakterystyki dla HAS-U-... oraz HAS-(E) pod wpływem obciążeń rozciągających dla kategorii właściwości sejsmicznych C1

| HAS-U-... oraz HAS-(E)... | | M10 | M12 | M16 | M20 | M24 | M27 | M30 |
|---|---------------------------------------|-----|-----|-----|-----|-----|-----|-----|
| Zniszczenie stali | | | | | | | | |
| HAS-U (HDG) 5.8, HAS-(E)-(F) 5.8 | $N_{Rk,s,seis}$ [kN] | 29 | 42 | 79 | 123 | 177 | - | |
| HAS-U (HDG) 8.8, HAS-(E)-(F) 8.8 | $N_{Rk,s,seis}$ [kN] | 46 | 67 | 126 | 196 | 282 | 367 | 449 |
| HAS-U A4, HAS-R | $N_{Rk,s,seis}$ [kN] | 41 | 59 | 110 | 172 | 247 | 230 | 281 |
| HAS-U HCR, HAS-HCR | $N_{Rk,s,seis}$ [kN] | 46 | 67 | 126 | 196 | 247 | - | |
| Zniszczenie przez kombinację wyciągnięcia kotwy i wyłamania stożka betonu, beton spękany klasy C20/25, | | | | | | | | |
| Otwory wywiercone udarowo | | | | | | | | |
| Zakres temperatur I: 24 °C / 40 °C | $\tau_{Rk,seis}$ [N/mm ²] | 8,5 | 8,5 | 8,3 | 6,9 | 8,1 | 6,5 | 7,6 |
| Zakres temperatur II: 50 °C / 80 °C | $\tau_{Rk,seis}$ [N/mm ²] | 6,5 | 6,5 | 6,4 | 5,3 | 6,2 | 5,0 | 5,8 |
| Zakres temperatur III: 72 °C / 120 °C | $\tau_{Rk,seis}$ [N/mm ²] | 4,0 | 4,0 | 3,9 | 3,3 | 3,8 | 3,1 | 3,6 |
| Otwory wywiercone udarowo przy użyciu wiertła rurowego TE-CD lub TE-YD | | | | | | | | |
| Zakres temperatur I: 24 °C / 40 °C | $\tau_{Rk,seis}$ [N/mm ²] | - | 8,5 | 8,3 | 6,9 | 8,1 | 6,5 | 7,6 |
| Zakres temperatur II: 50 °C / 80 °C | $\tau_{Rk,seis}$ [N/mm ²] | - | 6,5 | 6,4 | 5,3 | 6,2 | 5,0 | 5,8 |
| Zakres temperatur III: 72 °C / 120 °C | $\tau_{Rk,seis}$ [N/mm ²] | - | 4,0 | 3,9 | 3,3 | 3,8 | 3,1 | 3,6 |
| Otwory wywiercone techniką diamentową rdzeniową | | | | | | | | |
| Zakres temperatur I: 24 °C / 40 °C | $\tau_{Rk,seis}$ [N/mm ²] | 7,0 | 7,0 | 7,0 | 7,0 | 7,0 | 7,0 | 7,0 |
| Zakres temperatur II: 50 °C / 80 °C | $\tau_{Rk,seis}$ [N/mm ²] | 6,5 | 6,5 | 6,5 | 6,5 | 6,5 | 6,5 | 6,5 |
| Zakres temperatur III: 72 °C / 120 °C | $\tau_{Rk,seis}$ [N/mm ²] | 4,0 | 4,0 | 4,0 | 4,0 | 4,0 | 4,0 | 4,0 |

Tabela C10: Podstawowe charakterystyki dla HAS-U-... oraz HAS-(E) pod wpływem obciążeń ścinających dla kategorii właściwości sejsmicznych C1

| HAS-U-... oraz HAS-(E)... | | M10 | M12 | M16 | M20 | M24 | M27 | M30 |
|--|----------------------|-----|-----|-----|-----|-----|-----|-----|
| Zniszczenie stali bez oddziaływania momentu zginającego | | | | | | | | |
| HAS-U (HDG) 5.8, HAS-(E)-(F) 5.8 | $V_{Rk,s,seis}$ [kN] | 11 | 15 | 27 | 43 | 62 | - | - |
| HAS-U (HDG) 8.8, HAS-(E)-(F) 8.8 | $V_{Rk,s,seis}$ [kN] | 16 | 24 | 44 | 69 | 99 | 129 | 157 |
| HAS-U A4, HAS-R | $V_{Rk,s,seis}$ [kN] | 14 | 21 | 39 | 60 | 87 | 81 | 98 |
| HAS-U HCR, HAS-HCR | $V_{Rk,s,seis}$ [kN] | 16 | 24 | 44 | 69 | 87 | - | - |

Kotwa wklejana HVU2

Charakterystyki

Podstawowe charakterystyki dla kategorii właściwości sejsmicznych C1.



Tabela C11: Podstawowe charakterystyki dla HAS-U-... oraz HAS-(E) pod wpływem obciążeń rozciągających dla kategorii właściwości sejsmicznych C2

| HAS-U-... oraz HAS-(E)-... | | M16 | M20 |
|---|---------------------------------------|-----|-----|
| Zniszczenie stali | | | |
| HAS-U (HDG) 8.8, HAS-(E)-(F) 8.8 | $N_{Rk,s,seis}$ [kN] | 126 | 196 |
| Zniszczenie przez kombinację wyciągnięcia kotwy i wyłamania stożka betonu w betonie spękanym klasy C20/25 w otworach wierconych udarowo oraz w otworach wierconych udarowo przy użyciu wiertła rurowego TE-CD lub TE-Y | | | |
| Zakres temperatur I: 24 °C / 40 °C | $\tau_{Rk,seis}$ [N/mm ²] | 2,9 | 2,6 |
| Zakres temperatur II: 50 °C / 80 °C | $\tau_{Rk,seis}$ [N/mm ²] | 2,3 | 2,1 |
| Zakres temperatur III: 72 °C / 120 °C | $\tau_{Rk,seis}$ [N/mm ²] | 1,4 | 1,3 |

Tabela C12: Podstawowe charakterystyki dla HAS-U-... oraz HAS-(E) pod wpływem obciążeń ścinających dla kategorii właściwości sejsmicznych C2

| HAS-U-... oraz HAS-(E)-... | | M16 | M20 |
|----------------------------|----------------------|-----|-----|
| HAS-U 8.8, HAS-(E) 8.8 | $V_{Rk,s,seis}$ [kN] | 40 | 71 |
| HAS-U HDG 8.8, HAS-F 8.8 | $V_{Rk,s,seis}$ [kN] | 30 | 46 |

Tabela C13: Przemieszczenia pod wpływem obciążeń rozciągających dla kategorii właściwości sejsmicznych C2

| HAS-U-... oraz HAS-(E)-... | | M16 | M20 |
|----------------------------|-----------------------------|-----|-----|
| Przemieszczenie DLS | $\delta_{N,seis}(DLS)$ [mm] | 0,2 | 0,2 |
| Przemieszczenie ULS | $\delta_{N,seis}(ULS)$ [mm] | 0,4 | 0,5 |

Tabela C14: Przemieszczenia pod wpływem obciążeń ścinających dla kategorii właściwości sejsmicznych C2

| HAS-U-... oraz HAS-(E)-... | | M16 | M20 |
|---|-----------------------------|-----|-----|
| Przemieszczenie DLS HAS-U 8.8, HAS-(E) 8.8 | $\delta_{V,seis}(DLS)$ [mm] | 3,2 | 2,5 |
| Przemieszczenie DLS HAS-U HDG 8.8, HAS-F 8.8 | $\delta_{V,seis}(DLS)$ [mm] | 2,3 | 3,8 |
| Przemieszczenie ULS HAS-U 8.8, HAS-(E) 8.8 | $\delta_{V,seis}(ULS)$ [mm] | 9,2 | 7,1 |
| Przemieszczenie ULS HAS-U HDG 8.8, HAS-F 8.8 | $\delta_{V,seis}(ULS)$ [mm] | 4,3 | 9,1 |

Kotwa wklejana HVU2

Charakterystyki

Podstawowe charakterystyki dla kategorii właściwości sejsmicznych C2 oraz przemieszczenia.



-----koniec dokumentu-----

Ja, tłumacz przysięgły języka angielskiego mgr Agnieszka Modrzejewska-Fryzewska, TP 4738/05, zaświadczam zgodność niniejszego tłumaczenia z okazanym mi dokumentem w języku angielskim w 7 listopada 2019r.

Repertorium nr 20/2019

Tłumacz przysięgły

Agnieszka Modrzejewska - Fryzewska

Agnieszka Modrzejewska-Fryzewska



TLUMACZ PRZYSIĘGLY JĘZYKA ANGIELSKIEGO

mgr Agnieszka Modrzejewska-Fryżewska

ul. Żmudzka 12a/6

85-028 Bydgoszcz tel. 510 199 883

tłumaczenie z języka angielskiego

tekst drukowany (27 stron)

-----początek dokumentu-----

